

الجمهورية الجزائرية الديمقراطية الشعبية
REPUBLIQUE ALGERIENNE DEMOCRATIQUE ET POPULAIRE
— «o» —

42/87
L'ex

وزارة التعليم العالي والبحث العلمي

Ministère de l'Enseignement Supérieur et de la Recherche Scientifique

— «o» —

ECOLE NATIONALE POLYTECHNIQUE

— «o» —

DEPARTEMENT : GENIE CIVIL

المرساة الوطنية المساعدة للطلاب
BIBLIOTHEQUE — المكتبة
Ecole Nationale Polytechnique

PROJET DE FIN D'ETUDES

EN VUE D'OBTENTION DE DIPLOME D'INGENIEUR D'ETAT

SUJET

Etude de la Structure d'une Mosquée

6 PLANCHES

Proposé par :

S E T A M

Etudié par :

BENSALEM A.

Dirigé par :

Mme GUIGOVA

BENYAGOUB B.

PROMOTION JUIN 1987

E.N.P. - 10, Avenue Hacen Badi - EL-HARRACH - ALGER

الجمهورية الجزائرية الديمقراطية الشعبية

REPUBLIQUE ALGERIENNE DEMOCRATIQUE ET POPULAIRE

— «O» —

وزارة التعليم العالي والبحث العلمي

Ministère de l'Enseignement Supérieur et de la Recherche Scientifique

— «O» —

ECOLE NATIONALE POLYTECHNIQUE

— «O» —

DEPARTEMENT : GENIE CIVIL

المدرسة الوطنية المتعددة التقنيات
BIBLIOTHEQUE — المكتبة —
Ecole Nationale Polytechnique

PROJET DE FIN D'ETUDES

EN VUE D'OBTENTION DE DIPLOME D'INGENIEUR D'ETAT

SUJET

Etude de la Structure d'une Mosquée

Proposé par :

S E T A M

Etudié par :

BENSALEM A.

Dirigé par :

Mme GUIGOVA

BENYAGOUB B.

PROMOTION JUIN 1987

E.N.P. - 10, Avenue Hacen Badi - EL-HARRACH - ALGER

Remerciement

Nous tenons à remercier vivement notre promotrice Madame GUIGOVA qui nous a aidé avec ses remarques et suggestions.

Ainsi qu'à tous les enseignants qui ont contribué à notre formation.

Nous tenons à remercier aussi Ahmed Mazighi et Abdelkader Bourenane ainsi que tous ceux qui nous ont aidé de près ou de loin dans l'élaboration de cette thèse.

Dedicaces

je dedie ce modeste travail

- à mes parents qui m'ont toujours apporté leur soutien moral
- à mes frères et mes sœurs
- à toute ma famille
- à tous mes frères croyants

Elwak

Je dedie ,ce modeste travail à :

- Mes très chers parents
- Toute ma famille
- Tous ceux qui me sont chers.
- A tous mes frères croyants

Elwak

Sommaire

- Pages.

I - Bâtiment

- Acrotère	4
- Poutrelles	6
- Rigidité	14
- Charges horizontales	18
- Charges Verticales	25
- Superposition des charges	32
- Ferrailage des portiques	36

II - Coupoles.

- Théorie	44
- Ferrailage.	50

III - Minaret

- Modélisation	54
- Etude dynamique	54
- Etude statique	57
- Etude au Vent	58
- Charges horizontales	63
- Ferrailage	69
- Escalier à noyau central - dalle - balcon	70

IV Fondations

Bibliographie	76
	81

- Caractéristiques dynamique des matériaux et contraintes admissibles

Pour le béton armé entrant dans la réalisation de notre ouvrage, nous nous conformons aux règles techniques de conception et de calcul des ouvrages en béton armé (C.C.B.A 68) et à tous les règlements en vigueur applicables en Algérie.

La composition de 1 m³ de béton sera :

- 800 litres de gravillons avec $D_g = 2,5 \text{ cm}$, Gravier dur, concassé, propre.
- 400 litres de sable avec $D_s = 0,5 \text{ cm}$
- 350 Kg de ciment de type C.P.A. 325
- 175 litres d'eau.

La préparation du béton sera faite mécaniquement, l'acier utilisé sera propre et débarrassé de toute trace de rouille non adhérente.

- Contraintes admissibles

A. Béton :

Béton C.P.A 325 dosé : 350 Kg/m³ avec contrôle alternué.

Les contraintes admissibles pour les sollicitations du 1^{er} genre sont définies aux articles 9, 10, 11, 12 des règles CCBA. 68.

La résistance minimale constitue la base technique des justifications de sécurité. Elles sont :

- la contrainte à la compression sur éprouvette cylindrique (16,32) : $\sigma'_n = \sigma'_{28} = 235 \text{ Kg/cm}^2$
- la contrainte de traction de rupture $\sigma_t = f + 0,06 \sigma'_n = 23,7 \text{ Kg/cm}^2$
- 1. Contrainte admissible en compression simple $\bar{\sigma}_b = \alpha \beta f \sigma'_{28} = 68,5 \text{ Kg/cm}^2$
- 2. Contrainte de traction de référence $\bar{\sigma}_t = \alpha \beta f \theta \sigma'_{28} = 5,9 \text{ Kg/cm}^2$
- 3. Contrainte admissible en flexion simple ou en flexion composée avec traction en section rectangulaire. $\bar{\sigma}_b = 137 \text{ Kg/cm}^2$

Remarques: sous sollicitation du 2^{me} genre, on multiplie ces contraintes par un coefficient égal à 1,5

B. Aciers :

1- Acier doux rond lisse. Nuance Fe E 24, limite d'élasticité nominale $\bar{\sigma}_a = 2400 \text{ Kg/cm}^2$
 - sous SP₁ $\bar{\sigma}_a = \frac{2}{3} \sigma_n = 1600 \text{ Kg/cm}^2$

- sous SP₂ $\bar{\sigma}_a = \sigma_{en.1} = 2410 \text{ Kg/cm}^2$

2. Acier de haute adhérence : (H.A) Nuance Fe E 40, limite d'élasticité nomi-

Pour $\phi \leq 20 \text{ mm} \rightarrow \sigma_{en} = 4200 \text{ Kg/cm}^2$

$\phi > 20 \text{ mm} \rightarrow \sigma_{en} = 4000 \text{ Kg/cm}^2$

sous SP₁ :
$$\begin{cases} \phi \leq 20 \rightarrow \bar{\sigma}_a = 2800 \text{ Kg/cm}^2 \\ \phi > 20 \rightarrow \bar{\sigma}_a = 2667 \text{ Kg/cm}^2 \end{cases}$$

sous SP₂ :
$$\begin{cases} \phi \leq 20 \rightarrow \bar{\sigma}_a = 4200 \text{ Kg/cm}^2 \\ \phi > 20 \rightarrow \bar{\sigma}_a = 4000 \text{ Kg/cm}^2 \end{cases}$$

Charge et surcharge

Plancher terrasse :

a) charge permanente :

- gravillon (5cm)	.90 kg/m ²
- Etanchéité multicouche (2cm)	10 kg/m ²
- Isolation thermique (4cm)	10 kg/m ²
- forme de ponte (1%)	200 kg/m ²
- plancher corps creux (16+4)	265 kg/m ²
- Enduit plâtre (1cm)	14 kg/m ²

$$G = 589 \text{ kg/m}^2$$

b) Surcharge

terrasse inaccessible

$$P = 100 \text{ kg/m}^2$$

Plancher courant

a) charge permanente :

- carrelage (2cm)	44 kg/m ²
- Mortier de pose (2cm)	44 kg/m ²
- Plancher	265 kg/m ²
- Enduit et plâtre	14 kg/m ²
- cloisons	75 kg/m ²

$$442 \text{ kg/m}^2$$

b) Surcharge

$$P = 400 \text{ kg/m}^2$$

BATIMENT

Prédimensionnement.

1. Poutres:

$$\left. \begin{array}{l} b \geq 20 \text{ cm} \\ h_t \geq 30 \text{ cm} \end{array} \right\} \text{en zone II}$$

On prendra pour les poutres portantes:

$$b \times h_t = 35 \times 60.$$

On prendra pour les poutres non portantes: (35x40)

2. Poteaux:

Les dimensions des poteaux doivent satisfaire les conditions (RPA 81. Art 42.1)

$$A = b \cdot h \geq k \frac{N'}{\sigma'_{28}} \quad (\sigma'_{28} = 275 \text{ kg/cm}^2; k=4 \text{ (zone II)})$$

$$\text{Min } (b \cdot h) \geq 25 \text{ cm (zone II)}$$

$$\text{Min } (b, h) \geq \frac{h}{20} \quad h: \text{hauteur d'étage.}$$

$$\frac{1}{3} \leq \frac{b}{h} \leq 3$$

Après le calcul, on choisit des poteaux (25x35)

Acrotère.

Dimensionnement :

épaisseur = 20cm

largeur = 100cm

Hauteur = 60cm

L'acrotère est assimilé à une console encastrée dans le plancher terrasse. La section dangereuse est à l'enca斯特ement, on distingue les effets suivants
 - poids propre $G = 9,81 \times 0,6 \times 2500 = 300 \text{ kg/ml}$
 - surcharge $S = 100 \text{ kg/ml}$ (marn courante)
 On fera le calcul pour un mètre linéaire d'acrotère.
 on considère une section rectangulaire (100x12)
 soumise à la flexion composée.

- Effet normal $N = G = 300 \text{ kg/ml}$

Moment fléchissant $M = 1,2 \times 100 \times 0,6 = 72 \text{ kg.m / ml}$

Le calcul se fera en flexion composée, pour cela on utilisera la méthode de Pierre Charron.

$$e_0 = \frac{M}{N} = \frac{72}{300} = 0,24 \text{ m} \rightarrow e_0 = 0,24 \text{ m} = 24 \text{ cm}$$

$$\text{Calcul de } \frac{ht}{6}, \text{ on a } \frac{ht}{6} = \frac{20}{6} = 3,33 \text{ cm}$$

On remarque bien que :

$e_0 > \frac{ht}{6} \rightarrow$ La section est partiellement comprimée

- Moment par rapport aux aciers tendus:

$$M_A = N \cdot y_A ; y_A : \text{distance entre les aciers tendus et le centre de pression}$$

$$y_A = e_0 + \left(\frac{ht}{2} - d \right) = 24 + \left(\frac{20}{2} - 2 \right) = 32 \text{ cm}$$

$$\rightarrow M_A = 300 \times 32 = 96 \text{ kg.m / ml}$$

- Moment résistant du béton M_{rb} : $M_{rb} = b \cdot \frac{\bar{\tau}_b'}{2} \cdot y \left(h - \frac{y}{3} \right)$

$$\text{avec } y = \frac{n \bar{\tau}_t}{n \bar{\tau}_t + \bar{\tau}_a} \cdot h \quad n = 15$$

$$\bar{\tau}_b' = 137 \text{ kg/cm}^2$$

$$\bar{\tau}_a = 2800 \text{ kg/cm}^2 \quad \rightarrow \quad y = \frac{15 \times 137}{15 \times 137 + 2800} \cdot 18 = 7,62 \text{ cm}$$

$$h = 20 - 2 = 18 \text{ cm}$$

$$M_{rb} = 100 \times \frac{137}{2} \times 7,62 \left(18 - \frac{7,62}{3} \right) = 8069,65 \text{ kg.m / ml} \Rightarrow M_A = 96 \text{ kg.m / ml} \rightarrow A_{60}$$

donc les aciers comprimés ne sont pas nécessaires

- Détermination des aciers tendus.

On calcule la section en flexion simple sous l'effet du moment M_A (par rapport aux aciers tendus) puis on déduit la section en flexion composée

$$M = \frac{15 M_A}{\bar{\sigma}_a \cdot b \cdot h^2} = \frac{15 \times 9600}{2800 \times 100 \times 18^2} = 0,001058 \rightarrow K = 320, \quad \epsilon = 0,9859$$

$$A_t = \frac{M_A}{\bar{\sigma}_a \cdot e \cdot h} = \frac{9600}{2800 \times 0,9859 \times 18} = 0,193 \text{ cm}^2/\text{ml}$$

- En flexion composé $A'_t = A' = 0$,

$$A = A_t - \frac{N}{\bar{\sigma}_a} = 0,193 - \frac{300}{2800} = 0,085 \text{ cm}^2/\text{ml}$$

- Vérification avec la condition de non fragilité (CCBA Art 5e)

$$A \geq 0,6966 \frac{\bar{\sigma}_b}{\bar{\sigma}_a} = 0,6966 \times 100 \times 18 \times \frac{5,9}{4200} = 1,744 \text{ cm}^2/\text{ml}$$

donc il faut que A soit $\geq 1,744 \text{ cm}^2/\text{ml}$.

On adoptera $\bar{\sigma}_b = 176 \text{ /ml}$ ($A = 1,93 \text{ cm}^2/\text{ml}$)

- Vérification à la contrainte du béton:

$$\bar{\sigma}_b' = \frac{\bar{\sigma}_a}{K} = \frac{2800}{320} = 8,65 \ll \bar{\sigma}_b \rightarrow \text{Vérifié}$$

- Vérification à la fissuration

$$\hat{w}_f = \frac{A}{B_f} = \frac{A}{2d \cdot b} = \frac{1,98}{2 \times 2 \times 100} = 0,00495$$

$$k_f = 10^6$$

$$\eta = 1,6$$

$$\phi = 6$$

fissuration préjudiciable -

Acier H.A.

$$\sigma_1 = \frac{K n}{\phi} \cdot \frac{\hat{w}_f}{1 + 10 \hat{w}_f} = \frac{10 \times 1,6}{6} \cdot \frac{0,00495}{1 + 0,00495} = 1257,74 \text{ bars}$$

$$\sigma_2 = 2,4 \sqrt{\frac{K n}{\phi} \bar{\sigma}_b} = 2,4 \sqrt{\frac{1,6 \times 10^6}{6}} 1,8 = 2984,8 \text{ bars}$$

$$\bar{\sigma}_a = \min \left\{ \max(\sigma_1, \sigma_2) = 2984,8 \text{ bars} = 3044,4 \text{ kg/cm}^2, \bar{\sigma}_a = 2800 \text{ kg/cm}^2 \right.$$

$$\bar{\sigma}_a = 2800 \text{ kg/cm}^2 \rightarrow \text{Vérifié}$$

Vérification de l'effort tranchant: $A \bar{\sigma}_a \geq T - \frac{M}{z} =$

Poutrelles

Introduction :

Les planchers sont à corps creux (16+4), les poutrelles sont préfabriquées sur chantier elles possèdent des armatures en attente permettant une bonne liaison avec le béton, des poulies et des dalles de compression.

Les poutrelles sont calculés sous la sollicitation du 1^{er} genre $G + 1,2P$

La surface revêtant à la poutrelle est 0,65 l. La charge par ml sera donc $q = (G + 1,2P) \times 0,65$

Schéma de calcul.

Le calcul des poutrelles se fait en 2 étapes :

1^{re} étape :

Avant coulage de la dalle de compression

la poutrelle est considérée comme simplement appuyée

Section transversale rectangulaire de dimension

$$b \times h_t = 12 \times 4$$

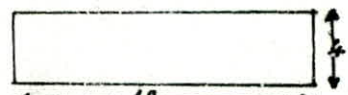
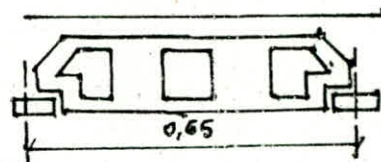
Elle supportera son poids propre l'horodis, et la surcharge due à l'ouvrage

1^{re} étape de calcul :

$$\text{Poids propre de la poutrelle : } 0,12 \times 900 \times 2500 = 12 \text{ kg/ml}$$

$$\text{Corps creux} : 0,65 \times 125 = 81 \text{ kg/ml}$$

$$\text{Surcharge pondérée} : 1,2 \times 100 = 120 \text{ kg/ml}$$



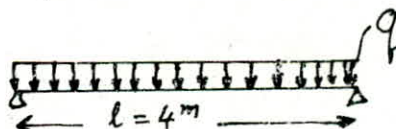
$$q = 213 \text{ kg/ml}$$

Moment max en travée :

$$M = q \frac{l^2}{8} = 213 \cdot \frac{3,60^2}{8} = 345 \text{ kg.m}$$

Effort tranchant max :

$$T_{\max} = q \frac{l}{2} = 383,4 \text{ kg}$$



Détermination des armatures. (Méthode : Pierre Charron)

On considère un enrobage de $d = 2 \text{ cm}$.

$$M = \frac{n M}{\bar{\sigma}_a b h^2} = \frac{15 \times 345 \times 10^2}{2800 \times 12 \times 3,6^2} = 1,1884 \rightarrow K = 3,7$$

$$\bar{\sigma}_b' = \frac{\bar{\sigma}_a}{K} = \frac{2860}{3,7} = 756,76 \text{ kg/cm}^2 > \bar{\sigma}_b'$$

Les armatures comprimées sont nécessaires mais il est impossible de les placer car la section est très faible, donc il est nécessaire de prévoir un échafaudage pour aider les poutrelles à supporter les charges en coulage de la dalle de compression.

2^e étape:

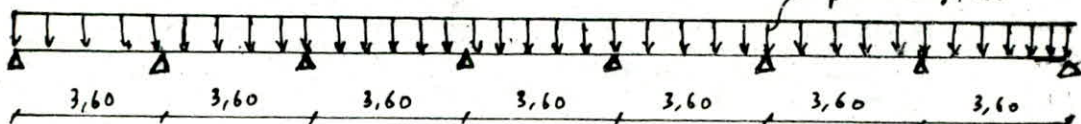
Calcul de la portefeuille en T.

les portefeuilles supportant p.p. = $G = 590 \text{ Kg/m}^2$

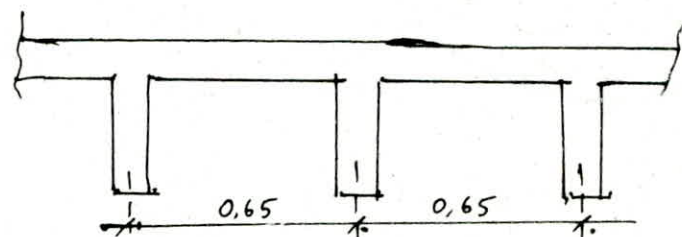
surcharge $P = 100 \text{ Kg/m}^2$

$$\text{D'où } q = (G + 1,2P) \approx 0,65 = 462 \text{ Kg/m}^2$$

$$q = 462 \text{ Kg/m}^2$$



Coupe transversale:



Détermination de la longueur de la table de compression

CCBAG 68 Art 23.3

$$b_1 = \frac{b - b_0}{2} \leq \frac{l}{2} \quad l: \text{distance entre faces les plus proches des nervures voisines}$$

$$65 - 12 = 53 \text{ cm}$$

$$b_1 \leq \frac{53}{2} = 26,5 \text{ cm}$$

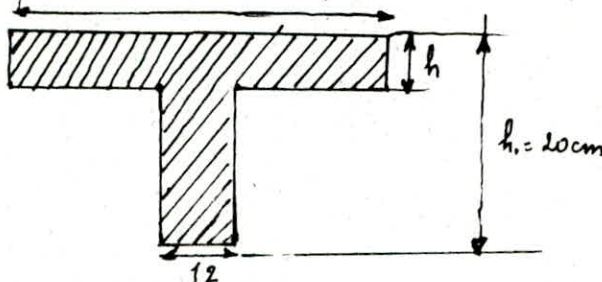
$$b_1 \leq \frac{L}{10}$$

$$b_1 \leq (6 \div 8) h_0 = \quad h_0: \text{hauteur de la table de compression}$$

$$\leq b_1 \leq$$

$$\text{Soit } b_{sp} = \frac{b - b_0}{2} \Rightarrow \quad b_0: \text{largeur de la nervure d'où } b =$$

D'où on adopte la table de compression $b =$



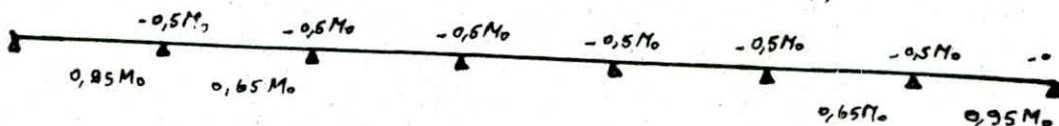
Calcul des efforts agissant sur la poutrelle :

On calcule les moments agissant aux différents appuis à l'aide de la méthode infinitaire

$$M_0 = \frac{q l^2}{8} = \frac{462 \times 3,6^2}{8} = 748,45 \text{ Kg.m}$$

$$T_0 = q \frac{l}{2} = 462 \times \frac{3,6}{2} = 831,6 \text{ Kg.m.}$$

D'après la méthode infinitaire, les moments en tracé et aux appuis sont comme suit,



le moment max en tracé $M_{max} = 0,95 M_0 = 0,95 \times 748,45 = 711 \text{ kg.m}$

le moment max aux appuis $M_{max} = 0,5 M_0 = 0,5 \times 748,45 = 374,28 \text{ kg.m}$

Calcul des armatures longitudinales

a) en tracé : $M = 711 \text{ kg.m}$

$$\bar{\sigma}_b' = 137,6 \text{ Kg/cm}^2$$

$$\bar{\sigma}_a = 2850 \text{ Kg/cm}^2$$

$$h = 18 \text{ cm}$$

$$b = 65 \text{ cm}$$

$$t_0 = 4 \text{ cm}$$

$$M = \frac{15 M}{\bar{\sigma}_a b h^2} = \frac{15 \times 711 \times 10^2}{2850 \times 65 \times 18^2} = 0,0180 \rightarrow k_a = 69,5$$

$$\alpha = 0,1775$$

$$\epsilon = 0,9408$$

$y = \alpha h = 0,1775 \times 18 = 3,195 < 4 \text{ cm} \rightarrow$ l'axe neutre tombe dans le tableau de compression.

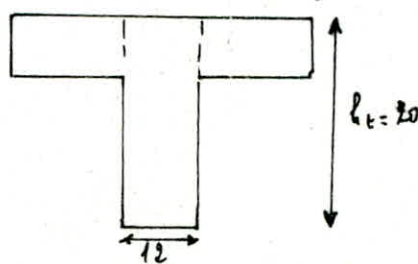
Le calcul se fait comme dans le cas d'une section rectangulaire : 65×20

$\bar{\sigma}_b' = \frac{\bar{\sigma}_a}{k_a} = \frac{2850}{69,5} = 40,28 < \bar{\sigma}_b' \rightarrow$ les axes comprimés sont inutiles ($A' = 0$)

$$A = \frac{M}{\bar{\sigma}_a \epsilon h} = \frac{711 \times 10^2}{2850 \times 0,9408 \times 18} = 1,56 \text{ cm}^2 \quad \text{Soit } 2 T10 = 1,57 \text{ cm}^2$$

b) aux appuis :

Le moment est négatif. La table sera tendue donc le calcul se fera pour une section rectangulaire 12×20 . On a $M = 374,28 \text{ kg.m}$.



$$M = \frac{374,23 \times 10^2 \times 15}{2800 \times 12 \times 18^2} = 0,05156 \rightarrow K = 37,6 \\ E = 0,9049$$

$$\sigma_b' = \frac{\sigma_a}{K} = \frac{280}{37,6} = 74,46 < \sigma_b' = 137 \text{ kg/cm}^2 \rightarrow \text{les aciers comprimés sont inutiles } A=0$$

$$A = \frac{M}{\bar{\sigma}_a \cdot E \cdot h} = \frac{374,23 \times 10^2}{2800 \times 0,9049 \times 18} = 0,82 \text{ cm}^2 \text{ on prend } 2 T_g = 1,00 \text{ cm}^2$$

Vérification des contraintes :

a) Condition de non fragilité : en travée:

$$A \geq 0,69 b h \frac{\bar{\sigma}_b}{\text{cm}} = 0,69 \times 65 \times 18 \times \frac{5,9}{4200} = 1,134 \text{ cm}^2 \text{ Vérifiée}$$

$$\text{aux appuis : } A \geq 0,69 \times 12 \times 18 \times \frac{5,9}{4200} = 0,21 \text{ cm}^2 \text{ Vérifié.}$$

b) Vérification des contraintes : en travée :

$$A = 1,57 \text{ cm}^2$$

$$M = 711 \text{ kg.m}$$

$$b = 65 \text{ cm}$$

$$h_f = 20 \text{ cm}$$

$$h = 18 \text{ cm} \quad \left\{ \begin{array}{l} K = 67,5 \\ E = 0,9394 \end{array} \right.$$

$$\bar{\omega} = 100 \frac{A}{bh} = 0,1341 \longrightarrow \left\{ \begin{array}{l} K = 67,5 \\ E = 0,9394 \end{array} \right. \\ \bar{\sigma}_a = \frac{M}{A \cdot h} = \frac{711 \cdot 10^2}{1,57 \times 0,9394 \times 18} = 2678 \text{ kg/cm}^2 < \bar{\sigma}_a = 2800 \text{ kg/cm}^2 \rightarrow \text{Vérifié}$$

$$\sigma_b' = \frac{\sigma_a}{K} = \frac{2678}{67,5} = 39,67 < 137 \rightarrow \text{Vérifié}$$

$$\text{Aux appuis : } A = 1,00 \text{ cm}^2 \quad b = 12 \text{ cm}$$

$$M = 374,23 \text{ kg.m} \quad h = 18 \text{ cm}$$

$$\bar{\omega} = 100 \frac{A}{bh} = \frac{100 \times 1}{12 \times 18} = 0,4629 \longrightarrow \left\{ \begin{array}{l} K = 33,5 \\ E = 0,8969 \end{array} \right.$$

$$\sigma_b' = \frac{M}{A \cdot h} = \frac{374,23 \times 10^2}{1,0 \cdot 0,8969 \times 18} = 2318,046 < 2800 \rightarrow \text{Vérifié}$$

$$\sigma_b' = \frac{\sigma_a}{K} = \frac{2318,046}{33,5} = 69,19 < 137 \rightarrow \text{Vérifié}$$

Vérification à la flèche : (CCBA Art 58,4)

$$1) \frac{ht}{l} \geq \frac{1}{15} \frac{M_t}{M_0} \rightarrow \frac{ht}{l} = \frac{20 \times 10^{-2}}{3,60} = 0,055 \quad \left. \begin{array}{l} \frac{1}{15} \frac{M_t}{M_0} = \frac{374,23}{748,45} = 0,033 \\ 0,055 > 0,033 \end{array} \right\} \text{Vérifié}$$

$$2) \frac{ht}{l} \geq \frac{1}{22,5} \rightarrow 0,055 > 0,044 \rightarrow \text{Vérifié}$$

$$3) \frac{A}{b \cdot h} \leq \frac{36}{500} \quad \frac{A}{b \cdot h} =$$

Ces 3 conditions sont vérifiées donc la Vérification de la flèche n'est pas nécessaire.

Vérification à la fissuration :

$$\bar{w}_f = \frac{A}{B_f} = \frac{1,57}{12 \times 4} = 0,0327$$

Les conditions de fissuration imposent une limite à la contrainte admissible de l'acier, cette limite étant le max $\{\sigma_1, \sigma_2\}$, l'autre limite est imposée par les caractéristiques de l'acier $\bar{\sigma}_a$.

$$\text{On prendra } \bar{\sigma}_{ap} = \min \left\{ \begin{array}{l} \max(\sigma_1, \sigma_2) = 5914,03 \\ \bar{\sigma}_a = 2800 \end{array} \right.$$

$$\text{avec } \sigma_1 = \frac{Kn}{\phi} \frac{\bar{w}_f}{1 + 10\bar{w}_f}$$

$$\sigma_2 = 2,4 \sqrt{\frac{Kn}{\phi}} \bar{\sigma}_b \quad \text{avec} \quad \bar{\sigma}_b = 5,9 \text{ kg/cm}^2 \quad \text{fissuration peu risquée}$$

$$\phi = 10 \text{ mm}$$

$$\bar{\sigma}_b = 5,9 \text{ kg/cm}^2 \rightarrow \sigma_2 =$$

$$\sigma_1 =$$

donc pas de risque de fissuration.

Vérification de l'adhérence : On doit vérifier $\bar{Z}_d < \bar{Z}_s$

$$\bar{Z}_d = 2 \psi_s \bar{\sigma}_b = 2 \times 1,5 \times 5,9 = 17,7 \quad \text{avec } \psi_s = 1,5 \quad \text{H.A. coefficient de scellement}$$

$$\bar{Z}_d = \frac{T}{pt} \quad T = 1,1 \times 831,6 = 914,76 \text{ kg}$$

$$\bar{Z}_d = \frac{1,1 \times 831,6}{2 \pi \times 1,0 \times \frac{\pi}{8} \times 18} = 9,24 \rightarrow \bar{Z}_d < \bar{Z}_s \rightarrow \text{Vérifié' pas de risque d'entraînement.}$$

Armature transversale:

des armatures transversales seront calculées sous l'effet de l'effort tranchant max.
 $T_{max} = 914,76 \text{ kg}$.

Nous utiliserons des armatures transversales max perpendiculaires à la ligne moyenne
 Pour cela, on fait la vérification suivante:

$$\bar{\epsilon}_b \leq 3,5 \bar{\sigma}_b \quad \text{si} \quad \bar{\sigma}'_b \leq \bar{\sigma}'_{b_0}$$

$$\bar{\epsilon}_b = (4,5 - \frac{\bar{\sigma}_b}{\bar{\sigma}'_{b_0}}) \bar{\sigma}_b \quad \text{si} \quad \bar{\sigma}'_b < \sigma'_b < 2 \bar{\sigma}'_b$$

$\bar{\epsilon}_b$: étant la contrainte de cisaillement max.

$$\bar{\epsilon}_b = \frac{T_0}{b \cdot z} = \frac{914,76}{12 \cdot \frac{7}{8} \cdot 18} = 4,84 \text{ kg/cm}^2$$

$$\bar{\sigma}_b = 3,5 \times 5,9 = 20,65 \text{ kg/cm}^2$$

$$\bar{\sigma}_b = (4,5 - \frac{123}{68,85}) \times 5,9 = 16 \text{ kg/cm}^2$$

$$\text{On a: } \sigma'_b = 123 \text{ kg/cm}^2, \quad \bar{\sigma}'_{b_0} = 68,8 \rightarrow 2 \sigma'_b = 137,6 \text{ kg/cm}^2$$

$$\sigma'_b \leq 2 \sigma'_{b_0}$$

$\bar{\epsilon}_b < 16 \text{ kg/cm}^2 \rightarrow$ on utilisera des armatures perpendiculaires à la ligne moyenne

Ces armatures seront constituées par des cadres ϕ_6 ; 1 cadre $\phi_6 \rightarrow 0,56 \text{ cm}^2$

Contrainte de traction admissible des armatures:

$$\bar{\sigma}_{at} = f_{at} \cdot \gamma_{en} \text{ avec } \gamma_{en} = 2400 \text{ kg/cm}^2 \quad \beta_{at} = \frac{2}{3} \text{ pas de risque de bétonnage}$$

$$\bar{\sigma}_{at} = \frac{2}{3} \times 2400 = 1600 \text{ kg/cm}^2$$

Ecartement admissible

$$t = \max \left\{ \begin{array}{l} t_1 = 0,2 h = 0,2 \times 18 = 3,6 \text{ cm} \\ t_2 = (1 - \frac{0,3 \bar{\epsilon}_b}{\bar{\sigma}_b}) h = 12,4 \text{ cm} \end{array} \right. \quad t = 12,4 \text{ cm}$$

$$t = \frac{A_t \cdot 3 \cdot \bar{\sigma}_{at}}{T_{max}} = \frac{0,56 \times 3/8 \times 18 \times 1600}{914,76} = 15,42$$

Soit $t = 16 \text{ cm}$.

Ferrailage de la table de compression :

l'ouvrage est armé d'un quadrillage de barres dont les dimensions de Maillis ne doivent pas dépasser 20 cm (5 p.m) pour les armatures perpendiculaires aux nervures ; 33 cm (3 p.m) pour les armatures parallèles aux nervures
On adoptera un treillis soudé de (20x20) en $\phi 6$
(Soit $5 \phi 6 / \text{ml} = 1,41 \text{ cm}^2$)

Plancher courant au rez de chancellerie :

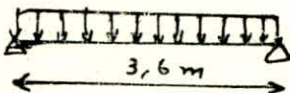
$$G = 442 \text{ kg/m}^2$$

$$P = 400 \text{ kg/m}^2$$

$$q = (G + 1,2P) \times 0,65 \Rightarrow q = 600 \text{ kg/cm}^2$$

poutrelle appuyée sur 2 appuis

$$\text{Moment max : } M_0 = q \frac{l^2}{8} = \frac{600 \times 3,6^2}{8} = 972 \text{ kg.m}$$



$$T_0 = q \frac{l}{2} = 600 \times \frac{3,6}{2} = 1080 \text{ kg}$$

Le calcul se fait d'une manière analogue à celui de la poutrelle du plancher terrasse.

Calcul des armatures longitudinales.

$$M_{\max} = 972 \text{ kg.m}$$

$$M = \frac{wM}{f_a b h^2} = \frac{15 \times 972 \times 10^2}{2800 \times 65 \times 18^2} = 0,0247 \rightarrow$$

$$K = 58,0$$

$$\varepsilon = 0,9315$$

$$\alpha = 0,2055$$

$y = \alpha h = 0,2055 \times 18 = 3,7 \text{ cm} \rightarrow$ donc la section en T sera calculée comme section rectangulaire. $b \times h_t = 65 \times 20$

$$\sigma'_b = \frac{\bar{\sigma}_a}{k} = \frac{2800}{58} = 48,27 < \bar{\sigma}'_s = 137 \text{ . On n'a pas le minimum d'armature comprimée}$$

$$A = \frac{M}{\bar{\sigma}_a \cdot \varepsilon h} = \frac{972 \times 10^2}{2800 \times 0,9315 \times 18} = 2,070 \text{ cm}^2$$

$$\text{On adopte } 2 T_{12} + 1 T_{10} = 3,045 \text{ cm}^2$$

Vérification :

$$\bar{\sigma}_a = \frac{M}{A \cdot \varepsilon h} = \frac{972 \times 10^2}{3,045 \times 0,9315 \times 18} = 1903,81 < \bar{\sigma}_a = 2850 \text{ kg/cm}^2$$

$$\sigma'_b = \frac{\bar{\sigma}_a}{k} = \frac{1903,81}{58} = 32,82 < \bar{\sigma}'_b = 137 \text{ kg/cm}^2 \text{ Vérifié}$$

Calcul des armatures transversales.

$$\bar{Z}_b = \frac{T_{\max}}{b_0 \cdot Z} = \frac{1080}{12 \times \frac{7}{8} \times 18} = 5,71 \text{ kg/cm}^2$$

$$\bar{Z}_b = (4,5 - \frac{r'_b}{r'_{b0}}) \bar{\sigma}_b$$

$$\bar{Z}_b = 3,5 \bar{\sigma}_b = 3,5 \times 5,9 = 20,65 \text{ kg/cm}^2$$

$Z_b < \bar{Z}_b$. On utilise des armatures perpendiculaires à la ligne moyenne.
On prendra des cadres $\phi 6$. 1 cadre $\phi 6 \rightarrow A_t = 0,56 \text{ cm}^2$

$$\bar{\sigma}_{at} = \frac{2}{3} \sigma_{en} = \frac{2}{3} \cdot 2400 = 1600 \text{ kg/cm}^2$$

Ecartement admissible.

$$t = \max \left\{ \begin{array}{l} t_1 = 0,2 h = 3,6 \text{ cm} \\ t_2 = (1 - 0,3) \frac{\bar{Z}_b}{\bar{\sigma}_b} h = 12,78 \text{ cm} \end{array} \right.$$

Ecartement.

$$t = \frac{A_t \cdot Z \cdot \bar{\sigma}_{at}}{T} = \frac{0,56 \times \frac{7}{8} \times 18 \times 1600}{1080} = 13,06 \text{ cm.}$$

Suit $t = 14 \text{ cm.}$

Calcul des rigidités

Le calcul des rigidités sera fait selon la méthode de Monsieur Metto.
Les étapes à suivre sont :

- a) Rigidité linéaire des poteaux.

$$K_{pot} = \frac{I}{h} \quad I: \text{inertie des poteaux dans le sens considéré}$$

h: hauteur d'étage

- b) Rigidité linéaire des poutres.

$$K_{pout} = \frac{I}{l} \quad I: \text{inertie des poutres}$$

l: portée de la poutre considérée

- c) Coefficient de correction α_j : (voir conception et calcul des structures
fournis au séisme)

- d) Rigidité relative de niveau R_j

$$R_j = \frac{12E \sum \alpha_j K_{pot}}{h^2}$$

R_{jx} : rigidité relative de niveau des poteaux
des portiques longitudinaux.

R_{jy} : rigidité relative de niveau des
portiques transversaux

portique	niveau	R_{jx}
1-1	2	44162,9
11-11	1	25793,6
2-2	2	40761,5
10-10	1	23739,4
3-3	2	47740,4
9-9	1	32491,2
4-4	2	32336,7
7-7	1	22638,6

portique	Niveau	R_{jy}
H-H	2	29427,2
	1	22124,1
I-I	2	36049,9
	1	27770,4
J-J	2	25814,3
K-K	1	20821,3
L-L	2	30084,8
	1	9702,59
M-M	2	25948
	1	14058,8
N-N	2	0
	1	10740,3

Calcul de centre de masse et de torsion

Calcul de centre de masse

$$x_G = \frac{\sum x_i s_i}{\sum s_i}, \quad y_G = \frac{\sum y_i s_i}{\sum s_i}$$

Niveau	1	2
x_G	8,347	9,75
y_G	12,6	12,6

Calcul de centre de Torsion.

Les coordonnées de centre de torsion sont données par la formule du barycentre.

$$x_{cj} = \frac{\sum R_{jy}^t x_j^t}{\sum R_{jy}^t}$$

t : sens transversal

$$y_{cj} = \frac{\sum R_{jx}^l y_j^l}{\sum R_{jx}^l}$$

l : sens longitudinal

x_j^t : position d'un particule /oy

y_j^l : position d'un particule /ox

Niveau	1	2
x_c	9,35	9,35
y_c	12,74	12,85

Calcul de la rigidité à la torsion:

$$R_{j\theta} = \sum R_{jy} (x_j)^2 + \sum R_{jz} (y_j)^2$$

x_j, y_j sont les coordonnées des particules /au niveau régéné (c. x, y)

Niveau	1	2
$R_{j\theta}$	$6,09057 \times 10^{11}$	$9,3825 \times 10^{11}$

Etude sismique

Tous bâtiment sera conçu et construit pour résister aux forces sismiques horizontales totales agissant non simultanément dans la direction de chacun des axes principaux de la structure conformément à la formule.

$$V = A \cdot B \cdot D \cdot Q \cdot W.$$

V : force latérale totale

A : coefficient d'accélération de la zone donné, qui dépend de la nature de la structure et la zone sismique. $A = 0,15$. groupe d'usage 2. zone II.

B : facteur de comportement de la structure, dépend de son type et de la nature de ses contrevents ; $B = \frac{1}{4}$ catégorie 3

D : facteur d'amplification dynamique moyen la valeur D est donnée d'après le type du sol en $f(T)$ du bâtiment

$$T = \quad D = 2 \quad \text{fig:4}$$

Q : facteur de qualité : il est fonction de l'hyperstatique et de la surabondance du système de ces symétries en plan de régularité en (fonction) et de la qualité du contrôle pendant l'exécution.

$$Q = 1 + \sum_{q=1}^n P_q$$

P_q : la finalité qui dépend de l'observation ou du critère de qualité q.

$$Q = 1,3$$

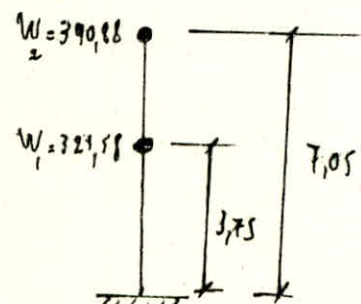
W : poids propre de la structure

$$W_{\text{terrasse}} \quad G_t + \frac{1}{5} P_t = 383,32 + 7,556 = 390,88 t$$

$$W_{\text{étage}} \quad G_E + \frac{1}{5} P_E = 305,86 + 15,72 = 321,58 t \quad \left. \begin{array}{l} \\ \end{array} \right\} W_t = 712,46 t$$

$$\text{D'où} \quad V = V_L = V_T = 0,15 \times \frac{1}{4} \times 2 \times 1,3 \times 712,46 = 69,46 t$$

NIV	$W_k(t)$	$h_k(\text{m})$	$W_k h_k$	$F_k(t)$
2	390,88	7,05	2755,7	48,31
1	321,58	3,75	1205,92	21,14



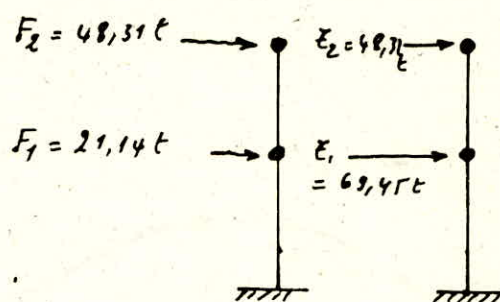
Effort tranchant d'étage j :

L'effort tranchant d'étage j est la somme des forces agissant au dessus du niveau j .

$$E_j = \sum_{i=j}^n F_i$$

Niveau 2 $E_2 = 48,31 t$

Niveau 1 $E_1 = 48,31 + 21,14 = 69,45 t$



Calcul des efforts sous les charges horizontales

Pour la détermination des efforts dans les différents éléments (poteaux-poutres) sous les sollicitations dues aux charges horizontales, on utilise la méthode de Monsieur Muttlo.

Etapes à suivre :

1- repartir les efforts tranchants de niveau pour les différents poteaux par:

$$\text{poteaux longitudinaux : } T_{jx} = \bar{\epsilon}_{jx} \frac{R_j^l}{\sum R_j^l} + \bar{\epsilon}_{jx} \cdot y_0 \frac{R_j^l \cdot y}{R_j^0}$$

$$\text{poteaux transversaux : } T_{jy} = \bar{\epsilon}_{jy} \frac{R_j^t}{\sum R_j^t} + \bar{\epsilon}_{jy} \cdot x_0 \cdot \frac{R_j^t \cdot x}{R_j^0}$$

avec :

R_j^l : rigidité de niveau d'un poteau longitudinal

R_j^t : rigidité de niveau d'un poteau transversal

R_j^0 : rigidité de niveau à la torsion

$\bar{\epsilon}_{jx}$: effort tranchant de niveau dans le sens longitudinal

$\bar{\epsilon}_{jy}$: effort tranchant de niveau dans le sens transversal

x_0 : distance de centre de masse au centre de torsion excentricité - accidentelle

y_0 : excentricité accidentelle = x_0

x : distance d'un poteau transversal au centre de torsion

y : distance d'un poteau longitudinal au centre de torsion

2- Calculer l'effort tranchant revenant à chaque poteau dans chaque sens

$$T_j^{(i)} = \frac{a_j^{(i)} K_j^{(i)}}{D_j} T_j$$

$t_j^{(i)}$: effort tranchant revenant au poteau i du niveau j

$a_j^{(i)}$: coefficient de correction donné selon Muttlo.

$K_j^{(i)}$: raideur du poteau i du niveau j

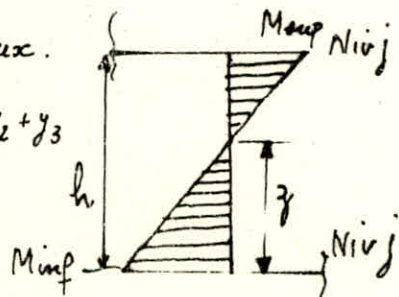
$T_j^{(i)}$: effort tranchant revenant au poteau considéré du niveau j

$$D_j = \sum a_i^{(i)} K_j^{(i)}$$

3- Calculer les moments fléchissants dans les poteaux.

$$M_{sup} = t_j^{(i)} (h-z) \text{ avec } z = y \cdot h \text{ et } y = y_0 + y_1 + y_2 + y_3$$

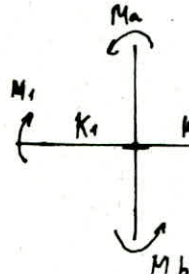
$$M_{inf} = t_j^{(i)} \cdot z$$



les coefficients y_0, y_1, y_2, y_3 sont donnés dans le livre (conception et calcul des structures soumises au séisme)

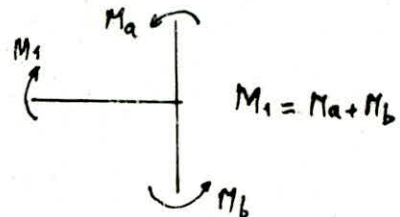
4. Calcul des moments fléchissants dans les poutres:

- Dans un noeud, le moment résultant des poteaux aboutissant à ce noeud est réparti entre les poutres proportionnellement à leurs rigidités linéaires



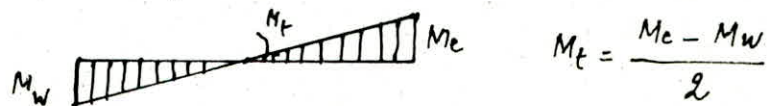
$$M_1 = \frac{K_1}{K_1 + K_2} (M_a + M_b)$$

$$M_2 = \frac{K_2}{K_1 + K_2} (M_a + M_b)$$



5. Calcul des moments en travei dans les poutres.

Sous l'action d'une force latérale le diagramme du moment fléchissant dans une poutre est linéaire.



$$M_f = \frac{Me - M_w}{2}$$

6. Efforts tranchants dans les poutres : M_w [] \rightarrow Me

$$T \cdot l + M_w + M_e = 0 ; T = - \frac{M_w + M_e}{l}$$

T étant constant le long de la poutre, ayant dessiné M_w et M_e dans le sens où ils s'exercent réellement donc: $T = - \frac{|M_w| + |M_e|}{l}$

T est constant négativement pour le séisme s'exerçant dans ce sens (\rightarrow)

7. Calcul des efforts normaux dans les poteaux.

les efforts tranchants s'exerçant sur les noeuds des poutres se transmettent comme des efforts normaux dans les poteaux. $N = T_e - T_w$

- Cet effort est reversible selon que le séisme agit dans un sens ou dans l'autre.

Repartition des efforts tranchants dans les portiques longitudinaux

$$T_{jx} = C_{jx} \frac{R_j^l}{\sum R_j^l} + C_{jx} y_j \frac{R_j^l}{R_j^e} y_j^l$$

NIV	C_{jx}	$\sum R_j^l$	R_j^e	Portique	y_j^l	y_j^e cm	$\frac{C_{jx} \cdot R_j^l}{\sum R_j^l}$	$T_{jx} \frac{y_j R_j^l}{R_j^e y_j^l}$	T_{jx}
2	48,31	323522	9,3825 . 10 ¹¹	11-11	44162,9	-1285	6,594	-0,073	6,521
				10-10	40761,5	-925	6,086	-0,048	6,038
				9-9	47740,4	-565	7,128	-0,0347	7,094
				7-7	32336,7	-205	4,828	-0,0085	4,82
				4-4	32336,7	155	4,828	0,0064	4,834
				3-3	47740,4	515	7,128	0,031	7,159
				2-2	40761,5	875	6,086	0,046	6,132
				1-1	44162,9	1235	6,594	0,07	6,664
1	69,45	210952	6,09057 . 10 ¹¹	11-11	25793,6	-1285	8,491	-0,053	8,458
				10-10	23739,4	-925	7,815	-0,035	7,78
				9-9	32491,2	-565	10,696	-0,029	10,667
				7-7	22638,6	-205	7,453	-0,007	7,446
				4-4	22638,6	155	7,453	0,005	7,458
				3-3	32491,2	515	10,696	0,026	10,722
				2-2	23739,4	875	7,815	0,033	7,848
				1-1	25793,6	1235	8,491	0,05	8,541

Effort tranchant dans les poteaux - portiques longitudinaux (3-3)

Niv	T_{j_x}	$\sum a_p K_p$	P_{st}	1	2	3	4	5	6	7
1	10,722	7,159	t_j	1,24	202,735					
				1,625	180,607	1,199	196,067			
		1189,86		1,625	180,407	1,199	196,067			
2				1,5079	167,586	1,1529	188,44			
				0,442	49,096	1,0697	174,836			
				1,869	207,461	1,296	219,132			
				1,869	207,461	0	0			

Moment fléchissant dans les poteaux
longitudinaux (3-3)

NIV	Poteau	T_i	y	$z = yh$	M_{inf}	$h-z$	M_{sup}
2	1	1,24	0,5	1,65	2,046	1,65	2,046
	2	1,199	0,5	1,65	1,978	1,65	1,978
	3	1,199	0,5	1,65	1,978	1,65	1,978
	4	1,112	0,5	1,65	1,9	1,65	1,900
	5	1,069	0,5	1,65	1,763	1,65	1,763
	6	1,296	0,5	1,65	2,138	1,65	2,138
	7	0	/	/	/	/	/
1	1	1,779	0,5	1,875	3,335	1,875	3,335
	2	1,645	0,5	1,875	3,046	1,875	3,046
	3	1,645	0,5	1,875	3,046	1,875	3,046
	4	1,509	0,5	1,875	2,829	1,875	2,829
	6	1,869	0,5	1,875	3,504	1,875	3,504
	7	1,869	0,5	1,875	3,504	1,875	3,504

Moments fléchissants aux noeuds de poutre.

On doit d'abord numérotter les différents noeuds des poutres constituant le portique. Dans un noeud le moment résultant des poteaux aboutissant à ce noeud est répartis proportionnellement à leurs rigidités linéaires.

Moments fléchissants aux nœuds des poutres (sens LONG.)

Niv	nœud	M_a (Nm)	M_b (Nm)	M_1 (Nm)	M_2 (Nm)
2	1	0	2,046	0	2,046
	2	0	1,978	0,989	0,989
	3	0	1,978	0,989	0,989
	4	0	1,9	0,950	0,95
	5	0	1,763	0,8815	0,8815
	6	0	2,138	2,138	0
1	7	2,046	3,335	0	5,381
	8	1,978	3,046	2,512	2,512
	9	1,978	3,046	2,512	2,512
	10	1,9	2,829	4,729	0
	11	2,138	3,504	0	5,642
	12	0	3,504	3,504	0

Nur	Poutre	M_a	M_w	M_b	T	
2	1-2	0,989	2,046	-0,5885	-0,8549	
	2-3	0,919	0,989	0	-0,557	
	3-4	0,95	0,989	-0,0195	-0,546	
	4-5	0,8815	0,95	-0,0695	-0,5159	
	5-6	2,138	0,8815	0,6282	-0,8505	
1	7-8	2,512	5,381	-1,4345	-2,2233	
	8-9	2,512	2,512	0	-1,4152	
	9-10	4,519	2,512	1,0035	1,9805	
	11-12	3,504	5,642	-1,069	-3,8108	

Niv	Interv	M_{sup}	M_{inf}	N	N_{cam}
2	1	2,046	2,046	0,8549	0,8549
	2	1,978	1,978	0,2979	0,2979
	3	1,978	1,978	9091	0,011
	4	1,9	1,9	0,03	0,03
	5	1,763	1,763	0,334	0,334
	6	2,138	2,138	0,8505	0,8505
	7	0	0	0	0
1	1	3,335	3,335	2,2233	3,078
	2	3,046	3,046	0,808	3,1059
	3	3,046	3,046	0,565	0,565
	4	2,829	2,829	1,9805	2,0106
	5	0	0,448	0	0,334
	6	3,504	3,504	3,8108	4,661
	7	1,875	1,875	3,8108	3,8408

Portique transversale

(I-II)

- poutres sous E

N	lentille	M _c	M _w	M _t	T
2	1-2	0,8811	1,6	-0,3594	-0,7088
	2-3	1,336	0,8811	-0,244	-0,6334
	3-4	1,336	1,336	0	-0,7634
	4-5	1,336	1,336	0	-0,7634
	5-6	1,336	1,336	0	-0,7634
	6-7	0,8811	1,336	-0,2274	-0,6334
	7-8	1,6	0,8811	0,3594	-0,7088
1	9-10	2,1916	3,635	-0,7217	-1,6647
	10-11	3,1445	2,1916	0,4764	-1,5246
	11-12	3,1445	3,1445	0	-1,7968
	12-13	3,1445	3,1445	0	-1,7968
	13-14	3,1445	3,1445	0	-1,7968
	14-15	2,1916	3,1445	-0,4764	-1,5246
	15-16	3,635	2,1916	0,7217	-1,6647

- fûtraux sous E

Niv	goutteau	M _{mp}	M _{mf}	N	N _{cm}
2	1	1,6	1,309	0,7088	0,7088
	2	1,762	1,7266	0,075	0,075
	3	2,672	2,367	0,13	0,13
	4	2,672	2,367	0	0
	5	2,672	2,367	0	0
	6	2,672	2,367	0,13	0,1
	7	1,7622	1,7622	0,075	0,075
	8	1,6	1,309	0,708	0,708
1	1	2,326	2,841	1,6647	2,3735
	2	2,624	3,202	0,14	0,215
	3	3,922	4,792	0,272	0,402
	4	3,922	4,792	0	0
	5	3,922	4,792	0	0
	6	3,922	4,792	0,272	0,402
	7	2,624	3,262	0,24	0,215
	8	2,326	2,841	1,6647	2,3735

Calcul des efforts sous charges verticales

Méthode de Cagnot.

La méthode de Cagnot consiste à déterminer les efforts dans les poutres sous charges verticales, elle concerne essentiellement les poutres solidaires des poteaux qui les supportent.

Principe de la méthode :

l_e, l_w : sont respectivement les travées libres à droite et à gauche du nœud.

h_n, h_s : sont respectivement les travées fictives droite et gauche, égales à $0,8l_e$ et $0,8l_w$.

h_n, h_s : sont respectivement les hauteurs des poteaux supérieur et inférieur.

q_w, q_e : charges uniformément réparties par unité de longueur respectivement sur la travée gauche et droite.

$$M'_w = q_w \frac{l'_w^2}{8,5} ; M'_e = q_e \frac{l'_e^2}{8,5} ; K_w = \frac{I_w}{l'_w} ; K_e = \frac{I_e}{l'_e} ; K_n = \frac{I_n}{h_n} ; K_s = \frac{I_s}{h_s}$$

$D = K_e + K_w + K_n + K_s$. Finalement les moments dans les sections dangereuses (nœud d'appui) sont donnés par :

$$M_w = M'_e \cdot \frac{K_w}{D} + M'_w \left(1 - \frac{K_w}{D}\right) ; M_e = M'_e \left(1 - \frac{K_e}{D}\right) + M'_w \frac{K_e}{D}$$

$M_n = \frac{K_n}{D} (M'_e - M'_w) ; M_s = \frac{K_s}{D} (M'_e - M'_w)$; avec M_e, M_w, M_s, M_n sont respectivement les moments au nœud d'appui de la travée gauche et droite et au nœud supérieur et inférieur des poutres.

Etapes à suivre :

1. Calculer les caractéristiques géométriques de chaque poutre
2. Déterminer les charges retenant à chaque poutre.
3. Calculer les moments aux appuis sous G (charge permanente)
4. Calculer les moments aux appuis sous P (charges d'exploitation)
5. Calculer les efforts tranchants dans les poutres sous G et P
6. Calculer les efforts normaux dans les poteaux sous G et P
7. Calculer les moments en travée dans les poutres sous G et P

Portiques long. et trans. sous G.

NIV	Nœuds	M' _c	M' _w	M _w	M _c	M _w	M _s	nens
2	1	2,509	—	—	0,382	—	0,382	
	2	2,509	2,509	2,509	2,509	—	—	
	3	1,503	2,509	2,04	1,971	—	-0,069	
	4	2,509	1,503	1,971	2,04	—	0,069	
	5	2,509	2,509	2,509	2,509	—	—	
	6	—	2,509	0,382	—	—	-0,382	
1	7	2	—	—	0,491	0,271	0,220	
	8	2	2	2	2	—	—	
	9	1,509	2	1,783	1,725	-0,032	-0,026	
	10	—	1,509	0,319	—	-0,176	-0,144	
	11	0,687	—	—	0,324	0,044	0,035	
	12	—	0,687	0,061	—	-0,044	-0,035	
9	1	0,618	—	—	0,135	—	0,135	
	2	0,618	0,618	0,618	0,618	—	—	
	3	0,618	0,618	0,618	0,618	—	—	
	4	0,618	0,618	0,618	0,618	—	—	
	5	0,618	0,618	0,618	0,618	—	—	
	6	0,618	0,618	0,618	0,618	—	—	
	7	0,618	0,618	0,618	0,618	—	—	
	8	—	0,618	0,135	—	—	-0,135	
1	9	0,538	—	—	0,182	0,1	0,081	
	10	0,538	0,538	0,538	0,538	—	—	
	11	0,538	0,538	0,538	0,538	—	—	
	12	0,538	0,538	0,538	0,538	—	—	
	13	0,538	0,538	0,538	0,538	—	—	
	14	0,538	0,538	0,538	0,538	—	—	
	15	0,538	0,538	0,538	0,538	—	—	
	16	—	0,538	0,182	—	-0,1	-0,081	

LONGITUDINAL (3-3)

TRANSVERSAL (I-I)

Portiques long. et trans. sous P

NU	Noord	M' _e	M' _w	M _w	M _e	M _n	M _s	Zens
2	1	0,341	/	/	0,052	/	0,052	
	2	0,341	0,341	0,341	0,341	/	/	
	3	0,170	0,341	0,261	0,249	/	-0,012	
	4	0,341	0,170	0,249	0,261	/	+0,012	
	5	0,341	0,341	0,341	0,341	/	/	
	6	/	0,341	0,052	/	/	-0,052	
1	7	1,366	/	/	0,335	0,185	0,15	
	8	1,366	1,366	1,366	1,366	/	/	
	9	0,683	1,366	1,065	0,984	-0,044	-0,036	
	10	/	0,683	0,144	/	-0,079	-0,064	
	11	0,078	/	/	0,036	0,005	0,004	
	12	/	0,078	0,007	/	/	-0,007	
2	1	0,055	/	/	0,12	/	0,012	
	2	0,055	0,055	0,055	0,055	/	/	
	3	0,055	0,055	0,055	0,055	/	/	
	4	0,055	0,055	0,055	0,055	/	/	
	5	0,055	0,055	0,055	0,055	/	/	
	6	0,055	0,055	0,055	0,055	/	/	
	7	0,055	0,055	0,055	0,055	/	/	
	8	/	0,055	0,012	/	/	-0,012	
1	9	0,22	/	/	0,074	0,041	0,033	
	10	0,22	0,22	0,22	0,22	/	/	
	11	0,22	0,22	0,22	0,22	/	/	
	12	0,22	0,22	0,22	0,22	/	/	
	13	0,22	0,22	0,22	0,22	/	/	
	14	0,22	0,22	0,22	0,22	/	/	
	15	0,22	0,22	0,22	0,22	/	/	
	16	/	0,22	0,074	/	-0,041	-0,033	

TRANSVERSAL (F-F)

LONGITUDINAL (Z-Z)

Efforts tranchants dans les portiques long. et trans.

- 28 -

sous G

sous P

Niv	Porte	M_e (tm)	M_w	ϵ_m^t	$q_{\frac{1}{2}}^t$	T_e^t	T_w^t	SENS	Niv	M_e	M_w	ϵ_m^t	$q_{\frac{1}{2}}^t$	T_e^t	T_w^t
2	1-2	0,382	2,509	4,694	5,293	-4,094		L O N G I T U D I N A L	1-2	0,052	0,341	0,639	0,720	-0,557	
	2-3	2,509	2,04	4,694	4,5619	-4,826			2-3	0,341	0,341	0,639	0,639	-0,639	
	3-4	1,971	1,971	2,911	2,841	-2,841			3-4	0,249	0,17	0,3195	0,297	-0,341	
	4-5	2,04	2,509	4,694	4,826	-4,5886			4-5	0,261	0,341	0,639	0,669	-0,616	
	5-6	2,509	0,388	4,694	4,094	-5,293			5-6	0,341	0,052	0,639	0,557	-0,72	
1	7-8	0,491	2	3,756	4,181	-3,331		1	7-8	0,335	1,366	2,556	2,846	-2,265	
	8-9	2	1,783	3,756	3,694	-3,817			8-9	1,366	1,065	2,556	2,471	-2,64	
	9-10	1,785	0,719	2,824	2,428	-3,22			9-10	0,984	0,144	1,278	1,041	-2,194	
	11-12	0,324	0,061	1,902	1,792	-2,041			11-12	0,036	0,007	0,216	0,2039	-0,228	
2	1-2	0,135	0,618	1,226	1,37	-1,081			1-2	0,012	0,055	0,1088	0,1216	-0,096	
	2-3	0,618	0,618	1,226	1,226	-1,226			2-3	0,055	0,055	0,1088	0,1088	-0,1088	
	3-4	0,618	0,618	1,226	1,226	-1,226			3-4	0,055	0,055	0,1088	0,1088	-0,1088	
	4-5	0,618	0,618	1,226	1,226	-1,226			4-5	0,055	0,055	0,1088	0,1088	-0,1088	
	5-6	0,618	0,618	1,226	1,226	-1,226			5-6	0,055	0,055	0,1088	0,1088	-0,1088	
	6-7	0,618	0,618	1,226	1,226	-1,226			6-7	0,055	0,055	0,1088	0,1088	-0,1088	
	7-8	0,618	0,135	1,226	1,081	-1,37			7-8	0,055	0,012	0,1088	0,096	-0,1216	
1	9-10	0,182	0,538	1,067	1,173	-0,96		1	9-10	0,074	0,22	0,4355	0,479	-0,392	
	10-11	0,538	0,538	1,067	1,067	-1,067			10-11	0,22	0,22	0,4355	0,4355	-0,4355	
	11-12	0,538	0,538	1,067	1,067	-1,067			11-12	0,22	0,22	0,4355	0,4355	-0,4355	
	12-13	0,538	0,538	1,067	1,067	-1,067			12-13	0,22	0,22	0,4355	0,4355	-0,4355	
	13-14	0,538	0,538	1,067	1,067	-1,067			13-14	0,22	0,22	0,4355	0,4355	-0,4355	
	14-15	0,538	0,538	1,067	1,067	-1,067			14-15	0,22	0,22	0,4355	0,4355	-0,4355	
	15-16	0,538	0,182	1,067					15-16	0,22	0,074	0,4355	0,392	-0,479	

Effets normaux dans les poteaux

Sous G : longitudinalement et transversalement					Sous P : longitudinalement et transversalement					
NIV	Potex	Tc(t)	Tw(t)	N(t)	Ncu(t)	Tc	Tw	N	Ncu	Temps
2	H		/	5,293	5,293	0,72	/	0,72	0,72	
	I	4,5618	-4,094	8,6558	8,6558	0,639	-0,557	1,196	1,196	
	J	2,811	-4,826	7,637	7,637	7,637	-0,639	0,936	0,936	
	K	4,826	-2,811	7,637	7,637	0,661	-0,341	1,002	1,002	
	L	4,094	-4,5618	8,6558	8,6558	0,557	-0,646	1,173	1,173	
	M	/	-5,293	5,293	5,293	/	-0,72	0,72	0,72	
1	H	4,181	/	4,181	9,474	2,846	/	2,846	3,966	
	I	3,694	-8,331	7,025	15,68	2,471	-2,265	4,736	5,932	
	J	2,428	-3,817	6,245	13,882	1,041	-2,64	3,681	4,617	
	K	/	-3,22	3,22	10,857	/	-1,594	1,594	2,516	
	M	1,792	/	1,792	7,085	0,2039	/	0,2039	0,9239	
	N	/	-2,011	2,011	2,011	/	-0,228	0,228	0,228	
2	11	1,37	/	1,37	1,37	0,1216	/	0,1216	0,1216	
	10	1,226	-1,081	2,307	2,307	0,1088	-0,1088	0,2048	0,2048	
	9	1,226	-1,226	2,452	2,452	0,1088	-0,1088	0,2176	0,2176	
	7	1,226	-1,226	2,452	2,452	0,1088	-0,1088	0,2176	0,2176	
	4	1,226	-1,226	2,452	2,452	0,1088	-0,1088	0,2176	0,2176	
	3	1,226	-1,226	2,452	2,452	0,1088	-0,1088	0,2176	0,2176	
1	2	1,081	-1,226	2,307	2,307	0,096	-0,1088	0,2048	0,2048	
	1	/	-1,37	1,37	1,37	/	-0,1216	0,1216	0,1216	
	11	1,173	/	1,173	2,543	0,479	/	0,479	0,6	
	10	1,067	-0,96	2,017	4,334	0,4355	0,392	0,8271	1,032	
	9	1,067	-1,067	2,134	4,586	0,4355	-0,4355	0,871	1,088	
	7	1,067	-1,067	2,134	4,586	0,4355	-0,4355	0,871	1,088	
1	4	1,067	-1,067	2,114	4,586	0,4355	-0,4355	0,871	1,088	
	3	1,067	-1,067	2,134	4,586	0,4355	0,4355	0,871	1,088	
	2	0,96	-1,067	2,027	4,334	0,392	0,4355	0,8275	1,032	
	1	/	-1,173	1,173	2,543	/	-0,479	0,479	0,66	

LONGITUDINAL

TRANSVERSAL

Moment en travé dans les poutres (Art 52 CC88 68)

Pour déterminer les moments en travé dans les poutres, on trace la courbe des moments de la travé indépendante de portée l avec les charges permanentes puis avec les charges permanentes et surcharges.

Pour les moments positifs = celle qui joint les moments d'appui maximum en valeur absolue.

Ceux qu'il effectuera dans chaque cas de charge, en supposant que les surcharges peuvent être indépendantes les unes des autres.

M_{t_1} = le moment en travé positif

M_{t_2} = le moment en travé négatif.

1^{er} cas : moment positif.

Dans ce cas on considère les différentes cas de charges de la travé considérée ($G + 1,2P$) ; ($G + P$) ; ($0,8G$), on décharge les poutres à gauche et à droite de la poutre considérée et on pourra calculer les différents cas suivants

$$M_{t_1} = M_o (G + 1,2P) - Ma_1$$

$$M_{t_1} = M_o (G + P) - Ma_2 \quad \text{avec}$$

$$M_{t_1} = M_o (0,8G) - Ma_3$$

$$Ma_1 = \frac{Mc(G) + Mw(G)}{2}$$

$$Ma_2 = \frac{Mc(G) + Mw(G)}{2}$$

$$Ma_3 = \frac{Mc(0,8G) + Mw(0,8G)}{2}$$

2nd cas : moment négatif.

Dans ce cas contrairement au cas précédent : on fixe le moment isostatique et on établira les différentes superpositions

$$M_{t_2} = M_o - \frac{Mc(G + 1,2P) + Mw(G + 1,2P)}{2}$$

$$M_{t_2} = M_o - \frac{Mc(G + P) + Mw(G + P)}{2}$$

Tous les calculs sont donnés sous forme de tableau, soit pour le portique longitudinal (3-3) et pour le portique transversal (I-I)

NIV	travers	l (m)	M _a + M _w		M _o (t.m)		M _{t₁} (t.m)			M _{t₂}		sums
			2	G	G	P	G+1,2P	G+P	0,8G	G+1,2P	G+P	
2	1-2	3,60	1,445	4,2849	0,583	3,539	3,4229	2,2719	2,6036	2,6429		
	2-3	3,60	2,274	4,2849	0,583	2,71			1,6087	1,600	1,669	
	3-4	3,60	1,971	2,566	0,291	0,944	0,886	0,476	0,343	0,385		
	4-5	3,60	2,274	4,2849	0,583	2,71	2,5929	1,6087	1,648	1,709		
	5-6	3,60	1,445	4,2849	0,583	3,539	3,4229	2,2719	2,6036	2,6429		
	6-7	3,60	1,245	3,4279	2,3328	4,982	4,5157	1,746	1,1618	1,3319		
1	7-8	3,60	1,891	3,4279	2,3328	4,936	3,8697	1,229	0,0778	0,3209		
	8-9	3,60	1,022	2,577	1,166	2,954	2,721	1,244	0,878	0,931		
	9-10	3,60	0,192	1,498	0,170	1,51	1,476	1,0448	1,2797	1,284		
	10-11	3,60	0,376	1,3917	0,1235	1,1639	1,139	0,812	0,975	0,9817		
2	1-2	3,90	0,618	1,3917	0,1235	0,929	0,897	0,6189	0,7077	0,7187		
	2-3	3,90	0,618	1,3917	0,1235	0,9219	0,897	0,6189	0,7077	0,7187		
	3-4	3,90	0,618	1,3917	0,1235	0,9219	0,897	0,6189	0,7077	0,7187		
	4-5	3,90	0,618	1,3917	0,1235	0,9219	0,897	0,6189	0,7077	0,7187		
	5-6	3,90	0,618	1,3917	0,1235	0,9219	0,897	0,6189	0,7077	0,7187		
	6-7	3,90	0,618	1,3917	0,1235	0,9219	0,897	0,6189	0,7077	0,7187		
1	7-8	3,90	0,376	1,3917	0,1235	1,1639	1,139	0,812	0,975	0,9817		
	9-10	3,90	0,36	1,211	0,494	1,4438	1,345	0,6808	0,674	0,704		
	10-11	3,90	0,538	1,211	0,494	1,2658	1,167	0,538	0,409	0,453		
	11-12	3,90	0,538	1,211	0,494	1,2658	1,167	0,538	0,409	0,453		
	12-13	3,90	0,538	1,211	0,494	1,2658	1,167	0,538	0,409	0,453		
	13-14	3,90	0,538	1,211	0,494	1,2658	1,167	0,538	0,409	0,453		
1	14-15	3,90	0,538	1,211	0,494	1,2658	1,167	0,538	0,409	0,453		
	15-16	3,90	0,36	1,211	0,494	1,4438	1,349	0,6808	0,674	0,704		

LONGITUDINAL

TRANSVERSAL

Superposition des sollicitations

Les combinaisons des charges sismiques et des charges verticales sont données ci-dessous. Les éléments structuraux doivent être dimensionnés pour les combinaisons sur la base des règlements de béton en vigueur (R.P.A.B.)

- Pour les poutres : pour les poteaux.

$$G + P \pm E$$

$$G + P \pm 1,2E$$

$$0,8G \pm E$$

$$0,8G \pm E$$

Moments en travées dans les poutres

$$\text{- sous } G + 1,2P \longrightarrow M_t = M_0(G+1,2P) - \frac{M_w(G) + M_e(G)}{2}$$

$$\text{- sous } G + P + E \longrightarrow M_t = M_0(G+P) - \frac{M_w(G) + M_e(G)}{2} \pm M_t(E)$$

$$\text{- sous } 0,8G + E \longrightarrow M_t = M_0(0,8G) - \frac{M_w(0,8G) + M_e(0,8G)}{2} \pm M_t(E)$$

Moments aux appuis dans les poutres

$$\text{- sous } G + 1,2P \longrightarrow M_a = M_e(G) + 1,2 M_a(P)$$

$$\text{- sous } G + P \pm E \longrightarrow M_a = M_e(G) + M_a(P) \pm 1,2 M_a(E)$$

$$\text{- sous } 0,8G \pm E \longrightarrow M_a = 0,8 M_a(G) \pm M_a(E)$$

$$M_a = M_E \text{ ou } M_w$$

Efforts tranchants dans les poutres

$$\text{- sous } G + 1,2P \longrightarrow T = T(G) + 1,2 T(P)$$

$$\text{- sous } G + P \pm E \longrightarrow T = T(G) + T(P) \pm T(E)$$

$$\text{- sous } 0,8G \pm E \longrightarrow T = 0,8 T(G) \pm T(E)$$

Moments sur appuis

N°	nature	G + 1,2 P		G + P + E		G + P - E		0,8 G + E		0,8 G - E		sens
		Mw	Me	Mw	Me	Mw	Me	Mw	Me	Mw	Me	
2	1-2	2,918	0,444	4,896	1,423	0,804	-0,555	4,053	1,294	-0,038	-0,683	LONGITUDINAL
	2-3	2,449	2,918	3,37	3,839	1,392	1,861	2,831	2,996	0,643	1,018	
	3-4	2,175	2,2698	3,13	3,17	1,152	1,27	2,565	2,526	0,587	0,626	
	4-5	2,918	2,353	3,8	3,182	1,9	1,149	2,957	2,513	1,057	0,750	
	5-6	0,444	2,918	1,315	4,988	-0,448	0,712	1,187	4,145	-0,575	-0,13	
1	7-8	3,639	0,893	8,747	3,338	-2,015	-1,686	6,981	2,904	-3,781	-2,119	TRANSVERSE
	8-9	3,061	3,639	5,36	5,878	0,336	0,854	3,938	4,112	-1,085	-0,542	
	9-10	0,1918	2,905	2,975	7,228	-2,049	-1,81	2,767	5,889	-2,256	-3,139	
	11-12	0,069	0,367	5,71	3,864	-5,574	-3,144	5,69	3,763	-5,593	-3,244	
	12-13	0,684	0,149	2,273	1,028	-0,927	-0,734	2,094	0,989	-1,105	-0,773	
2	1-2	0,684	0,684	1,554	2,009	-0,2081	-0,663	1,375	1,83	-0,386	-0,861	LONGITUDINAL
	2-3	0,684	0,684	2,009	2,009	-0,663	-0,663	1,83	1,83	-0,861	-0,861	
	3-4	0,684	0,684	2,009	2,009	-0,663	-0,663	1,83	1,83	-0,861	-0,861	
	4-5	0,684	0,684	2,009	2,009	-0,663	-0,663	1,83	1,83	-0,861	-0,861	
	5-6	0,684	0,684	2,009	2,009	-0,663	-0,663	1,83	1,83	-0,861	-0,861	
1	6-7	0,684	0,684	2,009	1,554	-0,663	-0,208	1,83	1,375	-0,861	-0,386	TRANSVERSE
	7-8	0,149	0,684	1,038	2,273	-0,734	-0,927	0,989	2,094	-0,773	-1,105	
	8-9	0,802	0,2408	4,393	2,447	-2,883	-1,935	4,065	2,337	-3,204	-2,046	
	9-10	0,802	0,802	2,954	3,902	-1,433	-2,386	2,622	3,5749	-1,761	-2,714	
	10-11	0,802	0,802	3,902	3,902	-2,386	-2,386	3,5749	3,5749	-2,714	-2,714	
2	11-12	0,802	0,802	3,902	3,902	-2,386	-2,386	3,5749	3,5749	-2,714	-2,714	LONGITUDINAL
	12-13	0,802	0,802	3,902	3,902	-2,386	-2,386	3,5749	3,5749	-2,714	-2,714	
	13-14	0,802	0,802	3,902	3,902	-2,386	-2,386	3,5749	3,5749	-2,714	-2,714	
	14-15	0,802	0,802	3,902	2,954	-2,386	-1,433	3,5749	2,622	-2,714	-1,761	
	15-16	0,8708	0,802	2,447	4,393	-1,935	-2,877	2,337	4,065	-3,046	-3,204	

Efforts tranchants dans les flambes

N°V	Flame	G + 1,2P		G + P + E		G + P - E		0,8G + E		0,8G - E		zero
		Tw	Tc	Tw	Tc	Tw	Tc	Tw	Tc	Tw	Tc	
2	1 ²	-4,762	6,157	-3,41	7,252	-5,89	4,81	1,567	5,43	-4,047	3,05	L'ONNE STATIONNAIRE
	2 ³	-5,892	5,328	-4,266	6,400	-6,664	4	-2,66	4,847	-5,059	2,449	
	3 ⁴	-3,22	3,167	-1,953	4,240	-4,35	1,956	-1,049	3,4	-3,447	1,096	
	4 ⁵	-5,302	5,619	-3,98	6,99	-6,326	5,418	-2,496	4,93	-4,8	2,79	
	5 ⁶	-6,16	4,762	-4,944	5,72	7,082	3,385	-3,165	4,57	-9,303	1,579	
1	6 ⁷	-6,049	7,596	-3,817	8,652	7,375	5,158	-0,885	4,97	-4,443	1,72	TRANSVERSALE
	7 ⁸	-6,985	6,659	-4,832	7,785	-8,08	4,54	-1,428	4,58	-4,678	1,33	
	8 ⁹	-5,036	3,677	-3,109	3,978	-6,36	2,96	-0,951	2,45	-4,201	1,43	
	9 ¹⁰	-2,284	2,036	-0,37	3,865	-4,107	0,126	0,26	3,302	-3,477	-0,43	
2	1 ²	-1,196	1,155	-0,295	3,36	-2,059	0,609	0,017	2,164	-1,746	0,018	L'ONNE STATIONNAIRE
	2 ³	-1,356	1,356	-0,2668	2,826	-2,402	0,266	0,087	2,508	-2,068	-0,547	
	3 ⁴	-1,356	1,356	0,1532	2,826	-2,826	-0,193	0,547	2,508	-2,508	-0,547	
	4 ⁵	-1,356	1,356	0,1532	2,826	-2,826	-0,193	0,547	2,508	-2,508	-0,547	
	5 ⁶	-1,356	1,356	0,1532	2,826	-2,826	-0,193	0,547	2,508	-2,508	-0,547	
	6 ⁷	-1,356	1,356	0,1532	2,402	-2,826	-0,193	0,547	2,508	-2,508	-0,087	
	7 ⁸	-1,156	1,196	-0,4236	2,056	-3,36	0,109	-0,028	1,748	-2,164	-0,0173	
1	8 ⁹	-1,43	1,747	0,026	3,205	-2,73	0,274	0,61	2,491	-2,146	-0,614	TRANSVERSALE
	9 ¹⁰	-1,589	1,589	0,052	3,532	-3,055	-0,527	0,699	2,883	-2,406	-1,176	
	10 ¹¹	-1,589	1,589	0,052	3,532	-3,532	-0,527	1,176	2,883	-2,88	-1,176	
	11 ¹²	-1,589	1,589	0,052	3,532	-3,532	-0,527	1,176	2,883	-2,88	-1,176	
2	12 ¹³	-1,589	1,589	0,052	3,532	-3,532	-0,527	1,176	2,883	-2,88	-1,176	L'ONNE STATIONNAIRE
	13 ¹⁴	-1,589	1,589	0,052	3,532	-3,532	-0,527	1,176	2,883	-2,88	-1,176	
	14 ¹⁵	-1,589	1,589	0,052	3,532	-3,532	-0,05	1,176	2,406	-2,88	-0,699	
	15 ¹⁶	-1,747	1,48	-0,099	2,73	-3,205	-0,826	0,614	2,146	-2,491	-0,61	

Ferraillage des poutres

conformément à l'article A.15 du CCBA 68, les forces seront calculées en flexion simple. Il ne sera pas tenu compte des effets normaux dans celle-ci. Elles seront ferraillées sous les sollicitations fondées calculées précédemment.

- La section d'acier sera calculée sous la sollicitation du 1^{er} genre (SP_1) et sous la plus défavorable du 2^e genre (SP_2)
 - Sollicitation du 1^{er} genre : $G + 1,2P$
 - Sollicitation du 2^e genre : $(G + P \pm E)$; $(0,8G \mp E)$

Si le moment sous SP_1 augmente de 50% et supérieur au moment sous SP_2 . On calculera, et on verra la section d'armature sous SP_1 . Le calcul et les vérifications seront faits sous SP_2 , dans le cas contraire.

- La méthode de calcul des armatures est celle de M.^e Pierre Charon.

Etapes de calcul.

- On calcule $M = \frac{15M}{\sigma_a b h}$
- On tire des tableaux (P. CHARON) les coefficients ϵ et k .
- On calcule $\sigma_b' = \frac{\sigma_a}{k}$ si $\sigma_b' < \bar{\sigma}_b'$ les armatures comprimées ne sont pas nécessaires
si $\sigma_b' > \bar{\sigma}_b'$ On doit calculer les armatures comprimées
- Au cas où $\sigma_b' < \bar{\sigma}_b'$ la section d'armature tendue est $A = \frac{M}{\sigma_a \epsilon h}$

Vérifications :

1. Condition de non fragilité : il faut que la section d'armature tendue soit supérieure à une valeur limite $A \geq 0,69 \frac{\sigma_b}{\sigma_{en}} b \cdot h$
2. Condition de la flèche (Art. 61 CCBA 68). La flèche ne sera pas justifiée si les 3 conditions sont vérifiées * $A < \frac{4,5}{\sigma_{en}} b \cdot h$

$$* \frac{ht}{l} > \frac{1}{16}$$

$$* \frac{ht}{l} > \frac{Mt}{10M_0}$$

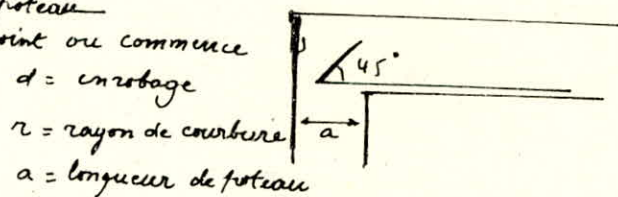
3. Justification d'about. la longueur d'appui nécessaire doit satisfaire

$$C \geq c_0 = \frac{cT}{b \sigma_{b0}'}$$

T = l'effort tranchant de l'appui de rive

c_0 : longueur de la bille nécessaire pour transmettre les efforts de la poutre au poteau

C = Distance de l'appui au point où commence l'ancreage $C = a - (d + z)$; d = enroulage



r = rayon de courbure

a = longueur de poteau

Armatures inférieures : la section minimale des armatures de traction inférieures qui doivent être conduites jusqu'à cet appui et ancrées totalement au delà, on doit vérifier que :

$$A \bar{\sigma}_a \geq T + \frac{M}{z} \quad (M \text{ accès ton régime}). \text{ Cette section est capable}$$

d'équilibre un effort admissible égal à $\bar{T} + \frac{M}{z}$

4. Pourcentage des aciers longitudinaux.

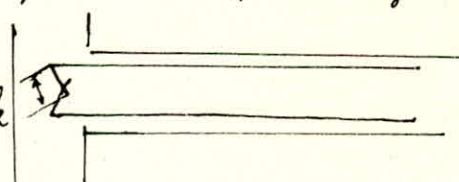
5/ Condition de non fissuration : On doit vérifier que $\max(\sigma_1, \sigma_2) \leq \bar{\sigma}_a$ avec

$$\sigma_1 = \frac{K_n \bar{w}_f}{1 + 10 \bar{w}_f}; \quad \sigma_2 = 2,4 \sqrt{\frac{K_n \bar{\sigma}_b}{\phi}}$$

6/ Anchorage : l'ancreage des armatures longitudinales des poutres dans les poteaux de rive et d'angle doit être effectué conformément à la configuration,

$$\cdot l_1 \geq 20\phi$$

$$\cdot l_2 \geq \max(30\phi, 50\phi)$$



7/ Calcul des armatures transversales et espacements.

- La quantité d'armature transversale minimale est donnée par le RPA $A_t = 0,004 t$

t : espacement des cadres

b : largeur de la poutre

- La contrainte de cisaillement du béton est prise égale : $\bar{\epsilon}_b = \frac{T}{b z}$ (art 25 CCAT 88)

- On doit vérifier également

$$\left\{ \begin{array}{l} \bar{\epsilon}_b \leq 3,5 \bar{\sigma}_b \\ 2 \cdot \sigma'_b \leq \bar{\sigma}_{b0} \end{array} \right.$$

$$\left\{ \begin{array}{l} \bar{\epsilon}_b \leq (4,5 - \frac{\sigma'_b}{\bar{\sigma}_{b0}}) \bar{\sigma}_b \\ 2 \cdot \bar{\sigma}_b \leq \sigma'_b \leq 2 \bar{\sigma}_{b0} \end{array} \right.$$

si $\bar{\epsilon}_b \leq \bar{\epsilon}_b$, on utilise des cadres droits

- La contrainte admissible des armatures transversales $\bar{\sigma}_{at} = 5 \cdot \bar{\sigma}_{en}$ (avec reprise du beton nögel)

- L'espacement $t \leq \bar{t}$ avec $\bar{t} \leq \frac{\bar{\sigma}_{at} \cdot z \cdot A_t}{T}; z = \frac{\pi}{8} h$

$$\bar{\sigma}_{at} = \max \left\{ \frac{z}{\bar{\sigma}_{en}}, \frac{2}{3} \bar{\sigma}_{en} \right\} \quad (\text{sans reprise})$$

- L'écartement admissible : $t \leq \min(12\phi; \frac{L}{4}, 30\text{cm})$ zone rebâie et

$\bar{t} \leq \frac{h}{2}$ zone courante.

- Portique longitudinal.

N°	Porte	Solli	Stim	M	μ	ϵ	K	α	σ_b'	A (cm^2)	Amin	A adapté	ϕ
1	9'	SP ₂	App	4,896	0,0159	0,9442	74,5	0,1635	56,36	2,204	6,3	9,23	6T ₁₄
		SP ₁	trav	3,539	0,0172	0,9422	71,5	0,1734	39,16	2,395	6,3	"	"
	23'	SP ₂	App	3,839	0,0124	0,9502	85,5	0,1493	49,12	1,717	6,3	"	"
		SP ₁	trav	2,71	0,0132	0,9487	82,5	0,1538	33,93	1,821	6,3	"	"
	11'	SP ₂	App	3,13	0,0101	0,955	96	0,1351	43,75	1,39	6,3	"	"
		SP ₁	trav	0,944	0,0046	0,959	146	0,0931	19,17	0,621	6,3	"	"
	5'	SP ₂	App	3,582	0,0103	0,9545	95	0,1364	44,21	1,417	6,3	"	"
		SP ₁	trav	2,71	0,0132	0,9487	82,5	0,1538	33,93	1,821	6,3	"	"
2	6'	SP ₂	App	1,315	0,0042	0,9704	154	0,0887	27,27	0,576	6,3	"	"
		SP ₁	trav	3,539	0,0172	0,9422	71,5	0,1734	39,16	2,395	6,3	"	"
	8'	SP ₂	App	8,747	0,0284	0,927	53,5	0,219	78,5	4,044	6,3	"	"
		SP ₁	trav	4,982	0,0243	0,932	58,5	0,2041	47,86	3,409	6,3	"	"
1	8,9'	SP ₂	App	5,878	0,0191	0,9394	67,5	0,1818	62,22	2,66	6,3	"	"
		SP ₁	trav	4,336	0,0241	0,9363	63,5	0,1911	44,094	2,95	6,3	"	"
	9,10'	SP ₂	App	2,975	0,0096	0,956	98,5	0,1321	42,63	1,323	6,3	"	"
		SP ₁	trav	2,954	0,0144	0,9468	79	0,1596	35,44	1,989	6,3	"	"
	11-12'	SP ₂	App	5,71	0,0185	0,9401	68,5	0,1796	61,31	1,15	6,3	"	"
		SP ₁	trav	2,545	0,0082	0,9593	108	0,1290	38,88	1,127	6,3	"	"

- Portes transversales:

Etant donné que les portes transversales ne sont pas soumises à des charges verticales et elles sont sollicitées principalement que par des forces latérales sismiques, donc elles doivent avoir des armatures symétriques, ainsi que les moments en travé sont faibles par rapport aux moments sur appuis avec le moment max en valeur absolue et on obtient une section en travé égale au moins à la moitié des armatures sur appuis (R.P.A. - A 42.3.2)

N _v	Précis	Stell ^{tn}	Séchir	M	μ	ε	K	α	σ_b'	A (cm ²)	A_{\min}	A_{adapte}	ϕ
1' 2'	SP ₂	M _{pp}	2,273	0,0178	0,9412	70	0,1765	60	1,597	4,2	6,78	67,2	
	SP ₁	trav	1,1639	0,0137	0,9479	81	0,1563	34,56	1,218	"	"	"	
2' 3'	SP ₁	A _{pp}	2,009	0,0158	0,9448	75	0,1666	56	1,406	"	"	"	
	SP ₂	trav	0,9219	0,0108	0,9535	92,5	0,1395	30,27	0,959	"	"	"	
3' 4'	SP ₁	A _{pp}	2,009	0,0158	0,9448	75	0,1666	56	1,406	"	"	"	
	SP ₂	trav	0,9219	0,0108	0,9535	92,5	0,1395	30,27	0,959	"	"	"	
4' 5'	SP ₁	A _{pp}	2,009	0,0158	0,9448	75	0,1666	56	1,406	"	"	"	
	SP ₂	trav	0,9219	0,0108	0,9535	92,5	0,1395	30,27	0,959	"	"	"	
5' 6'	SP ₁	A _{pp}	2,009	0,0158	0,9448	75	0,1666	56	1,406	"	"	"	
	SP ₂	trav	0,9219	0,0108	0,9535	92,5	0,1395	30,27	0,959	"	"	"	
6' 7'	SP ₁	A _{pp}	2,009	0,0158	0,9448	75	0,1666	56	1,406	"	"	"	
	SP ₂	trav	0,9219	0,0108	0,9535	92,5	0,1395	30,27	0,959	"	"	"	
7' 8'	SP ₁	A _{pp}	2,273	0,0178	0,9412	70	0,1765	60	1,597	"	"	"	
	SP ₂	trav	1,1639	0,0137	0,9479	81	0,1563	34,56	1,218	"	"	"	
8' 9'	SP ₁	A _{pp}	4,393	0,0345	0,9204	47,8	0,2388	87,86	3,15	"	"	"	
	SP ₂	trav	1,4438	0,017	0,9422	71,5	0,1734	39,16	1,527	"	"	"	
9' 10'	SP ₁	A _{pp}	3,702	0,0307	0,9242	51	0,2273	82,35	2,79	"	"	"	
	SP ₂	trav	1,2658	0,0149	0,9455	77	0,163	36,36	1,327	"	"	"	
10' 11'	SP ₁	A _{pp}	3,902	0,0307	0,9242	51	0,2273	82,35	2,79	"	"	"	
	SP ₂	trav	1,2658	0,0149	0,9455	77	0,163	36,36	1,327	"	"	"	
11' 12'	SP ₁	A _{pp}	3,902	0,0307	0,9242	51	0,2273	82,35	2,79	"	"	"	
	SP ₂	trav	1,2658	0,0149	0,9455	77	0,163	36,36	1,327	"	"	"	
12' 13'	SP ₁	A _{pp}	3,902	0,0307	0,9242	51	0,2273	82,35	2,79	"	"	"	
	SP ₂	trav	1,2658	0,0149	0,9455	77	0,163	36,36	1,327	"	"	"	
13' 14'	SP ₁	A _{pp}	3,902	0,0307	0,9242	51	0,2273	82,35	2,79	"	"	"	
	SP ₂	trav	1,2658	0,0149	0,9455	77	0,163	36,36	1,327	"	"	"	
14' 15'	SP ₁	A _{pp}	3,902	0,0307	0,9242	51	0,2273	82,35	2,79	"	"	"	
	SP ₂	trav	1,2658	0,0149	0,9455	77	0,163	36,36	1,327	"	"	"	
15' 16'	SP ₁	A _{pp}	4,393	0,0345		47,8	0,2388	87,86	3,15	"	"	"	
	SP ₂	trav	1,4438	0,017		71,5	0,1734	39,16	1,527	"	"	"	

* Condition de non fragilité : frontes.

$$A > 0,69 \sigma_b \frac{b h}{\delta_{en}} \quad A > 2,554 \text{ cm}^2 \quad \text{vérifié}$$

fronte

$$A > 1,39 \text{ cm}^2 \quad \text{vérifié}$$

* Vérification de la flèche

Dans les justifications de calcul relatives à la flèche, on ne tient compte que des sollicitations de service.

Il est inutile de calculer la flèche si les conditions suivantes sont vérifiées :

- * $\frac{h_t}{l} \geq \frac{1}{16}$
- * $\frac{h_e}{b} \geq \frac{M_t}{10 M_0}$
- * $\frac{A}{b \cdot h} \leq \frac{43}{\delta_{en}}$

* Vérification des contraintes

La section d'armature étant connue, nous calculons :

$$\bar{\omega} = \frac{100 A}{b \cdot h} \longrightarrow \epsilon, k$$

$$\sigma_a = \frac{M}{A \cdot \epsilon \cdot h} \quad \sigma_b' = \frac{\sigma_a}{k} \quad ; \quad \sigma_a \text{ et } \sigma_b' \text{ doivent être inférieurs respectivement à } \bar{\sigma}_a \text{ et } \bar{\sigma}_b' .$$

* Condition de non fissuration :

Dans les justifications de calcul relatives à la fissuration du béton, on prend en compte les sollicitations de service. La valeur à considérer pour "a" est limitée à la plus grande des 2 valeurs suivantes :

$$\bar{\sigma}_1 = K \frac{n}{\phi} \frac{\bar{\omega}_f}{1 + 10 \bar{\omega}_f} = 4766,4 \quad (\phi = 14)$$

$$\bar{\sigma}_2 = 2,4 \sqrt{\frac{n \cdot K \cdot \bar{\sigma}_b}{\phi}} = 2393,1 \quad (\phi = 14)$$

$K = 1,5 \cdot 10^6$: fissuration peu nuisible

$\eta = 1,6$: acier de haute adhérence

$\bar{\omega}_f = \frac{A}{B_f}$: pourcentage de fissuration

Condition aux appuis:
on doit vérifier $C \geq \frac{2T}{b_0 \bar{\sigma}_{b_0}}$

Portique	N _{IV}	T	t	c ₀	C
I-I	2	2,826	17	1,57	
	1	3,532	17	1,97	
3-3	2	7,252	25	4,04	
	1	7,175	25	4,11	

Vérification à la flèche: $\star A \leq \frac{43}{\sigma_{ew}} \cdot b \cdot h \Rightarrow$ ou

$$\star \frac{ht}{\ell} > \frac{1}{16} \rightarrow$$

$$\star \frac{ht}{\ell} > \frac{M_t}{10 M_0} \text{ vérifié car } M_t < M_0$$

donc la flèche est vérifiée.

Armatures transversales:

Zone nodale $t \leq \min(10 \phi_b, 15 \text{ cm})$ donc $t = 14 \text{ cm}$

Zone courante $t \leq 12 \phi_b = 12 \times 1,4 = 16 \text{ cm}$

$$A_t = 4 \phi_b = 2,01 \text{ cm}^2$$

$$\bar{\sigma}_{at} = \frac{2}{3} \sigma_{ew} = 2800 \text{ kg/cm}^2$$

$$\bar{\sigma}_{at} = \frac{t \cdot T}{A \cdot z} = \frac{14 \times 7,345 \times 10^3}{2,01 \times \frac{7}{8} \times 54} = 1087 \text{ kg/cm}^2 < 2800 \text{ kg/cm}^2$$

Ferrailage des poteaux.

Les combinaisons des charges sismiques et verticales dans les poteaux sont :

- $G + 1,2P$ (SP_1)
- $G + P \pm 1,2E$ (SP_2)
- + $0,8G \pm E$ (SP_3)

Nous avons deux types de poteaux.

- poteaux rectangulaires
- poteaux circulaires.

Moments dans les poteaux les plus sollicités

	$G + 1,2P$		$0,8G + E$		$0,8G - E$		$G + P + 1,2E$		$G + P - 1,2E$		Poteau
	M_{sup}	M_{inf}	M_{sup}	M_{inf}	M_{sup}	M_{inf}	M_{sup}	M_{inf}	M_{sup}	M_{inf}	
2	0,444	0,493	2,35 ¹	2,26 ²	1,74	1,829	2,889	2,911	2,021	-2	rectangulaire
1	0,4	0,4	2,22	2,22	-1,87	1,87	2,825	2,825	-2,081	-2,081	
2	0	0	1,978	1,978	-1,978	-1,978	2,3736	2,3736	-2,3736	-2,3736	circulaire
1	0	0	0,046	3,046	3,046	-3,046	3,655	3,655	-3,655	-3,655	

Efforts normaux dans les poteaux

	$G + 1,2P$		$0,8G + E$		$0,8G - E$		$G + P + 1,2E$		$G + P - 1,2E$		Poteau
	N	N_{cu}	N	N_{cu}	N	N_{cu}	N	N_{cu}	N	N_{cu}	
2	6,157	6,157	5,089	5,089	3,379	3,833	7,038	7,038	4,987	4,987	rectangulaire
1	7,596	14,197	5,568	10,657	1,1215	4,5	9,694	17,133	4,359	9,476	
2	10,91	10,91	7,922	7,222	6,626	6,626	10,209	19,209	19,553	9,553	circulaire
1	9,7	22,498	6,428	15,65	4,812	9,438	12,73	25,34	10,79	17,885	

Forçage des poteaux rectangulaires

Les poteaux seront calculés en flexion composite sous un effort normal N et un moment fléchissant M au titre et à la base du poteau.

- Section entièrement comprimée : quand l'effort N est appliqué à l'intérieur du noyau central, et que N soit un effort de compression : $e_0 = \frac{M}{N} < e_1 = \frac{h_t}{6}$

- Section partiellement comprimée : ce cas se présente quand l'effort normal est un effort de compression et il est appliquée en dehors du noyau central soit $e_0 > e_1 \rightarrow \frac{M}{N} > \frac{h_t}{6}$: M : moment fléchissant / au centre de gravité du béton seul. On fera le calcul de la section en flexion simple, sous l'effet d'un moment fictif $M_f = N \cdot e$ avec $e = e_0 + (\frac{h_t}{6} - d)$, puis on calculera la section d'acier en flexion composite. Est $A_{fc}^p = A_{fs}^p - \frac{N}{\frac{h_t}{6}}$ A_{fc}^p = section d'acier en F.C ; A_{fs}^p = section d'acier en F.S.

Niveau 2				Niveau 1		
Solli	SP ₁	M _{max} N _{corr}	N _{max} M _{corr}	SP ₁	M _{max} N _{corr}	N _{max} M _{corr}
M	0,493	2,91	2,91	0,4	2,825	2,825
N		7,038	7,038	14,197	17,133	17,133
e ₀	8	41,2	41,2	9,53	16,48	
e ₁	5,83	5,83	5,83	5,83	5,83	5,83
σ_b'	99,832	137	137	105,82	133,04	133,04
A	/	745	745	/	12,26	12,26
A adopté		$4 T 20 = 12,56 \text{ cm}^2$				

- Forçage des poteaux circulaires : Ils sont sollicités en F.C. Nous distinguons 3 cas suivant la section et E.C ; E.T ou P.C.

* Section E.C : les armatures nécessaires à la détermination d'une section circulaire E.C. et uniformément armée sont : (d'après Méthode P. Charron 1965)
 $\frac{M}{N} < \frac{R}{4}$; $\rho = \frac{\pi R^2}{N} \bar{\sigma}_b$; $a = \frac{r}{R}$; $\beta = \frac{4 M_0}{R N}$; $C = 0,045 a^2 \rho$; $E = \rho - 1 - \beta$

$$\bar{w} = \frac{-D + \sqrt{D^2 - 4CE}}{2} ; A = \frac{15}{n} \bar{w} \frac{\pi R^2}{100}$$

* Section P.C : $e = \frac{M}{N}$; $\eta = \frac{e}{2R}$; $\mu = \frac{M}{2 \bar{\sigma}_b R^3}$; $n, \mu \rightarrow (\bar{w}, K$ vu le tableau B.A.)

SP ₁	M _{max} N _{corr}	N _{max} M _{corr}	SP ₁	M _{max} N _{corr}	N _{max} M _{corr}
M	0	2,3736	0	3,655	3,655
N	10,91	10,209	22,79	25,34	25,35
e ₀	0	23,25	0	14,41	14,41
e ₁	4,375	4,375	4,375	4,375	4,375
A		6,27 cm ²		10,43 cm ²	
A adopté		$9 T 14 = 13,55 \text{ cm}^2$			

$$A = \frac{15}{n} \bar{w} \frac{\pi R^2}{100} \quad \bar{\sigma}_a = \frac{n}{15} K \bar{\sigma}_b$$

$$\bar{\sigma}_b = \frac{\bar{\sigma}_a}{K} \frac{15}{n}$$

COUPOLE

Coupoles

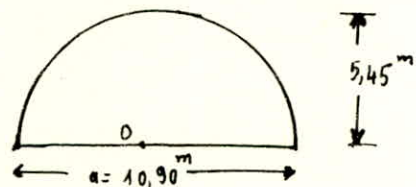
Généralités :

on considère la coupole comme un voile mince de révolution, un tel voile peut être caractérisé par le diamètre a , de sa base le long du parallèle d'appui la flèche traduisant l'altitude du sommet par rapport à la base et l'épaisseur (f). Les efforts en tout point doivent, d'une façon générale être déterminés en envisageant l'équilibre de flexion qui fait intervenir 5 éléments de réduction par facette.

On trouve en particulier, lorsque f est très faible l'équilibre de flexion des plaques planes de réduction. L'effet de membrane peut alors être considéré comme négligeable, par contre lorsque f prend de l'importance ($f > \frac{a}{10}$) notre cas :

$$a = 10,90 \text{ m} \quad \text{et} \quad f = 5,45 \text{ m}$$

On constate que les efforts, en tout point restent voisins de ceux obtenus par l'équilibre de membrane.



Théorie de la membrane

un point quelconque A d'un voile mince de révolution d'axe OZ se trouve à l'intersection d'un méridien (Γ) et d'un parallèle (ϵ). Nous définirons le position de ce point au moyen des angles θ et φ ; φ est l'angle de l'axe de révolution OZ et la normale IA au voile, compté positivement de OZ vers Oz; θ est l'angle d'un plan méridien fixe OXZ et du plan méridien OzZ contenant le point A.

Les courbes $\theta = \text{const.}$ sont les méridiens, et les courbes $\varphi = \text{const.}$ sont les parallèles. Au point A est lié un trièdre trirectangulaire direct dont les vecteurs unitaires sont $\vec{i}, \vec{j}, \vec{k}$ (fig 2). Le vecteur \vec{i} est dirigé suivant la tangente au méridien dans le sens de θ croissant; le vecteur \vec{j} est dirigé suivant la tangente au parallèle dans le sens de θ croissant; enfin le vecteur \vec{k} . $\vec{k} = \vec{i} \wedge \vec{j}$. \vec{k} est normale à la surface et a le même sens que le vecteur \vec{IA} ; car l'on a supposé

Si l'on représente la surface du voile par les équations paramétriques :

$$x = r \cos \theta; \quad y = r \sin \theta; \quad z = f(r); \quad \frac{\partial z}{\partial r} = f'(r) = - \operatorname{tg}(\varphi).$$

Les composantes des vecteurs $\vec{i}, \vec{j}, \vec{k}$ suivant Oxyz sont :

Composantes	\vec{i}	\vec{j}	\vec{k}
suivant Oxz	$\cos \varphi \cos \theta$	$-\sin \theta$	$\sin \varphi \cos \theta$
suivant Oy	$\cos \varphi \sin \theta$	$\cos \theta$	$\sin \varphi \sin \theta$
suivant Oz	$-\sin \varphi$	0	$\cos \varphi$

new decisions

$$\frac{\partial \vec{r}}{\partial \varphi} = -\vec{k}$$

$$\frac{\partial \vec{r}}{\partial \theta} = \vec{j} \cos\varphi$$

$$\frac{\partial \vec{r}}{\partial \varphi} = 0$$

$$\frac{\partial \vec{r}}{\partial \theta} = -\vec{i} \cos \varphi - \vec{k} \sin \varphi$$

$$\frac{\partial \vec{z}}{\partial \varphi} = \vec{\lambda}$$

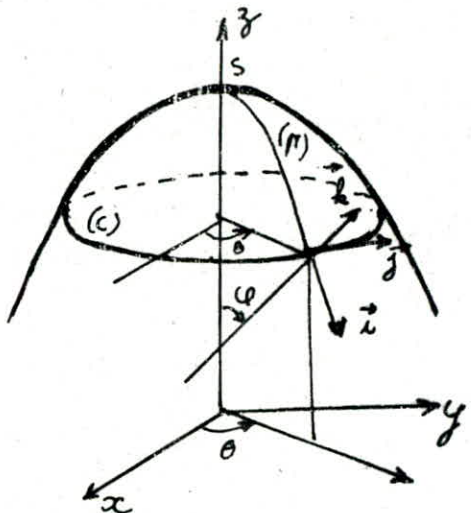
$$\frac{\partial \vec{h}}{\partial \theta} = \vec{j} \sin \varphi$$

on substitue à l'angle et l'abscisse curviligne S du méridien

$$\left. \begin{array}{l} dx = dr \cos\theta \\ dy = dr \sin\theta \\ dz = -dr \tan\phi \end{array} \right\} \Rightarrow ds^2 = dx^2 + dy^2 + dz^2$$

← 2

$$ds^2 = (1 + \epsilon_g^2 \phi) dr^2 = \frac{dr^2}{\cos^2 \phi} \Rightarrow ds = \frac{dr}{\cos \phi}$$



Le rayon de courbure r du méridien est un nombre algébrique :

$$S = \frac{ds}{d\varphi} = \frac{1}{\cos \varphi} \frac{dr}{d\varphi} \quad (p \text{ est positif si le centre de courbure des méridiens est du même côté que } I \text{ par rapport à } A)$$

$$dr = g \cos\theta \, d\varphi$$

$$d\bar{z} = -dr \operatorname{tg}\varphi = -r \sin\varphi d\varphi$$

nous désignons par R_1 et R_2 les rayons de courbure principales de la surface; ce sont les rayons de courbure des sections normales passant respectivement par la tangente au méridien et par la tangente au parallèle, R_1 et R_2 sont des nombres algébriques. Nous désignons par p_1 , p_2 , p_3 les composantes suivant i , j , k de la densité de force \vec{w} appliquée au voile.

$$\vec{\omega} = \rho_x \vec{x} + \rho_y \vec{j} + \rho_z \vec{k}.$$

Equation d'équilibre:

voile soumis à une densité de force quelconque.

La théorie de membrane consiste à supposer que les forces intérieures sont contenues dans le plan tangent au voile; l'état de contrainte est alors défini par un tenseur symétrique du second ordre (tenseur tensor), dont les composantes seront désignées par F_1 ; F_2 ; F_{12} (F_{21}).

étudions l'équilibre d'un élément ABCD du voile compris entre deux mailles infiniment voisines définies par θ et $\theta + d\theta$ et deux parallèles infiniment voisines définies par φ et $\varphi + d\varphi$. Nous avons : $AB = g d\varphi$ et $AC = r d\theta$, l'aire de l'élément ABCD sera $r g d\varphi d\theta$.

En écrivant que la somme des forces appliquées à l'élément ABCD est nulle nous obtenons les résultats vectoriels.

- 1) le long de l'arc AB : $-(F_{12} \vec{i} + F_2 \vec{j}) g d\varphi$
- 2) le long de l'arc AC : $-(F_1 \vec{i} + F_{12} \vec{j}) r d\theta$
- 3) le long de l'arc BC : $(F_1 \vec{i} + F_{12} \vec{j}) r d\theta + \frac{\partial}{\partial \varphi} [(F_1 \vec{i} + F_{12} \vec{j}) r d\theta] d\varphi$
- 4) le long de l'arc CD : $(F_{12} \vec{i} + F_2 \vec{j}) g d\varphi + \frac{\partial}{\partial \theta} [(F_{12} \vec{i} + F_2 \vec{j}) g d\varphi] d\theta$

La force extérieure a pour composante :

$$\vec{N} = (P_1 \vec{i} + P_2 \vec{j} + P_3 \vec{k}) g r d\theta d\varphi.$$

À l'équilibre la somme de toutes les forces appliquées à l'élément ABCD est nulle d'où

$$\frac{\partial}{\partial \varphi} [F_1 r d\theta \vec{i} + F_{12} r d\theta \vec{j}] d\varphi + \frac{\partial}{\partial \theta} [F_{12} g d\varphi \vec{i} + F_2 g d\varphi \vec{j}] d\theta + (P_1 \vec{i} + P_2 \vec{j} + P_3 \vec{k}) g r d\theta d\varphi = 0$$

On développe cette équation terme à terme de la relation (1) et que g ne dépend pas de θ on trouve :

$$1: \frac{\partial}{\partial \varphi} (F_1 r d\theta \vec{i} + F_{12} r d\theta \vec{j}) d\varphi = \frac{\partial}{\partial \varphi} (F_1 r d\theta \vec{i}) d\varphi + \frac{\partial}{\partial \varphi} (F_{12} r d\theta \vec{j}) d\varphi = \\ = \left[\left(\frac{\partial}{\partial \varphi} (F_1 r) d\theta + F_{1r} \frac{\partial d\theta}{\partial \varphi} \right) \vec{i} + \left(\frac{\partial}{\partial \varphi} (F_{12} r) d\theta + F_{12r} r \frac{\partial d\theta}{\partial \varphi} \right) \vec{j} + F_{1r} d\theta \frac{\partial \vec{i}}{\partial \varphi} + F_{12r} d\theta \frac{\partial \vec{j}}{\partial \varphi} \right] d\varphi$$

Remplaçons : $\frac{\partial \vec{i}}{\partial \varphi}$ et $\frac{\partial \vec{j}}{\partial \varphi}$ par ces valeurs et comme θ ne dépend pas de φ

$$1: \frac{\partial (F_1 r)}{\partial \varphi} \vec{i} d\theta - F_{1r} \vec{k} d\theta + \frac{\partial F_{12}}{\partial \varphi} r \vec{j} d\theta d\varphi = \left[\frac{\partial (F_1 r)}{\partial \varphi} \vec{i} - F_{1r} \vec{k} + \frac{\partial F_{12}}{\partial \varphi} r \vec{j} \right] d\theta d\varphi$$

$$2: \frac{\partial}{\partial \theta} [F_{12} g d\varphi \vec{i} + F_2 g d\varphi \vec{j}] d\theta = \frac{\partial}{\partial \theta} [F_{12} g d\varphi \vec{i}] d\theta + \frac{\partial}{\partial \theta} (F_2 g d\varphi \vec{j}) d\theta = \\ = \left[\left(\frac{\partial}{\partial \theta} (F_{12} g) d\varphi + F_{12} g \frac{\partial d\varphi}{\partial \theta} \right) \vec{i} + F_{12} g d\varphi \frac{\partial \vec{i}}{\partial \theta} + \left(\frac{\partial (F_2 g)}{\partial \theta} d\varphi + F_2 g \frac{\partial d\varphi}{\partial \theta} \right) \vec{j} + F_2 g d\varphi \frac{\partial \vec{j}}{\partial \theta} \right] d\theta$$

$$3: \frac{\partial}{\partial \theta} (F_{12} g) \vec{i} + F_{12} g \sin \varphi \vec{j} + \frac{\partial F_2}{\partial \theta} g \vec{j} - F_2 g \cos \varphi \vec{i} - F_2 g \sin \varphi \vec{k} d\theta d\varphi$$

éliminant $d\varphi$ et $d\theta$ des 2 équations on aura :

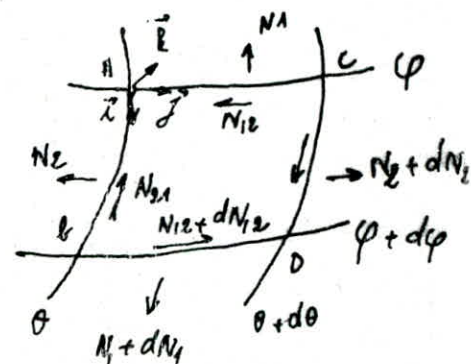
$$\left(\frac{\partial (F_1 r)}{\partial \varphi} + \frac{\partial F_{12}}{\partial \theta} - F_2 g \cos \varphi + P_1 g r \right) \vec{i} + \left(\frac{\partial (F_2 r)}{\partial \varphi} + F_{12} g \sin \varphi + \frac{\partial (F_2 g)}{\partial \theta} + P_2 g r \right) \vec{j} + (F_{1r} + F_2 g \sin \varphi - P_3 r g) \vec{k}$$

Comme g ne dépend pas de θ , on peut écrire

$$\frac{\partial (F_1 r)}{\partial \varphi} + g \frac{\partial F_{12}}{\partial \theta} - F_2 g \cos \varphi + P_1 g r = 0 \quad (1)$$

$$\frac{\partial (F_2 r)}{\partial \varphi} + F_{12} g \sin \varphi + g \frac{\partial (F_2 g)}{\partial \theta} + P_2 g r = 0 \quad (2)$$

$$F_{1r} + F_2 g \sin \varphi - P_3 r g = 0 \quad (3)$$



Supposons maintenant que le voile est soumis à une densité ne dépendant pas de θ , lorsque P_1, P_2, P_3 ne dépendent pas de θ , il est de même pour les composantes F_1, F_2, F_{12} qui sont donc des fonctions de la seule variable φ en effet l'équilibre n'est pas modifié lorsqu'on fait subir au voile une rotation d'ensemble autour de l'axe de révolution et les (composantes) équations (I) deviennent :

$$\left\{ \begin{array}{l} \frac{d(rF_1)}{d\varphi} - g F_2 \cos \varphi + P_1 r g = 0 \quad (1') \\ \frac{d(rF_{12})}{d\varphi} + g F_{12} \cos \varphi + F_1 r g = 0 \quad (2') \quad (I') \\ r F_1 + g F_2 \sin \varphi - P_3 r g = 0 \quad (3') \end{array} \right.$$

L'équation (2'), c'est une équation différentielle linéaire qui permet de calculer F_{12} (2') peut se mettre sous la forme :

$$\frac{d(r^2 F_{12})}{d\varphi} = - P_2 r^2 g ; \quad F_{12} = - \frac{1}{r^2} \int_{\varphi_0}^{\varphi} P_2(\psi) r^2(\psi) g(\psi) d\psi$$

Si la densité de force possède la symétrie de révolution donc :

$P_2 = 0$, P_1 et P_3 ne dépendent pas de θ , d'où $F_{12} = 0$, et l'équation (I') devient :

$$\frac{d(rF_1)}{d\varphi} - g F_2 \cos \varphi + P_1 r g = 0 \quad (II')$$

$$r F_1 + g F_2 \sin \varphi - P_3 r g = 0$$

En éliminant F_2 entre ces 2 équations on aura :

$$\sin \varphi \frac{d(rF_1)}{d\varphi} + r F_1 \cos \varphi + (P_3 \sin \varphi - P_1 \cos \varphi) r g = 0$$

$$\text{que l'on peut écrire : } \frac{d(rF_1 \sin \varphi)}{d\varphi} = (P_3 \cos \varphi - P_1 \sin \varphi) r g$$

Son intégration se ramène donc à une quadrature et pour un voile ayant un sommet S sur l'axe de révolution

$$F_1 = \frac{1}{r_1 \sin \varphi} \int_0^{\varphi} [P_3(\psi) \cos \psi - P_1(\psi) \sin \psi] r(\psi) g(\psi) d\psi$$

Le poids propre de densité g par unité de surface du voile :

les composantes de p sont : $P_1 = p \sin \varphi$; $P_2 = 0$; $P_3 = -p \cos \varphi$

Cas particulier - couple sphérique soumis au poids propre p.

$$P_1 = P \sin \varphi ; P_2 = 0 ; P_3 = -P \cos \varphi .$$

Soit R : le rayon de la couple: $\rho = R = \frac{r}{\sin \varphi}$ (fig 4)

l'équation (1) donne:

$$N_1 = \frac{1}{R \sin^2 \varphi} \int_0^\varphi [-P \cos \varphi \cos \alpha - P \sin \varphi \sin \alpha] R \sin \alpha R d\alpha$$

$$N_1 = -\frac{PR}{\sin^2 \varphi} \int_0^\varphi \sin \varphi d\varphi \rightarrow N_1 = -PR \frac{1 - \cos \varphi}{\sin^2 \varphi} = -PR \frac{1}{1 + \cos \varphi}$$

$$\text{et l'équation (3') de 1' donne: } N_1 R \sin \varphi + R N_2 \sin \varphi = P_3 R^2 \sin \varphi$$

$$\rightarrow N_1 + N_2 = P_3 R$$

remplaçons P_3 par sa valeur $= -P \cos \varphi$ on obtient:

$$N_1 + N_2 = -PR \cos \varphi, \text{ et remplaçons } N_1 \text{ par sa valeur, on aura}$$

$$N_2 = -PR \left(\cos \varphi - \frac{1}{1 + \cos \varphi} \right)$$

On remarque que N_1 est toujours négatif quelque soit la valeur de φ donc N_1 toujours un effort de compression mais N_2 s'annule pour une certaine valeur φ_0 et il est un effort de compression ($N_2 < 0$) si $\varphi < \varphi_0$

et un effort de traction ($N_2 > 0$) si $\varphi > \varphi_0$

$$\text{avec } N_2 = 0 \text{ pour } \left(\cos \varphi - \frac{1}{1 + \cos \varphi} \right) = 0$$

$$\text{c'est à dire } \cos \varphi / (1 + \cos \varphi) - 1 = 0$$

$$\cos^2 \varphi + \cos \varphi - 1 = 0 \text{ qui a la forme } x^2 + x - 1 = 0$$

$$\text{d'où } x_1 = 1,618 \text{ (exclu)}$$

$$x_2 = \cos \varphi_0 = 0,618 \rightarrow \varphi_0 = 51^\circ 49' 38''$$

$$\text{soit } \varphi_0 \approx 51^\circ 50'$$

Application numérique

Le poids à considérer et le poids propre et une charge d'exploitation équivalente à une personne par m_2 soit 80 Kg/m^2 .

$$\text{d'où } P = G + 1,2 \varphi \text{ avec } G = 0,15 \times 2500 = 375 \text{ Kg/m}^2$$

$$\text{en effet } = 50 \text{ Kg/m}^2 .$$

$$P = 425 + 1,2 \times 80 = 529 \text{ Kg/m}^2$$

$$R = 5,45 \text{ m}$$

$$\text{portu} = 2R = 10,90 \text{ m (fig 5)}$$

$$\sin \varphi = \frac{5,45}{5,45} = 1 \rightarrow \alpha = 90^\circ$$

$$\rightarrow 0 \leq \varphi \leq 90^\circ$$

On a :

$$N_1 = - PR \frac{1 - \cos \varphi}{2 \sin^2 \varphi} = \frac{- PR}{1 + \cos \varphi}$$

$$N_2 = - PR \left(\cos \varphi - \frac{1}{1 + \cos \varphi} \right)$$

Les valeurs de N_1 et N_2 pour différentes valeurs possibles de φ sont données par un tableau récapitulatif.

φ	$\cos \varphi$	$\sin \varphi$	P (kg/m ²)	R (m)	N_1 (kg/ml)	N_2 (kg/ml)
0	1	0	521	5,45	- 1419,72	- 1419,72
10	0,985	0,174	/	/	- 1430,45	- 1366,4
20	0,939	0,342	/	/	- 1463,93	- 1204,01
30	0,866	0,5	/	/	- 1521,87	- 937,28
40	0,766	0,643	/	/	- 1607,84	- 567,17
50	0,643	0,766	/	/	- 1728,21	- 97,55
51°50'	0,617	0,786	/	/	- 1755,43	0
60	0,5	0,866	/	/	- 1892,96	473,24
70	0,342	0,939	/	/	- 2115,83	1144,74
80	0,173	0,984	/	/	- 2420,67	1929,44
90	0	1	/	/	- 2839,45	2839,45

au sommet $N_{1S} = N_{2S} = \frac{1}{2} P_S R = - \frac{PR}{2} = - 1419,72$ kg/ml
car lorsque $\varphi \rightarrow 0$ et $P_S = R$

Forraillage de la coupoles

On remarque que toutes les valeurs de N_i sont négatives
la plus grande valeur de N_2 est -2839,45 kg/m²

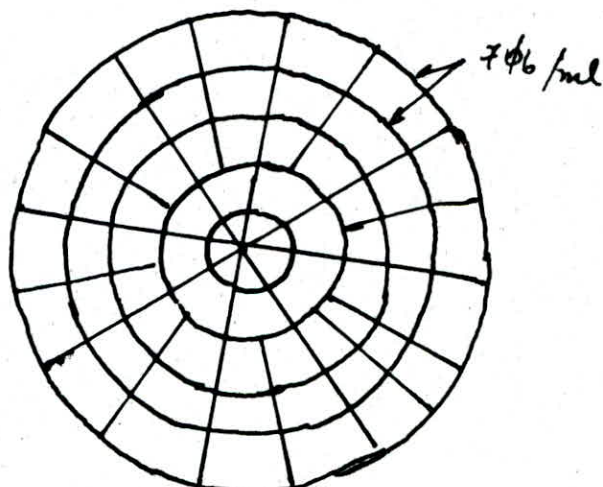
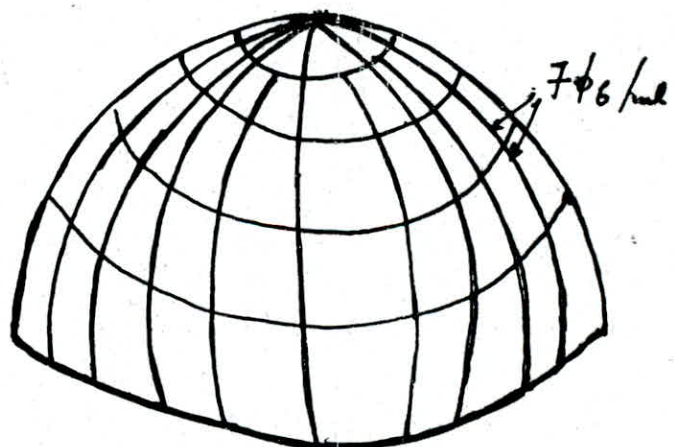
On utilise des aciers doux de renstance Fc E 22 d'où $\sigma_{un} = 2200 \text{ kg/mm}^2$
et $\bar{\sigma}_a = \frac{2}{3} \sigma_{un} = 1470 \text{ kg/cm}^2$ d'où $A = \frac{N_c}{\bar{\sigma}_a} = \frac{-2839,45}{1470} = 1,93 \text{ cm}^2$
on prend $\varphi_{bf} = 1,93 \text{ cm}^2/\text{m}$ dans le sens des parallèles, espacé de 20cm
Dans le sens des méridiens on n'a pas besoin d'armature car N_i négative
on met des armatures de répartition, soit φ_{bf} .

Pour la ceinture :

on a $H = N_i \cos \varphi = \frac{PR \cos \alpha}{1 + \cos \alpha}$ avec $\alpha = 90^\circ$, Or pour $\alpha = 90^\circ$ on a $H = 0$
donc l'effort de traction dans la ceinture est nul.

On prend une section d'armature constructive 4 T_{1/2}

Pour la force verticale, elle est équilibrée par l'appui.



Calcul des déformations et déplacements

La déformation du voile donne au point A un déplacement $\vec{AA}' = \delta \vec{A}$ dont les composantes suivant $\vec{i}, \vec{j}, \vec{k}$ seront désignées par u, v, w .
 $\delta \vec{A} = \vec{AA}' = u \vec{i} + v \vec{j} + w \vec{k}$.

La loi de Hooke permet, connaissant F_1, F_2 et F_{12} , de calculer les composantes e_1, e_2 et g_{12} du tenseur déformation : e_1 est la dilatation suivant le méridien ; e_2 est la dilatation suivant le parallèle et g_{12} est le glissement.

L'angle initialement droit formé par la tangente au méridien et par la tangente au parallèle devient après déformation $(\frac{\pi}{2} - 2g_{12})$.

Nous avons en effet, en désignant par h l'épaisseur du voile, par E le module d'Young et par ν le coefficient de Poisson.

$$\left\{ \begin{array}{l} e_1 = \frac{1}{Eh} (F_1 - \nu F_2) \\ e_2 = \frac{1}{Eh} (F_2 - \nu F_1) \\ 2g_{12} = \frac{2(1+\nu)}{Eh} F_{12} \end{array} \right. \quad (1)$$

Pour calculer les composantes u, v et w du déplacement d'un point A du voile, nous devons exprimer e_1, e_2 et g_{12} en fonction de u, v et w .

Considérons donc un point A du voile deux éléments d'arc infiniment petits \vec{AB} et \vec{AC} respectivement dirigés suivant le méridien et suivant le parallèle :

$$\vec{AB} = g d\varphi \vec{i}, \quad \vec{AC} = r d\theta \vec{j}$$

Après déformation, les points A, B et C viennent en A', B' et C' tels que :

$$\vec{AA}' = u \vec{i} + v \vec{j} + w \vec{k}$$

$$\vec{BB}' = \vec{AA}' + \frac{\partial}{\partial \varphi} (u \vec{i} + v \vec{j} + w \vec{k}) d\varphi$$

$$\vec{CC}' = \vec{AA}' + \frac{\partial}{\partial \theta} (u \vec{i} + v \vec{j} + w \vec{k}) d\theta$$

Nous avons ensuite

$$\vec{A'B'} = \vec{AB} + \vec{BB}' - \vec{AA}', \quad \vec{A'C'} = \vec{AC} + \vec{CC}' - \vec{AA}'$$

soit :

$$\vec{A'B'} = g d\varphi \vec{i} + \frac{\partial}{\partial \varphi} (u \vec{i} + v \vec{j} + w \vec{k}) d\varphi$$

$$\vec{A'C'} = r d\theta \vec{j} + \frac{\partial}{\partial \theta} (u \vec{i} + v \vec{j} + w \vec{k}) d\theta$$

Effectuant les dérivations en tenant compte des relations (1) nous trouvons :

$$\vec{A'B'} = \left(p + \frac{\partial u}{\partial \varphi} + w \right) \vec{i} d\varphi + \frac{\partial v}{\partial \varphi} \vec{j} d\varphi + \left(\frac{\partial w}{\partial \varphi} - u \right) \vec{k} d\varphi;$$

$$\overrightarrow{A'C'} = \left(\frac{\partial u}{\partial \theta} - v \cos \varphi \right) \vec{i} d\theta + \left(r + \frac{\partial v}{\partial \theta} + u \cos \varphi + w \sin \varphi \right) \vec{j} d\theta + \left(\frac{\partial w}{\partial \theta} - v \sin \varphi \right) \vec{k} d\theta$$

en portant les valeurs précédentes de $\overrightarrow{A'B'}$ et $\overrightarrow{A'C'}$ dans les expressions de e_1, e_2 et g_{12} ,

$$e_1 = \frac{\overrightarrow{A'B'} - \overrightarrow{AB}}{\|\overrightarrow{AB}\|} \vec{i} ; \quad e_2 = \frac{\overrightarrow{A'C'} - \overrightarrow{AC}}{\|\overrightarrow{AC}\|} \vec{j} ; \quad 2g_{12} = \frac{\overrightarrow{AB} \cdot \overrightarrow{AC}}{\|\overrightarrow{AB}\| + \|\overrightarrow{AC}\|}$$

nous obtenons les équations aux dérivées partielles vérifiées par les composantes du déplacement :

$$e_1 = \frac{1}{r} \left(\frac{\partial u}{\partial \varphi} + w \right) ; \quad e_2 = \frac{1}{r} \left(u \cos \varphi + w \sin \varphi \right) ; \quad 2g_{12} = \frac{1}{r} \frac{\partial u}{\partial \theta} + \frac{1}{r} \frac{\partial v}{\partial \varphi} - \frac{v}{r} \cos \varphi \quad (2)$$

Lorsque la densité de force ne dépend pas de θ , et lorsque elle possède une symétrie de révolution, alors $P_2 = 0$, P_1 et P_3 ne dépendent pas de θ alors $F_{12} = 0$ et il résulte que $g_{12} = 0$ et par suite V est nulle.

$$e_1 = \frac{1}{r} \left(\frac{\partial u}{\partial \varphi} + w \right) ; \quad e_2 = \frac{1}{r} \left(u \cos \varphi + w \sin \varphi \right) ; \quad g_{12} = 0$$

$$\sin \varphi \frac{du}{d\varphi} - u \cos \varphi = g e_1 \sin \varphi - r e_2 \quad \text{et} \quad u = \sin \varphi \left[C + \int \frac{ge_1 \sin \varphi - re_2}{\sin^2 \varphi} d\varphi \right]$$

$$u = \sin \varphi \left[C - \frac{(1+\nu) PR^2}{Eh} \ln \left(1 + \cot \varphi - \frac{1}{1 + \cot \varphi} \right) \right] = \sin \varphi \left[C + \frac{1+\nu}{Eh} PR^2 (1 - \cot \varphi) \right]$$

$$u = \frac{1+\nu}{Eh} PR^2 (\cot \varphi - \cot \alpha) \sin \varphi \quad w = R e_2 - u \cot \varphi$$

$$\text{Application : } h = 0,15 \text{ m} ; \quad E = 3,81 \times 10^6 \text{ t/m}^2 ; \quad R = 5,45 \text{ m} ; \quad q = 9,721 \text{ t/m}^2 ; \quad \nu = 0,15$$

les résultats sont dans le tableau.

Rem : u étant nul pour $\varphi = \alpha = 90^\circ$; on peut déterminer la valeur C .

$$\text{pour } \varphi = \alpha = 90^\circ \rightarrow 0 = \sin \frac{\pi}{2} \left[C + \frac{1+\nu}{Eh} PR^2 (1 - \cot \frac{\pi}{2}) \right]$$

$$0 = C + \frac{1+\nu}{Eh} PR^2 \rightarrow C = - \frac{1+\nu}{Eh} PR^2$$

φ	N_1	N_2	$e_1 \cdot 10^{-3}$	$e_2 \cdot 10^{-3}$	$M \cdot 10^{-6}$	$W \cdot 10^{-3}$	$\delta \cdot 10^{-3}$
0°	-1419,72	,1419,72	2,11	2,11	0	11,49	11,49
10°	-1430,35	,1366,40	2,14	2,04	5,33	10,94	10,94
20°	-1463,93	,3904,04	2,24	1,72	10	9,36	9,36
30°	-1521,27	,937,28	2,41	1,24	13,4	6,74	6,74
40°	-1603,84	,567,17	2,66	0,57	15,3	3,09	3,09
50°	-1728,21	,97,55	2,99	0,28	15,3	1,516	1,516
51°50'	-1755,13	0	3,07	0,46	15,1	1,516	1,516
60°	-1892,96	,473,24	3,43	1,32	13,4	7,18	7,18
70°	-2115,73	,11441,74	4	2,55	9,9	13,89	13,89
80°	-2420,67	,1929,44	4,55	2,78	5,3	15,15	15,15
90°	-2839,45	,2839,45	5,71	5,71	0	31,11	31,11

MINARET

Etude du minaret

Introduction :

Le minaret est en forme octogone régulière, le côté de l'octogone est de 1,10m en batar armé, le système de contreventement est en portique, il est de hauteur 24,5m.

Etude Sismique : L'analyse sismique d'une structure est nécessaire, pour cela on présente la structure par un modèle mathématique.

Choix du modèle :

Pour notre ouvrage le modèle retenu est la console encastrée à la base, avec des masses concentrées, le déplacement sera dans un seul sens dans le plan horizontal.

NIV	Portée	\bar{k}	a_j	k_j	$a_j k_j$	D_j	R_j
7	A	9,42	0,825	108,5	89,51	179	8423,38
	B	9,42	0,825	108,5	89,51		
6,5,4,3,2	A	11	0,846	93	78,67	157,75	5893,438
	B	11	0,846	93	78,67		
1	A	6,28	0,818	81,38	66,568	133,73	3847,63
	B	6,28	0,818	81,38	66,568		

porteau : 25x25

porte : 25x30

Méthode de Holzer :

Principe de la méthode : c'est une méthode itérative basée sur la notion de rigidité relative du niveau.

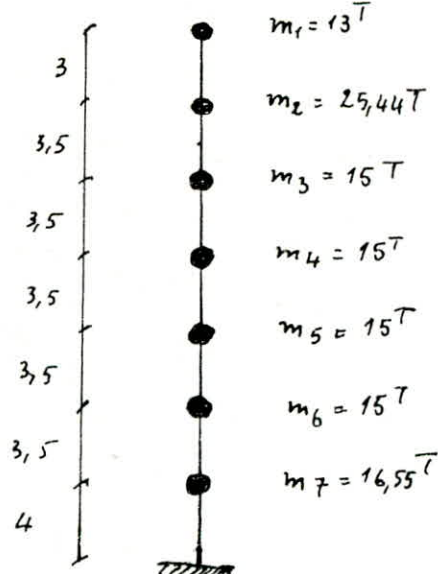
Par définition la rigidité du niveau "j" est donnée par :

$$R_j = \frac{T_j}{x_j - x_{j-1}} \text{ d'où } x_{j-1} = x_j - \frac{T_j}{R_j}$$

$$T_j = \sum_{k=j}^n F_k \text{ avec } F_k = m_k \omega^2 x_k$$

$$x_{j-1} = x_j - \frac{\omega^2}{R_j} \sum_j m_k x_k ; x_j(t) = x_j + m(\omega t + \phi)$$

$$\text{d'où } x_{j-1} = x_j - \frac{\omega^2}{R_j} \sum_j m_k x_k \quad (1)$$



Conditions aux limites :

à la base de la structure le déplacement relatif de niveau est nul $x_0 = 0$ au sommet on fixe $x_n = 1$.

Les formes propres sont définies à une condition près :

$$x_1 = x_2 - \frac{\omega^2}{R_2} \sum_k m_k x_k, \quad x_0 = 0 = x_1 - \frac{\omega^2}{R_1} \sum_k m_k x_k \rightarrow x_1 = \frac{\omega^2}{R_1} \sum_k m_k x_k$$

La condition à la base donne : $x_0 = 0 \Rightarrow \frac{\omega^2}{R_1} \sum_{k=1}^n m_k x_k = x_2 - \frac{\omega^2}{R_2} \sum_{k=2}^n m_k x_k \quad (2)$

La méthode de Holzer consiste à la détermination des pulsations $\omega_1, \omega_2, \dots, \omega_n$ et des formes propres x_1, x_2, \dots, x_n en résolvant l'équation de récurrence (1) par approximation successive pour ω dont la bonne valeur satisfait la condition à la base [eq. (2)]

Détermination de la période :

$$\omega^2 = 17,775.$$

k	$m_k \omega^2$	$m_k \omega^2$	x_k	$m_k \omega^2 x_k$	$\sum m_k \omega^2 x_k$	R_k	$\frac{\sum m_k \omega^2 x_k}{R_k}$
7	13	231,075	1	231,075	231,075	384,763	0,60
6	25,44	452,196	0,96079	434,424	665,499	589,343	0,039
5	15	266,625	0,8478	226,044	891,543	589,343	0,1129
4	15	266,625	0,6965	185,704	1077,247	589,343	0,1512
3	15	266,625	0,5137	136,965	1214,212	589,343	0,1828
2	15	266,625	0,3077	82,04	1296,252	589,343	0,206
1	16,55	294,176	0,1538	45,244	1341,496	842,338	0,1539

$$\omega = \frac{2\pi}{T} \text{ d'au } T = \frac{2\pi}{\omega}$$

$$T = \frac{2\pi}{\sqrt{17,775}} = 1,490 \quad 1^{\text{er}} \text{ mode.}$$

$$\omega^2 = 175,72 \quad 2^{\text{e}} \text{ mode.}$$

k	m_k	$m_k \omega^2$	x_k	$m_k \omega^2 x_k$	$\sum m_k \omega^2 x_k$	R_k	$\frac{\sum m_k x_k \omega^2}{R_k}$
7	13	2635,8	1	2635,8	2635,8	384,763	0,5937
6	25,44	4470,39	0,6123	2737,17	5372,97	589,343	0,3876
5	15	2635,8	-0,2397	-631,8	4741,17	589,343	0,8521
4	15	2635,8	-0,9846	-2595,208	2145,962	589,343	0,7449
3	15	2635,8	-1,2691	-3397,809	-1259,847	589,343	0,3045
2	15	2635,8	-1,0171	-9880,872	-3932,768	589,343	-0,2720
1	16,55	2908,16	-0,5085	-1349304	-5273,022	842,338	-0,5086

$$T = \frac{2\pi}{\omega} = \frac{2\pi}{\sqrt{175,72}} = 0,473 \text{ s} \quad 2^{\text{e}} \text{ mode.}$$

Calcul du coefficient de participation.

$$\eta_J = \frac{(\sum m_j x_j)^2}{\sum m_j \sum m_j x_j^2} = 0,82$$

$\eta_J = 82\% > 78\%$, donc le premier mode est largement suffisant.

Etude sismique

La force sismique minimale (formule de base) est donnée par la formule
(RPA 81 Art 3.3.1)

$$V = A \cdot D \cdot B \cdot Q \cdot W \quad \text{où}$$

A: coefficient d'accélération de la zone, groupe 2
zone 2 } $\rightarrow A = 0,15$

D: facteur d'amplification moyen
et du sol de fondation. Sol meuble $D = 2 \sqrt{\frac{0,5}{T}} = 1,158$ avec $T = 1,49$

B: facteur de comportement de la structure, contreventement fortifié $B = \frac{1}{4}$

Q: facteur de qualité $Q = 1 + \sum P_g \rightarrow Q = 1,4$

$$\text{d'où } V = 0,15 \times 1,158 \times \frac{1}{4} \times 1,4 \times 91,94 = 5,589 \text{ t.}$$

Distribution des forces latérales. La force latérale totale V doit être distribuée sur la hauteur selon :

$$V = F_t + \sum F_i ; \quad T > 0,75 \rightarrow F_t = 0,07 \cdot T \cdot V.$$

$$F_t = 0,07 \times 1,49 \times 5,589 = 0,5829 \text{ t.} \quad F_t = 0,5829 < 0,45 V.$$

La partie restante de l'effort horizontal total V doit être distribuée suivant :

$$F_k = \frac{(V - F_t) w_k h_k}{\sum_{i=1}^n w_i h_i} \quad \text{avec } F_k : \text{effort horizontal au niveau } k.$$

$h_i = h_k$	$w_i = w_k$	$w_i h_i$	$F_k(t)$	$E_{jx}(t)$
24,5	13	318,5	1,522	1,522
21,5	25,44	546,96	1,613	3,135
18	15	270	0,796	3,931
14,5	15	217,5	0,641	5,058
11	15	165	0,486	5,389
7,5	15	112,5	0,337	5,389
4	16,55	66,2	0,195	5,584

$$\sum w_i h_i = 1696,66$$

Étude du vent

1. Généralités

Le vent est assimilé à des forces statiquement appliquées à la construction. Ces forces dépendent de la région, du site, de l'altitude, des dimensions, de la majoration dynamique, du coefficient de traînée et de l'effet de masque.

En effet, le vent correspond à un phénomène vibratoire qui met en mouvement la structure resistante caractérisée par sa période propre fondamentale.

L'introduction de coefficient de majoration dynamique permet de substituer à tous ces phénomènes. La direction d'ensemble moyenne du vent est supposée horizontale, dans les calculs, on devra envisager une pression dynamique normale et extrême du vent. Le rapport $\frac{P_e}{P_a} = 1,75$. Ces actions seront déterminées par la relation donnée par D.T.U NV 65

2. Pression dynamique.

Elle est donnée par la formule : $q = q_H \cdot K_s \cdot K_m \cdot \delta$

q_H pression de base au niveau H ; $q_H = q_{10} \times 2,5 \times \frac{H+18}{H+60}$ pour $0 \leq H \leq 500$ avec H : hauteur de la construction considérée

q_{10} : la pression de base mesurée à 10m du sol ; $q_{10} = 70 \text{ kg/m}^2$

coefficient δ : il tient compte de l'effet de dimensions.

Il est fonction de la hauteur de la construction et de niveau pris en considération. $\delta = 0,8$; $H \leq 30 \text{ m}$ d'après (NV.65 fig R III 2)

- effet de masque K_m :

On supposera que notre ouvrage n'est pas abrité par une construction susceptible de lui fournir un effet de masque ; $K_m = 1$

- effet de site K_s : région I site exposé $\rightarrow K_s = 1,3$

Tableau de pression dynamique :

$H(\text{m})$	$q_H (\text{kg/m}^2)$	K_s	K_m	δ	$q_n (\text{kg/m}^2)$	$q_e (\text{kg/m}^2)$
0	52,5	1,3	1	0,7	47,775	83,6
10	70	1,3	1	0,7	63,7	114,495
20	83,125	1,3	1	0,7	75,643	138,376
24,5	88,017	1,3	1	0,7	88,096	140,158

II Action d'ensemble

L'action d'ensemble du vent soufflant dans une direction donnée sur une construction se ramène à la résultante R de trois forces :

- a) La traînée T : suivant la direction horizontale du vent, elle produit un effet d'entraînement et de renversement.
- b) La derive L : suivant la direction perpendiculaire à celle du vent dans le plan horizontal.
- c) La portance U : suivant une direction ascendante verticale, elle produit un effet de soulèvement et éventuellement de renversement

1- La traînée T :

$$T = C_t \cdot \beta \cdot g \cdot a$$

- coefficient de traînée C_t : $C_t = f_0 \cdot C_{t0}$

C_{t0} : coefficient global de traînée : $C_{t0} = 0,85$ d'après (NV 65 III 2,161 commentaire tableau VII).

f_0 : coefficient lié sur l'échelle de la figure R III 10 en fonction du rapport de dimension λ . catégorie II,

$$\left. \begin{array}{l} S_t = 56,4 \\ h = 24,75 \end{array} \right\} \rightarrow \lambda = \frac{h^2}{S_t} = 5,312 \rightarrow f_0 = 1,24 \rightarrow C_t = f_0 \cdot C_{t0} = 1,054$$

Coeff dynamique β .

Le vent peut engendrer des effets dynamiques qui dépendent des caractéristiques aérodynamiques et mécaniques de la construction avec en tout premier lieu la période fondamentale d'oscillation de la structure dans la direction étudiée.

Les oscillations parallèles à la direction du vent se produisent sous l'action de rafales, il existe une interaction dynamique entre les forces engendrées par les accélérations et décélération irrégulières répétées et variable en durée, il en résulte une aggravation des déformations et par suite des (déformations) oscillations et de leurs effets dont tient compte le coefficient β par lequel il convient de majorer les actions statiques et toutefois ce coefficient est supérieur à 1

$$\beta = (1 + \frac{1}{2} \zeta^2) \theta.$$

coefficient de réponse, il est donné en fonction de la période de mode fondamentale (NV 65 . R III . 3)

$$\zeta = 1,49 \text{ et } \theta = 0,85$$

ζ , est le coefficient de pulsation, il est déterminé à chaque niveau considéré en fonction de la côte H au dessus du sol par l'échelle de la fig R III . 4

. θ coefficient global dépend du type de construction

$$\theta = 0,7 \text{ pour } H \leq 30 \text{ m}$$

H	C	θ	ξ	$1 + C\xi$	β
0	0,36	0,7	0,85	1,306	0,914
10	0,36	0,7	0,85	1,306	0,914
20	0,345	0,7	0,85	1,293	0,905
24,5	0,34	0,7	0,85	1,289	0,902

On remarque que β est inférieur à 1 donc on ne le tient pas en compte.

Autre couple : c'est la projection orthogonale de la surface considérée ou de la construction sur le plan normale à la direction du vent.

$a = 3,20 \text{ m} ; T = C_t \cdot a \cdot q = 1,054 \times 3,20 \times q = 3,3728 \text{ q}$.
Les valeurs de T sont données par un tableau.

H	$q_n (\text{kg/m}^2)$	$q_e (\text{kg/m}^2)$	$T_{in} (\text{kg})$	$T_{re} (\text{kg})$
0	47,775	83,6	161,135	281,966
10	63,7	111,475	214,847	375,983
20	75,643	132,376	255,188	446,478
24,5	80,096	140,168	270,148	472,958

La derive : L

Pour la prise en compte de l'action des tourbillons de KARMAN, on admet que la construction est soumise à une force statique (dite force de derive) dont l'expression est donnée à chaque niveau par :

$$L = \delta \cdot C_L \cdot \beta' \cdot q_{cr} \cdot d \cdot \frac{H}{h}$$

δ : coefficient tenant compte des dimensions

C_L : coefficient de derive pris égale à 0,2

β' : coeff. de majoration dynamique tenant compte de l'amortissement

q_{cr} : pression dynamique critique correspond à la vitesse de résonnance

d : largeur du maître corps

h : hauteur de la construction

H : côté de niveau considéré, compté à partir du sol.

- La théorie de KARMAN montre que la période des tourbillons est donnée par :

$$T = \frac{d}{S \cdot V} \quad \text{avec} \quad S = \text{nombre de strophes} \Rightarrow S = 0,2$$

$V = \text{Vitesse du fluide}$

La résonnance est obtenue lorsque $T_K = T$

T : période de vibration propre de la construction $T_K = \frac{d}{\omega}$

L'augmentation de la vitesse du vent diminue la possibilité de mise en résonnance, on a donc admis arbitrairement qu'à partir d'une vitesse 25 m/s il est inutile de faire un calcul de résonnance.

$$d = 3,20 \text{ m} ; \quad T = 1,49 \quad \rightarrow \quad T_K = \frac{3,20}{30,2 \times 1,49} = 10,73 < 25 \text{ m/s} .$$

$$\rightarrow q_{cr} = \frac{V_{cr}^2}{16,3} = \frac{10,73^2}{16,3} = 7,063 \text{ kg/m}^2$$

$$- L = \delta \cdot C_L \cdot \beta' \cdot q_{cr} \cdot d \cdot \frac{H}{h}$$

$$= 0,8 \cdot 0,2 \cdot 10,73^2 \cdot 3,20 \cdot 1,096 q_H \frac{H}{24,1} = 0,24 H q_H .$$

- 2/ Action parallèle à l'action du Vent.

$$\text{La force de trainée } T_F = S \cdot c_F \cdot \beta \cdot q_{cr} \cdot d$$

$$= 0,8 \cdot 1,054 \cdot \beta \cdot 1,096 q_H \cdot 3,2 = 2,95 \beta q_H$$

- La portance U :

$U = C_u \cdot \delta \cdot q_{Hs} \cdot S_{uu}$ avec S_{uu} = surface de la terrasse = 8,035 m²

$$= 1,2 \cdot 0,8 \cdot 8,035 q_{Hs} \quad q_{Hs} = \text{pression dynamique à la côte } H_s .$$

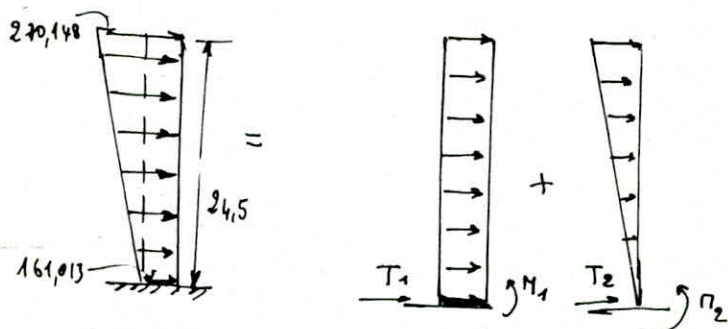
$$= 7,71 q_H = 188,98 \text{ kg.}$$

Sollicitation.

La traînée est la forme la plus importante pour aléger les calculs
on a supposé que la force de traînée est linéaire,

Pour la détermination des effets (M, T) on assimilera notre ouvrage comme une
console soumise à une charge trapézoïdale. La décomposition sur fig

Calcul de M et T à la base du minaret.



$$T_1 = 24,5 \times 161,013 = 6,61 \text{ t} \quad 3,947 \text{ t}$$

$$T_2 = 109,013 \times 24,5 \times \frac{1}{2} = 1,335 \text{ t}$$

$$T_{vn} = 5,28 \text{ t} ; \quad T_{vc} = 1,75 \times 5,28 = 9,24 \text{ t}$$

$$M_1 = 161,013 \times \frac{(24,5)^2}{2} = 48,36 \text{ t.m}$$

$$M_2 = 109,013 \times \frac{24,5}{2} \times \frac{2}{3} \times 24,5 = 21,81 \text{ t.m}$$

$$M_{vn} = 70,17 \text{ t.m} ; \quad M_{vc} = 122,8 \text{ t.m.}$$

On constate que le vent extrême surtout le moment est inférieur aux effets du séisme.

Determination du centre de masse et du torsion

- centre de masse :

$$x_G = \frac{\sum_{i=1}^n S_i x_i}{\sum_{i=1}^n S_i}$$

$$y_G = \frac{\sum_{i=1}^n S_i y_i}{\sum_{i=1}^n S_i}$$

Niveau	7, 6, 5, 4, 3, 2, 1
x_G (m)	1,6 m
y_G (m)	1,6 m

- Centre de Torsion

$$x_{cj} = \frac{\sum_{i=1}^n R_{ji}^t x_i^t}{R_{jx}^t}$$

$$y_{cj} = \frac{\sum_{i=1}^n R_{ji}^t y_i^t}{R_{jx}^t}$$

$$\epsilon_x = |x_G - x_{cj}| = 0$$

$$\epsilon_y = |y_G - y_{cj}| = 0$$

Niv	7	6	5	4	3	2	1
R_{jx}	4643,38	5893,43	5893,43	5893,43	5893,43	5893,43	5893,43
R_{jy}	6443,38	5843,43	5893,43	5893,43	5833,43	5893,43	3847,63
$x_{cj} = y_{cj}$	1,6	1,6	1,6	1,6	1,6	1,6	1,6

Calcul de la rigidité de Torsion.

La rigidité de Torsion à l'étage "j" est donnée par

$$R_{j\theta} = \sum_{i=1}^n R_{ji}^{(t)} [x_i^{(t)}]^2 + \sum_{i=1}^n R_{jx}^{(t)} [x_j^{(t)}]^2$$

x_j, y_j sont les coordonnées des portiques / (C x T)

Niv	7	6	5	4	3	2	1
$R_{j\theta}$	462551,60	603488,00	601489,10	603488,00	603488,00	603488,00	333797,72

Determination de l'effort tranchant du niveau (T_{ij}) renviant à chaque portique

portiques transversaux

$$T_{ij} = \epsilon_{jy} \frac{R_{jy}}{R_{jx}} + \epsilon_{jy} \frac{R_{jy} x_j}{R_{j\theta}} \epsilon_x + \epsilon_{jx} \frac{R_{jx}}{R_{j\theta}} \epsilon_{jy} x_j$$

portiques longitudinaux

$$T_{jx} = \epsilon_{jx} \frac{R_{jx}}{R_{jz}} + \epsilon_{jx} \frac{R_{jx} y_j}{R_{j\theta}} + \epsilon_{jy} \frac{R_{jy}}{R_{j\theta}} y_{jx}$$

calcul du déplacement relatif (δ_j) : le déplacement relatif (δ_j) d'un étage est donné par $\delta_j = \frac{T_j}{R_j}$

NIV	\bar{t}_{jx}	\bar{g}_{jy}	\bar{t}_{jy}	\bar{g}_{jx}	t_{jx}	R_{jy}	x_j	\bar{t}_{yy}	R_{jj}	\bar{t}_{jz}	\bar{g}_{jz}	$T_{ij} = \sum T_i$	$\delta = \frac{T_i}{R_j}$
7												0,761	0,1
6												0,761	0,1
5												1,567	0,265
4												1,567	0,265
3												1,965	0,333
2												1,965	0,333
1	5,584	5,389	5,058	4,572	3,931	3,135	1,522					2,286	0,387
	7,695,26	11,786,876	11,786,876	11,786,876	11,786,876	11,786,876	16,846,76					2,286	0,387
	5,584	5,389	5,058	4,572	3,931	3,135	1,522					2,529	0,429
	3,939,9727	6,034,8,804	6,034,8,804	6,034,8,804	6,034,8,804	6,034,8,804	6,034,8,804					2,529	0,429
												2,694	0,457
												2,694	0,457
												2,792	0,725
												2,792	0,725

- Effort tranchant revenant à chaque poteau.

NIV	D _j	T _j	potence	1	2
			a _j k _p	89,51	89,51
7	179	0,1	t _j	0,05	0,05
			a _j k _p	78,67	78,67
6	157,35	0,265	t _j	0,132	0,132
			a _j k _p	78,67	78,67
5	157,35	0,333	t _j	0,165	0,165
			a _j k _p	78,67	78,67
4	157,35	0,387	t _j	0,193	0,193
			a _j k _p	78,67	78,67
3	157,35	0,429	t _j	0,214	0,214
			a _j k _p	78,67	78,67
2	157,35	0,457	t _j	0,228	0,228
			a _j k _p	78,67	78,67
1	133,13	0,725	t _j	0,362	0,362
			a _j k _p	66,568	66,568

$$t_j^{(i)} = \frac{a_j^{(i)} k_j^{(i)}}{D_j} \cdot T_j$$

- Calcul des moments dans les poteaux.

NN	Pot	t _j (K)	K	y ₀	y ₁	y ₂	y ₃	y=Σy _i	z=y ₄	M _{inf}	M _{sup}
7	1	0,05	9,42	0,45	0	0	0	0,45	1,35	0,0875	0,0825
	2	0,05	9,42	0,45	0	0	0	0,45	1,35	0,645	0,0825
6	1	0,132	11	0,45	0	0	0	0,45	1,575	0,248	0,2154
	2	0,132	11	0,45	0	0	0	0,45	1,575	0,248	0,1854
5	1	0,165	11	0,5	0	0	0	0,15	1,75	0,288	0,288
	2	0,165	11	0,5	0	0	0	0,15	1,75	0,288	0,288
4	1	0,193	11	0,5	0	0	0	0,15	1,75	0,337	0,337
	2	0,193	11	0,5	0	0	0	0,15	1,75	0,337	0,337
3	1	0,214	11	0,5	0	0	0	0,5	1,75	0,374	0,374
	2	0,214	11	0,5	0	0	0	0,5	1,75	0,374	0,374
2	1	0,228	11	0,5	0	0	0	0,15	1,75	0,4	0,4
	2	0,228	11	0,5	0	0	0	0,15	1,75	0,4	0,4
1	1	0,362	6,928	0,55	0	0	0	0,55	2,2	0,8	0,65
	2	0,362	6,928	0,55	0	0	0	0,55	2,2	0,8	0,65

- Calcul des moments dans les poutres.

NIV	Noe	M_a	M_b	M_1	M_2
7	1	0	0,0825	0	0,0825
	2	0	0,0825	0,0825	0
6	3	0,0625	0,254	0	0,911
	4	0,0625	0,254	0,911	0
5	5	0,208	0,288	0	0,496
	6	0,208	0,288	0,496	0
4	7	0,288	0,337	0	0,674
	8	0,288	0,337	0,674	0
3	9	0,337	0,374	0	0,711
	10	0,337	0,374	0,711	0
2	11	0,374	0,4	0	0,774
	12	0,374	0,4	0,774	0
1	13	0,4	0,65	0	1,05
	14	0,4	0,65	1,05	0

Tableau récapitulatif - Poutre sous SI

NIV	poutre	M_w	M_e	M_t	T_T
7	1-2	0,0825	0,0825	0	0,15
6	1-2	0,911	0,911	0	1,65
5	1-2	0,496	0,496	0	0,9
4	1-2	0,674	0,674	0	1,22
3	1-2	0,711	0,711	0	1,29
2	1-2	0,774	0,774	0	1,41
1	1-2	1,05	1,05	0	1,91

Poteaux sous SI

NIV	Pot	M _{sup}	M _{inf}	T	N	Neu
7	1	0,0825	0,0625	0,05	-0,15	-0,15
	2	0,0825	0,0625	0,05	-0,15	-0,15
6	1	0,254	0,208	0,132	-1,65	-1,8
	2	0,254	0,208	0,132	-1,65	-1,8
5	1	0,288	0,288	0,165	-0,9	-2,7
	2	0,288	0,288	0,165	-0,9	-2,7
4	1	0,337	0,337	0,193	-1,22	-3,92
	2	0,337	0,337	0,193	-1,22	-3,92
3	1	0,374	0,374	0,214	-1,29	-5,21
	2	0,374	0,374	0,214	-1,29	-5,21
2	1	0,4	0,4	0,228	-1,41	-6,62
	2	0,4	0,4	0,228	-1,41	-6,62
1	1	0,65	0,8	0,362	-1,91	-8,53
	2	0,65	0,8	0,362	-1,91	-8,53

Déformations horizontales: Le calcul des déplacements horizontaux relève de souci d'éviter la propagation du désordre dans les éléments de remplissage, ainsi que l'aggravation des contraintes dans le système de contreventement du fait que les pièces en béton armé sont suffisamment rigides et que seulement une partie d'énergie c'est dissipée sous forme d'énergie élastique. Le déplacement est calculé à partir des forces latérales spécifiées dont elle multiplié par $(\frac{1}{2B})$ (RPA 81) $\delta_j = \frac{\epsilon_j}{R_j} \frac{1}{2B}$; ϵ_j effort tranchant à j

Le déplacement relatif d'un étage par rapport

aux étages qui lui sont adjacents ne

dorment pas dépasser 0,0075 fois la hauteur d'étage

$$\beta_j : rigidité relatif d'étage j$$

β : facteur de comportement

(RPA 81 Art 2.3.7-1)

NIV	ϵ_{jx}	t	R_{jx} (kN)	δ_{jx} cm	$\bar{\delta}_{jx}$ cm
7	1,522	16846,76	0,18	2,25	
6	3,135	11786,87	0,53	2,62	
5	3,939	11786,87	0,66	2,62	
4	4,572	11786,87	0,77	2,62	
3	5,058	11786,87	0,86	2,62	
2	5,389	11786,87	0,91	2,62	
1	5,584	7695,26	1,45	3,00	

Vérification au renversement.

Chaque structure doit être calculée afin de résister aux efforts de renversement qui peuvent être causés par les effets sismiques

Moment de renversement = moment extérieur en console (ROC) + effet tranchant $\times z$ (base)

$$\text{Moment en console} = \sum_{i=1}^7 F_i x_i$$

$$= F_1 x_1 + F_2 x_2 + F_3 x_3 + F_4 x_4 + F_5 x_5 + F_6 x_6 + F_7 x_7 \\ = 1,522 \times 24,5 + 1,613 \times 21,5 + 0,796 \times 18 + 0,641 \times 14,5 \\ + 0,486 \times 11 + 0,331 \times 7,5 + 0,195 \times 4 = 104,2 \text{ T}$$

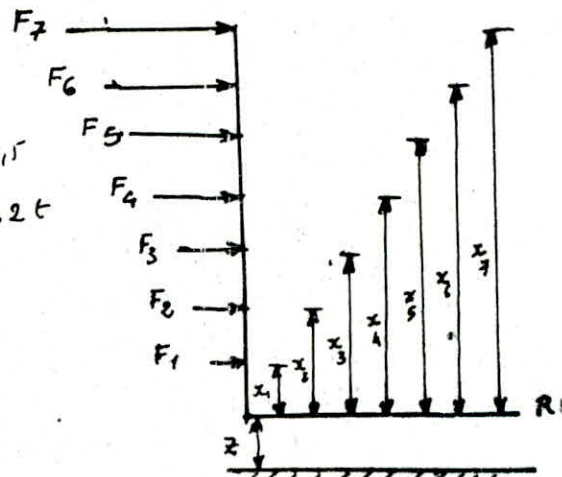
$$\text{Effet tranchant à la base } H = 5,584 \text{ T}$$

$$\text{Moment en console} = \sum F_i x_i = 104,2 \text{ T}$$

$$\text{Effet tranchant à la base } H = 5,584 \text{ T}$$

$$\text{Moment résistant } 1,6 \times 114,99 = 184 \text{ T}$$

$$\rightarrow \frac{\text{Moment résistant}}{\text{moment au renversement}} = \frac{184}{8,376 + 104,2} = 1,63 > 1,5 \quad \text{Vérifié}$$



Forçage des poteaux.

Les poteaux sont calculés en flexion composite. Cependant que

Les poutres sont calculés en flexion simple.

G et P sont négligeables, on fait les calculs sous l'effet du séisme.

Les résultats sont donnés ci-dessous.

Poutre 1 (25 x 30)

Section	travée	Appui
M	0,96	1,26
μ	0,0282	0,37
E	53,5	45,8
K	0,9270	0,9171
α	0,2190	0,2467
$A(\text{cm}^2)$	1,37	1,81
$A(\text{adopté})$	4 T14	4 T14

Poteau 1 (25 x 25)

M	0,96
N	8,53
e ₀	11,25
e	4,16
σ'_b	137
$A(\text{cm}^2)$	3,27
$A(\text{adopté})$	4 T14

Ferrailage du balcon

Largeur = 70cm, épaisseur = 10cm, il est soumis à son poids propre.

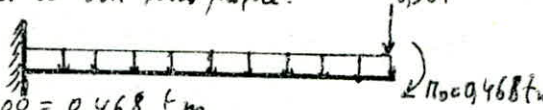
$$2,5 \times 0,1 = 0,25 \text{ t/m}^2$$

$$\text{Portée } 1 \times 2,5 \times 0,12 = 0,3 \text{ t} \rightarrow P = 0,36 \text{ t}$$

$$\text{Mécan courante : } 100 \text{ kg/ml} \rightarrow M_0 = 1,2 \times 0,39 \times 1 \times 100 = 0,468 \text{ t.m}$$

$$\text{charge d'exploitation : } 250 \text{ kg/m}^2; q = G + 1,2P = 1^m (0,25 + 1,2 \times 0,08) = 0,55 \text{ t/m}^2$$

$$\text{pour l'incastrément. } M = (-M_0 + ql + \frac{q l^2}{2}) = 0,854 \text{ t.m}$$

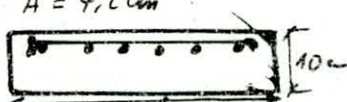


Ferrailage :

$$b = 100\text{cm}, h_t = 10\text{cm}, d = 2\text{cm} \quad h = 8\text{cm}$$

$$M = \frac{n M}{\bar{\sigma}_a b h^2} = \frac{15 \times 0,854}{2800 \times 100 \times 8^2} = 0,0714 \rightarrow \varepsilon = 0,8906 \rightarrow K = 30,7, \bar{\omega} = 0,555$$

$$\sigma'_b = \frac{\bar{\sigma}_a}{k} = \frac{2800}{30,7} = 91,90 < \bar{\sigma}'_b = 137 \text{ kg/cm}^2 \rightarrow A = 4,8 \text{ cm}^2$$



On choisit $6T10 = 4,71 \text{ cm}^2$ espacé de 16cm.

From b , armature de répartition $\frac{1}{4}$ jusqu'à $\frac{1}{2}$ des armatures principales $b=100\text{cm}$

$$\text{Soit } 4T_8 = 2,01 \text{ cm}^2$$

$$1 - \text{Vérification à l'effort tranchant. } \bar{\tau}_b = 1,15 \bar{\sigma}_b = 1,15 \times 59 = 6,785 \text{ kg/cm}^2$$

$$T = ql + p = 0,745 \text{ t}; \quad \bar{\tau}_b = \frac{T}{b h} = 1,06 \text{ kg/cm}^2 < \bar{\tau}_b \text{ Vérifié}$$

2 - Vérification des contraintes :

$$M = 0,854 \text{ t.m} \quad \bar{\omega} = 100 \times \frac{A}{b \cdot h} = 100 \cdot \frac{4,71}{100 \times 8} = 0,558 \quad K = 29, \varepsilon = 0,8864$$

$$\bar{\sigma}_a = \frac{M}{A \cdot \varepsilon h} = 2559,6 < 2800 \text{ kg/cm}^2$$

$$\sigma'_b = \frac{\sigma_a}{k} = \frac{2559,6}{29} = 88,9 \text{ kg/cm}^2 < \bar{\sigma}'_b = 137$$

Vérification à la non fissuration

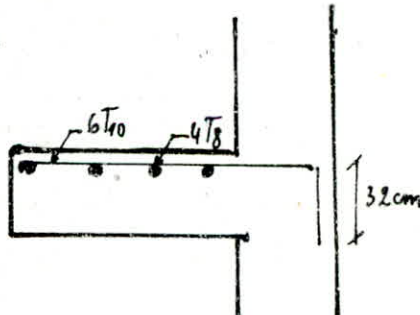
$$w_f = \frac{A}{\theta_f} = \frac{4,71}{2 \cdot 2 \cdot 100} = 0,0117 \quad K = 1,5 \times 10^6 \quad n = 7,6$$

$$\sigma_1 = \frac{k_n}{\phi} \frac{w_f}{1+10 w_p} = 1713 \text{ kg/cm}^2$$

$$\sigma_2 = 2,4 \sqrt{\frac{k_n \bar{\sigma}_b}{\phi}} = 2855,9 \text{ kg/cm}^2 > 2800 \text{ kg/cm}^2 \text{ Vérifié}$$

$$l_d = \frac{\phi}{4} \frac{\bar{\sigma}_a}{\bar{\tau}_b} \quad \bar{\tau}_d = 2,5 \gamma_s \cdot \bar{\sigma}_j = 22,925 \text{ kg/cm}^2$$

$$l_s = \frac{10}{4} \cdot \frac{2800}{22,925} = 31,63 \rightarrow \text{sat } l_d = 32 \text{ cm}$$



Escalier à noyau central.

L'escalier proposé par l'architecte est un escalier à noyau central on respecte cette solution et on considère que l'escalier est coulé sur place.
 - Etude des marches: Elles seront calculées en console venant prendre appui sur le noyau central coulé en place M.P. Charron dans son livre le calcul et la vérification des ouvrages en béton armé, il a proposé d'assimiler la marche trapézoïdale à une marche rectangulaire et la charge d'exploitation correspond aux poids de deux personnes est égal à 150 Kg/ml. On considère une marche de 1m de longueur, elle commence par 20cm à partir du noyau et elle se termine par 80cm à l'extrémité et d'épaisseur 10cm.

Evaluation de charges:

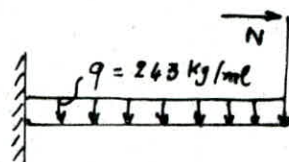
$$G = 0,1 \times 2500 \cdot \frac{(20+30) \cdot 10^2}{2} = 63 \text{ Kg/ml}$$

$$q = G + 1,2P = 63 + 1,2 \times 150 = 243 \text{ Kg/ml}$$

$$N = 100 \text{ Kg/main courante}$$

$$M = 100 \cdot 1 + \frac{243 \cdot 1^2}{2} = 221,5 \text{ Kg.m}$$

$$M = 221,5 \text{ Kg.m}$$



$$\text{d'où } A = \frac{M}{3 \cdot \bar{\sigma}_a} = \frac{221,5 \cdot 10^2}{3 \cdot \frac{7}{8} \cdot 8 \cdot 2800} = 1,13 \text{ cm}^2$$

$$\text{soit } 3T_B = 1,5 \text{ cm}^2$$

L'effort tranchant T: $T = 243 \text{ Kg}$

en ce qui concerne l'adhérence

$$\bar{\tau}_d = \frac{T}{p.h} < \bar{\tau}_d = 2 \psi_d \bar{\sigma}_b$$

P: proximité des barres. $p = 3(2\pi - 0,4) = 7,54 \text{ cm}$

$$\text{d'où } \bar{\tau}_d = \frac{243}{7,54 \cdot \frac{7}{8} \cdot 8} = 4,6 \text{ Kg/cm}^2 \text{ et } 2 \psi_d \bar{\sigma}_b = 2 \times 1,5 \times 5,9 = 17,7 \text{ Kg/cm}^2$$

On trouve $\bar{\tau}_d < \bar{\tau}_d$ vérifié

On prend comme armature de répartition 5φ6/ml

Le calcul de noyau a été précisé par NICOLSKI, le moment de flexion dans le noyau est sinusoidal le long de sa hauteur

$$M = \frac{9a^3}{3} \left(1 - \cos \frac{\pi x}{h} \right)$$

$$\text{avec un maximum } x = (2n+1) \frac{h}{2}$$

$$\text{d'où } M_{\text{max}} = \frac{2}{3} q a^3$$

q : étant la charge par m^2 de projection horizontale, (poids propre et surcharge),
 a : étant la distance du centre de noyau à l'extrémité de marche,
 Le calcul ci-dessous admet que les extrémités du noyau sont simplement appuyées, s'il y a encaissement, le maximum du moment est plus faible.

On constate de l'équation précédente que le moment est indépendant de la hauteur du noyau.

$$\alpha =$$

$$G = 9,1 \times 2500 = 250 \text{ kg/m}^2$$

$$P = 250 \text{ kg/m}^2$$

$$\text{d'où } q = G + 1,2P = 250 + 1,2 \times 250 = 550 \text{ kg/m}^2$$

$$M = \frac{550 \times 1,75}{3}^3 \cdot 2 = 557,6 \text{ kg.m}$$

$$K_a = \frac{M}{\sigma_a^2} = 5,9 \cdot 10^{-3}; \text{ aude mémoire B.A. page 104}$$

$$K_e = \frac{N_r}{M} = 0$$

$$A = \frac{\bar{w} \pi r_e^2}{100} \rightarrow K = 51,26, \bar{w} = 0,27$$

$$\sigma'_b = \frac{\bar{\sigma}_a}{k} = \frac{2850}{51,26} = 54 \text{ kg/cm}^2 < \sigma'_b = 137 \text{ kg/cm}^2$$

$$A = \frac{0,27 \pi (15)^2}{100} = 1,91 \text{ cm}^2$$

On constate que la section d'armature est très faible et comme le RPA 81 Version 83 précise que les armatures utilisées dans les poteaux doivent être espacées au max de 25 cm et le diamètre doit être au moins égal 14 mm et comme le permètre du noyau est égal à $2\pi r = 94,2 \text{ cm}$ alors il faut utiliser $5T14 = 7,69 \text{ cm}^2$. espacé de 20 cm.

Vérification au flambement.

-Nous avons deux vérifications au flambement

1/ Noyau de 30cm de diamètre et de 4m de hauteur

$$\text{D'où } l_c = 0,7 l_0 \text{ et } \frac{l_c}{D} = \frac{0,7 \times 400}{30} = 9,33 < 12,5 \text{ Vérifié}$$

2/ Noyau de 30cm de diamètre et de 3,55 m de hauteur

$$0,7 \times \frac{350}{30} = 8,16 < 12,5$$

Le RPA 81 exige le pourcentage min de 1% et 5% comme armature max

-Nous avons $A = 7,96 \text{ cm}^2$; $S = 706,8 \text{ cm}^2$

$$\text{d'où } W = \frac{7,96 \times 100}{706,8} = 1,126 \text{ d'où } 1,126\% \text{ Vérifie le RPA}$$

La longueur minimale de recouvrement est $60\phi = l_r$

$$\text{d'où } l_r = 60 \times 1,4 = 84 \text{ cm}$$

Pour les armatures transversales:

$$\phi_t \geq 0,3 \phi_L \rightarrow \phi_t \geq 0,3 \times 14 = 4,2 \text{ mm}$$

On admet des $\phi_t 6$. Comme un cadre circulaire l'espacement entre deux nappes des armatures transversales est $t \leq 15\phi_L = 15 \times 1,4 = 21 \text{ cm}$ soit $t = 20 \text{ cm}$, soit $G + 1,2P = 36,1 t$

$$A' = 7,69 \text{ cm}^2$$

$$N' = \frac{1000 A' \bar{\sigma}'_{l_0}}{1,25 \phi_1 \phi_2 \phi_3} = 81 t > 36,5 t \text{ Vérifié}$$

Ferraillage des dalles

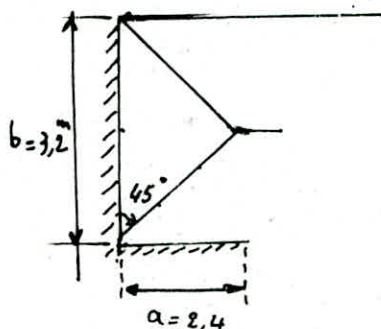
Pour tenir compte l'effet de l'ouverture de l'écalier on considère que la dalle est encastrée sur 3 cotés et de forme rectangulaire de cotés : $3,2 \times 2,4 \text{ m}$.

Le moment est donné par la théorie de fissuration

$$M = -m' = \frac{Pb^2}{192} (\sqrt{\alpha^2 + 12} - \alpha)^2$$

$$\alpha = \frac{b}{a} < 1,5$$

$$\alpha = \frac{3,2}{2,4} = 1,33$$



Evaluation des charges.

- charge permanente :

$$0,1 \times 2,5 = 0,25 \text{ t/m}^2$$

$$\text{enduit} : = 0,04 \text{ t/m}^2$$

$$\text{charge} = 0,1 \text{ t/m}^2$$

$$\text{d'où } G = 0,294 \text{ t/m}^2 ; P = 6 + 1,29 = 0,414 \text{ t/m}^2$$

$$\text{Soit: } P = 0,45 \text{ t/m}^2$$

$$\text{d'où } m = m' = 0,136 \text{ t.m}$$

La flèche est maximale au milieu du côté libre

$$f = 0,366 \cdot \frac{Pa^4}{Eh^3} = 0,366 \cdot \frac{0,45 \times (2,4)^4}{3,81 \times 10^6 \times (0,1)^3} = 1,43 \times 10^{-3} \text{ m}$$

$$f = 0,143 < \frac{\ell}{500} = \frac{320}{500} = 0,64$$

$$\text{Ferraillage: } u = \frac{15M}{\bar{\sigma}_a b h^2} = \frac{15 \times 0,136 \times 10^5}{2800 \times 100 \times 8^2} = 0,0113$$

$$\rightarrow \begin{cases} \epsilon = 0,9524 \\ K = 90 \end{cases} \rightarrow \bar{\omega} = 0,0794 \%$$

$$A = \frac{\bar{\omega} b h}{100} = \frac{0,0794 \times 100 \times 8}{100} \rightarrow A = 0,6352 \text{ cm}^2/\text{ml.}$$

l'espacement des armatures ne doit pas dépasser 3 fois l'épaisseur de dalle ni 33cm. On admet $5 \text{ T}/\text{ml} = 1,41 \text{ cm}^2$

$$\text{espace de } 20 \text{ cm} < \begin{cases} 3 \times 10 = 30 \text{ cm} \\ 30 \text{ cm} \quad \text{vérifié} \end{cases}$$

Effort branchant :

$$T = 0,6 \text{ t.}$$

$$\bar{\sigma}_b = \frac{0,6 \times 10^3}{100 \times \frac{7}{8} \times 8} = 0,85 \text{ kg/cm}^2 ; 1,15 \bar{\sigma}_b = 6,78 \text{ kg/cm}^2$$

conditions aux appuis :

$$A \bar{\sigma}_a \geq T + \frac{M}{z} ; T + \frac{M}{z} = 0,6 \times 10^3 - \frac{0,736 \times 10^5}{\frac{7}{8} \times 8} = < 0$$

Les armatures transversales ne sont pas nécessaires.

$$\text{Pour l'ancre : } \bar{\sigma}_a = \frac{T}{A} = \frac{0,6 \times 10^3}{1,41} = 425,53 \text{ kg/cm}^2$$

donc d'après le règlement, un prochet normal suffira, puisque ce crochet peut résister à son origine à une contrainte $\frac{\bar{\sigma}_a}{2} = 1400 \text{ kg/cm}^2 > 425,53$

Vérification de non fissuration.

$$\sigma_2 = 2,4 \sqrt{\frac{K_n \bar{\sigma}_b}{\phi}} = 3686,9 \text{ kg/cm}^2$$

$$\sigma_1 = \frac{K_n}{\phi} \cdot \frac{w_f}{1+10w_f} = 1886,6 \text{ kg/cm}^2$$

$$\text{d'où } \max(\sigma_1, \sigma_2) = \sigma_2 = 3686,9 \text{ kg/cm}^2 > \bar{\sigma}_a = 2800 \text{ kg/cm}^2$$

donc pas de risque de fissuration.

Vérification des contraintes.

$$\bar{w} = \frac{100 A}{bh} = \frac{100 \times 1,41}{100 \times 8} = 0,1762 \rightarrow \epsilon = 0,9320$$

$$k = 58,5$$

$$\text{d'où } \sigma_a = \frac{M}{ekA} = \frac{0,736 \times 10^5}{0,9320 \times 58,5 \times 1,41} = 1293,64 \text{ kg/cm}^2 < \bar{\sigma}_a$$

$$\sigma'_b = \frac{\sigma_a}{k} = \frac{1293,64}{58,5} = 22,11 \text{ kg/cm}^2 < \bar{\sigma}'_b = 137 \text{ kg/cm}^2$$

$$\begin{aligned} \text{- Vérification de non fragilité : } A &= 1,41 \geq 0,69 b h \frac{\bar{\sigma}_b}{\sigma_{cm}} \left(\frac{2-s}{s} \right) (\text{Art 19 CCBS 68}) \\ &\rightarrow 0,5 < 1,41 \text{ vérifié} \end{aligned}$$

Vérification des armatures : min (CCBS 68 et E2)

$$\frac{A_x}{bh} \geq \frac{44}{2} (2-s) \frac{\bar{\sigma}_b}{\sigma_a} \left(\frac{h_0}{h_x} \right)^2 ; \frac{141}{100 \times 8} = 1,762 \times 10^{-3}$$

$$\frac{44}{2} (2-s) \frac{\bar{\sigma}_b}{\sigma_a} \left(\frac{h_0}{h_x} \right)^2 = \frac{0,14}{2} (2-0,7) \frac{5,9}{2800} \left(\frac{10}{8} \right)^2 = 1,15 \times 10^{-3}$$

$$1,762 \times 10^{-3} > 1,15 \times 10^{-3} \text{ Vérifié}$$

FONDATION

Fondations

Les fondations sont constituées par les ouvrages de transition entre les éléments porteurs de l'ossature et le sol.

Dans notre bâtiment, toutes les fondations sont superficielles.

- Semelles isolées sous poteaux rectangulaires
- Semelles isolées sous poteaux circulaires.
- Semelle sous deux poteaux.

- * Semelles sous poteaux rectangulaires.

$$N = 17,133 \text{ t}$$

$$M = 2,825$$

$$a = 35 \text{ cm} ; b = 25 \text{ cm}$$

$$\sigma_s = 1,5 \text{ bars}$$

$$\bar{\sigma}_s \geq \left(\frac{N}{S} \pm \frac{Mv}{I} \right).$$

$$\text{on a: } \frac{A}{B} = \frac{a}{b} \rightarrow B = \frac{5}{7} A \rightarrow S = A \cdot B = \frac{5}{7} \cdot A^2 ; I = B \cdot \frac{A^3}{12} = \frac{5}{7} \cdot \frac{A^4}{12}$$

$$\rightarrow 1,5 \geq \frac{17133}{\frac{5}{7} A^2} + \frac{28250}{\frac{5}{7} A \cdot \frac{A^3}{3}} \rightarrow A = 150 \text{ cm} \\ B = 110 \text{ cm}$$

$$h \geq \frac{A-a}{4} \rightarrow h = 30 \text{ cm} \\ \frac{B-b}{4} \rightarrow h_t = 35 \text{ cm}$$

$$\sigma(A_{1/4}) = \frac{3\sigma_1 + \sigma_2}{4} \rightarrow \text{avec } \sigma_1 = \frac{N}{S} + \frac{Mv}{I} \quad \sigma_1 = 1,72 \\ \sigma_2 = \frac{N}{S} - \frac{Mv}{I} \quad \sigma_2 = 0,353$$

$$\sigma(A_{1/4}) = \frac{3 \times 1,72 + 0,353}{4} = 1,378 \text{ kg/cm}^2 \rightarrow Q = \sigma(A_{1/4}) \cdot A \cdot B$$

$$\text{donc } Q = 22,73 \text{ suivant } y$$

$$Q = 11,46 \text{ suivant } x.$$

$$A'_y = \frac{22,73 (150 - 35)}{8 \times 30 \times 2850} = 3,89 \text{ cm}^2 \rightarrow 5 T_{12}/mL = 5,65 \text{ cm}^2$$

$$A'_x = \frac{11,46 (110 - 25)}{8 \times 30 \times 2850} = 1,45 \text{ cm}^2 \rightarrow 3 T_{12}/mL$$

poteaux circulaires :

$$N = 25,35 t$$

$$M = 3,655$$

$$D^2 \geq \frac{4N}{\pi \delta_s} = \frac{4 \times 25,35 \times 10^3}{\pi \times 1,5} \rightarrow D \geq 146,48 \rightarrow D = 150 \text{ cm}$$

$$h \geq \left(\frac{D-d}{4} = \frac{150-35}{4} = 28,25 \right) \quad h = 30 \text{ cm} ; \quad h_t = 35 \text{ cm}$$

$$F_x = F_y = \frac{N(D-d)}{3\pi h} = \frac{25,35 \times 10^3 (150-35)}{3\pi \times 30} = 1031,05 \text{ kg}$$

$$A'_x = A'_y = \frac{F_x}{\delta_a} = \frac{10310,5}{2800} = 3,68 \text{ cm}^2$$

On prend : $6 T_{12}$ dans chaque sens.

$$A'_x = A'_y = \frac{F_x}{\delta_a}$$

* Serrage tous deux poteaux.

$$N_1 = 25,34 \quad M = 3,625$$

$$N_2 = 13,86 t$$

$$N = 39,20 \quad , \quad M = 3,625$$

$$\sigma_s \geq \frac{N}{S} + \frac{Mv}{I}$$

$$\sigma_s = \frac{N}{A^2} + \frac{M \cdot \frac{\pi/4}{A^4}}{\frac{12}{A^4}} = \frac{1}{A^2} \left[N + \frac{3M}{A} \right] = \frac{1}{A^2} \left[39200 + \frac{362500 \cdot 3}{A} \right]$$

$$\rightarrow A = 200 \quad \left. \begin{array}{l} \\ B = 200 \end{array} \right\} \text{carré.} \quad h \geq \frac{200-70}{4} = 32,5 \quad \left\{ \begin{array}{l} h = 40 \text{ cm} \\ h_t = 45 \text{ cm} \end{array} \right.$$

$$\sigma_1 = \frac{N}{S} + \frac{Mv}{I} ; \quad \sigma_2 = \frac{N}{S} - \frac{Mv}{I} \rightarrow \sigma_1 = 0,98 + 0,27 = 1,25 \\ \sigma_2 = 0,98 - 0,27 = 0,71 ;$$

$$\sigma(\frac{1}{4}) = 1,11 \rightarrow Q = 4,46$$

$$A = \frac{14,46 (200-70) \cdot 10^3}{8 \cdot 40 \cdot 280} = 2,87 \text{ cm}^2/\text{ml} \rightarrow 5 T_{12} \text{ cm}^2/\text{ml} \text{ dans les 2 sens.}$$

Noyau central.

- semelle isolé sous poteau (noyau central)

$$N = 19t.$$

$$D \geq \sqrt{\frac{4N}{\pi f_3}} = \sqrt{\frac{4 \times 19}{\pi \times 1,5}} = 127 \text{ cm} \quad \text{On prend } D = 130 \text{ cm}$$

$$h \geq \frac{D-d}{4} = \frac{130 - 30}{4} = 25 \text{ cm} \quad \text{on prend } h = 25 \text{ cm} \rightarrow h_t = 30 \text{ cm}$$

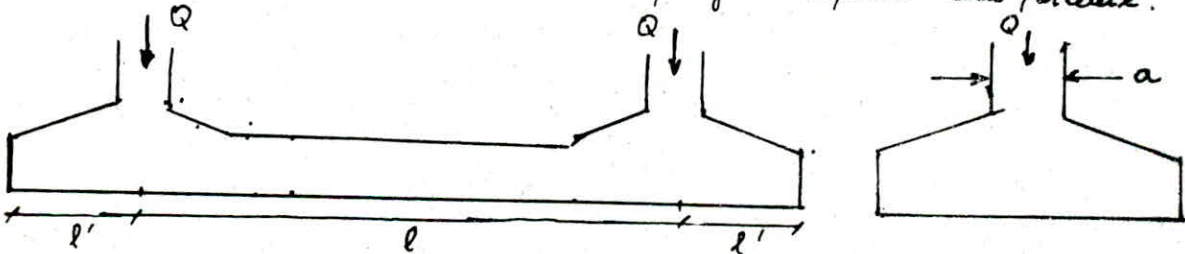
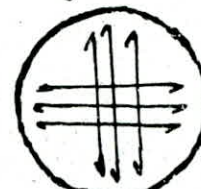
$$F_x = F_y = \frac{N(D-d)}{3\pi h} = \frac{19 \times 10^3 (130 - 30)}{3\pi \times 25} = 8,063 t$$

$$A_x = A_y = \frac{F_x}{f_a} = \frac{8,063 \times 10^3}{2800} \quad \text{d'où } A_x = A_y = 2,88 \text{ cm}^2/\text{ml}$$

On adopte 3 T12/ml

- Semelle sous deux poteaux (minaret)

Du fait que les poteaux du minaret dans une direction donnée sont proches les uns des autres, on confectionne une semelle continue tous cette file de poteaux. Notez que chaque file comporte deux poteaux.



l : distance entre axe des poteaux. ($h_t = \frac{l}{6} \text{ à } \frac{l}{3}$) $\rightarrow h_t = \frac{110}{6} \text{ à } \frac{110}{3}$

$$h_t = 18,33 \text{ cm à } 18,22 \text{ cm} \rightarrow h_t = 18 \text{ cm et } h = 16 \text{ cm}$$

a) Transversalement.

Elle agit comme une semelle rectangulaire sous poteau soit la semelle délimité A et L .

$$\text{On aura pour la longueur } l: \quad A'_x = \frac{Q(A-a)}{8h f_a} = \frac{15000 (110-25)}{8 \times 20 \times 2800} = 2,84 \text{ cm}^2$$

$$\text{Soit } 3 \text{ T12} = 3,39 \text{ cm}^2$$

b) Longitudinalement:

Elle agit comme une poutre renversée continue avec les poteaux comme appuis.

$$\text{moment en travei : } M_t = \frac{Q}{(P + Ql')} \left(\frac{l'^2}{4} - l'^2 \right) \text{ avec } l' = 0,25 \text{ m}$$

$$\frac{Q}{(110 + 2 \times 0,25)} \left(\frac{1,75^2}{4} - 0,25^2 \right) \rightarrow M_t = 2,25 \text{ t.m}$$

$$T_{AG} = \frac{20}{l+2l'} \times l' = 4,657 t ; T_{AD} = \frac{Q}{l+2l'} \cdot l = 10,312 t$$

$$\rightarrow M_a = \frac{Q}{(l+2l')} \cdot l'^2 = \frac{15}{(1,1 + 2 \times 0,95)} \times 0,25^2 = 0,585 \text{ t.m}$$

donc $M_a = 0,585 \text{ t.m.}$

Tourillage par la méthode de P. CHARRON.

$$\text{- en tracé: } \mu = \frac{15 M_e}{\bar{\sigma}_a b h^2} = \frac{15 \times 2,25 \times 10^5}{2800 \times 110 \times 16^2} = 0,0428 \rightarrow \begin{cases} k = 42 \\ \varepsilon = 0,9123 \end{cases}$$

$$\sigma'_b = \frac{\bar{\sigma}_a}{k} = 66,66 \text{ kg/cm}^2 < 137 \text{ kg/cm}^2 \rightarrow A' = 0$$

$$A = \frac{M}{\bar{\sigma}_a \varepsilon h} = \frac{\varepsilon, 25 \times 10^5}{2800 \times 0,9123 \times 16} = 5,5051 \text{ cm}^2 \text{ On adopte } 6 T_{12} = 6,78 \text{ cm}^2$$

$$t = 16 \text{ cm. et } A_t = 4 \phi_8 = 2,01 \text{ cm}^2$$

$$\text{- en appui: } \mu = \frac{15 M_a}{\bar{\sigma}_a b h^2} = \frac{15 \times 0,585 \times 10^5}{2800 \times 110 \times 16^2} = 0,0111 \rightarrow \begin{cases} k = 91 \\ \varepsilon = 0,9528 \end{cases}$$

$$\sigma'_b = \frac{\bar{\sigma}_a}{k} = 20,76 \text{ kg/cm}^2 < 138 \text{ kg/cm}^2 \rightarrow A' = 0$$

$$A = \frac{M}{\bar{\sigma}_a \varepsilon h} = \frac{0,585 \times 10^5}{2800 \times 0,9528 \times 16} = 0,8433 \text{ cm}^2 \rightarrow A = 3 T_{10}$$

Longrines.

Les fondations sont chaînées dans les deux directions avec des longrines suffisamment rigides, qui sont calculées pour résister à la traction sous l'action d'une force égale à $\frac{N}{10}$ pour un sol meuble (RPA Art 4.2.33) - dimension de la plus longue longrine $L = 3,90 \text{ m}$.
de forme (30×30) ; $q = 0,225 \text{ t/ml}$ charge due au poids propre de la longrine supposée encastrée à ses deux extrémités.

$$M_A = \frac{q \frac{l^2}{12}}{12} = 0,285 \text{ t.m} \quad ; \quad M_f = q \frac{l^2}{24} = 0,142 \text{ t.m}$$

$$N_{\max} = 32,4 \text{ t} \rightarrow \frac{N}{10} = 3,24 \text{ t.m.}$$

Terrailage :

- appui : $\frac{M}{N} = 200 > \frac{h_t}{6} = 5 \rightarrow$ Section partiellement comprimée

$$A_{fc} = A_{fs} - \frac{N}{\bar{\sigma}_a} \quad ; \quad A_{fs} = \frac{M_f}{E \cdot h \cdot \bar{\sigma}_a} \quad ; \quad M_f = N \cdot f \text{ avec } f = \frac{h_t}{2} - c_0 - d \\ \rightarrow f = 0,07 \text{ m}$$

$$M_f = 3,24 \cdot 0,07 = 0,22 \text{ t.m}$$

$$M = \frac{15 M_f}{\bar{\sigma}_a \cdot b \cdot h^2} = \frac{15 \cdot 0,227 \times 10^5}{2800 \times 30 \times 27^2} = 0,0055 \quad | \quad k = 132 \\ \epsilon = 0,965$$

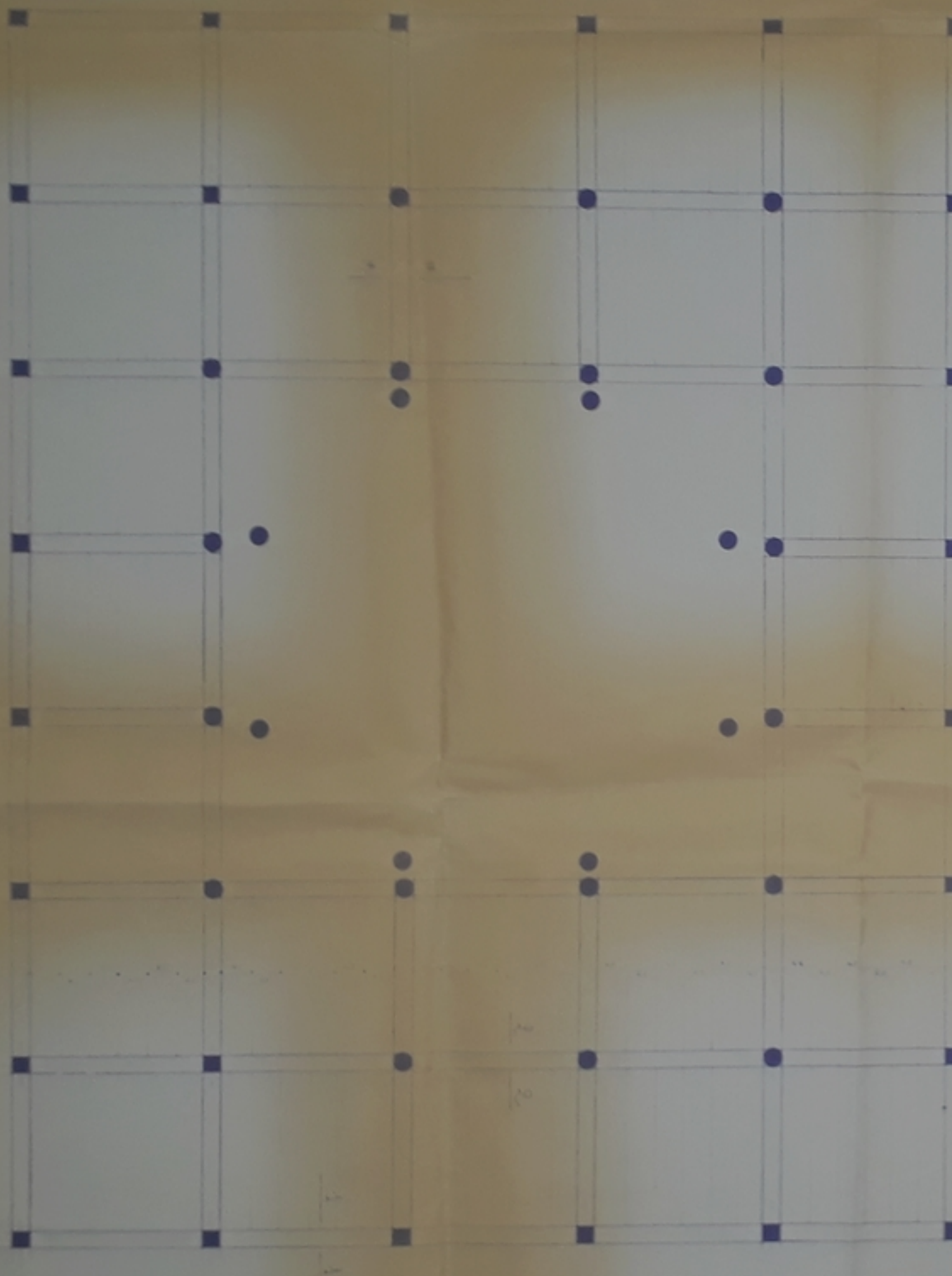
$$\sigma'_t < \bar{\sigma}'_t \rightarrow A' = 0.$$

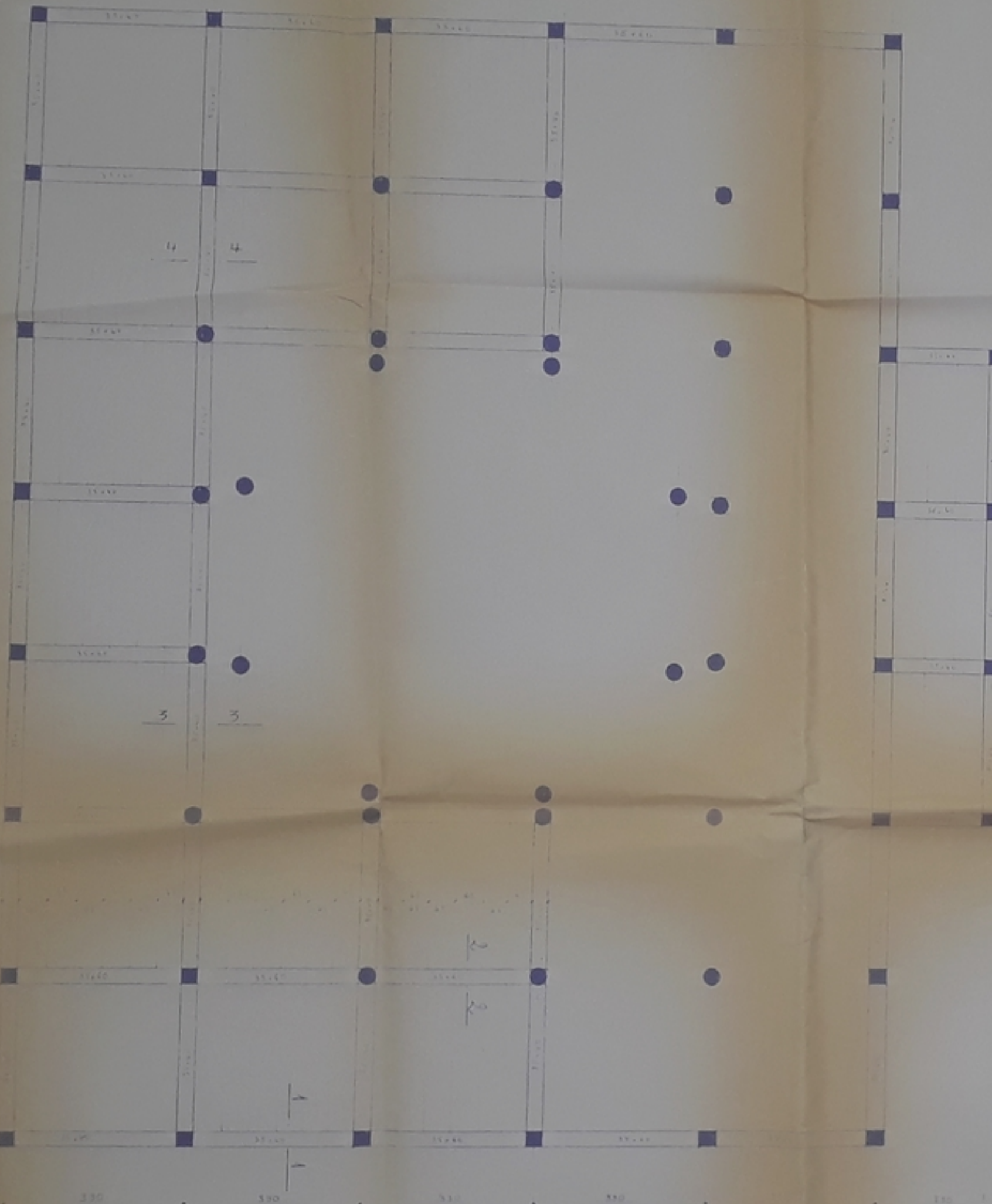
$$A_{fs} = \frac{M_f}{E \cdot h \cdot \bar{\sigma}_a} = \frac{0,227 \times 10^5}{0,966 \times 27 \times 2800} = 0,31 \text{ cm}^2 \quad ; \quad \frac{N}{\bar{\sigma}_a} = \frac{3240}{2800} = 1,157 \text{ cm}^2$$

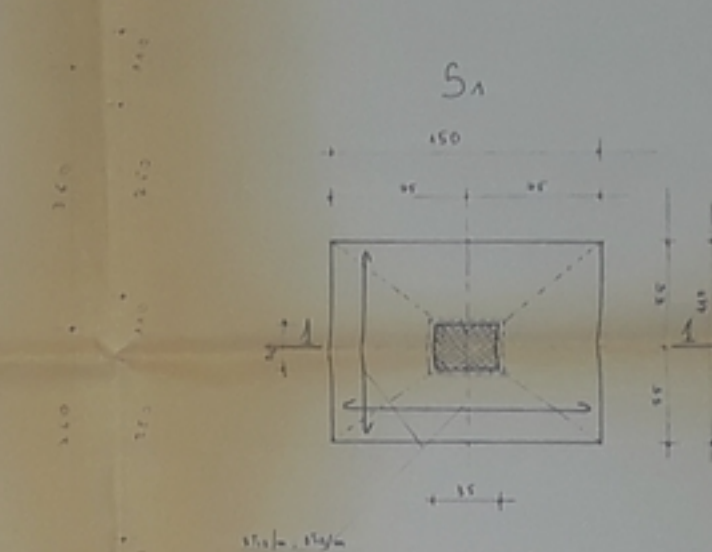
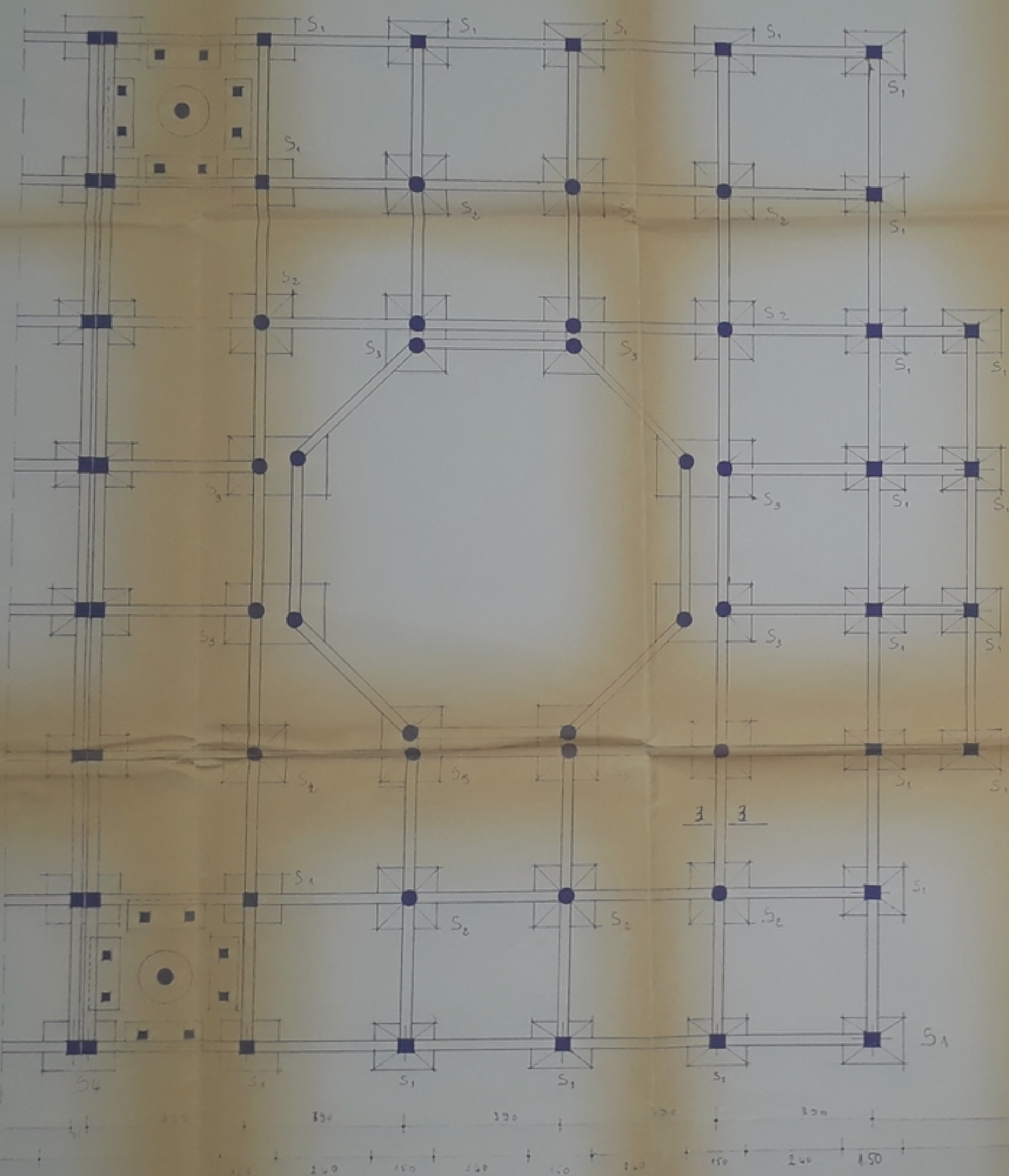
$$\rightarrow A_{fc} = 1,467 \text{ cm}^2 \quad \& \text{ Règlement RPA exige } 4T_{f2} = 4,52 \text{ cm}^2 \text{ pour } 20 \text{ cm.}$$

Bibliographie

- Voiles minces A. COIN
- Voiles minces J. COURBON
- le calcul et la vérification P. CHARON
des ouvrages en B.A.
- Traité de béton armé A. GUERRIN
tome III
- Règles R.P.A. 81
- Règles N.V. 65
- code mémoire B.A.
- Conceptions et calcul O.P.U.
des structures soumises au séisme
- Cours de Béton III M. BELAZOUGIS







15 cm

150

15

150

15

15

150

15

15

150

15

15

150

15

15

150

15

15

150

15

15

150

15

15

150

15

15

150

15

15

150

15

15

150

15

15

150

15

15

150

15

15

150

15

15

150

15

15

150

15

15

150

15

15

150

15

15

150

15

15

150

15

15

150

15

15

150

15

15

150

15

15

150

15

15

150

15

15

150

15

15

150

15

15

150

15

15

150

15

15

150

15

15

150

15

15

150

15

15

150

15

15

150

15

15

150

15

15

150

15

15

150

15

15

150

15

15

150

15

15

150

15

15

150

15

15

150

15

15

150

15

15

150

15

15

150

15

15

150

15

15

150

15

15

150

15

15

150

15

15

150

15

15

150

15

15

150

15

15

150

15

15

150

15

15

150

15

15

150

15

15

150

15

15

150

15

15

150

15

15

150

15

15

150

15

15

150

15

15

150

15

15

150

15

15

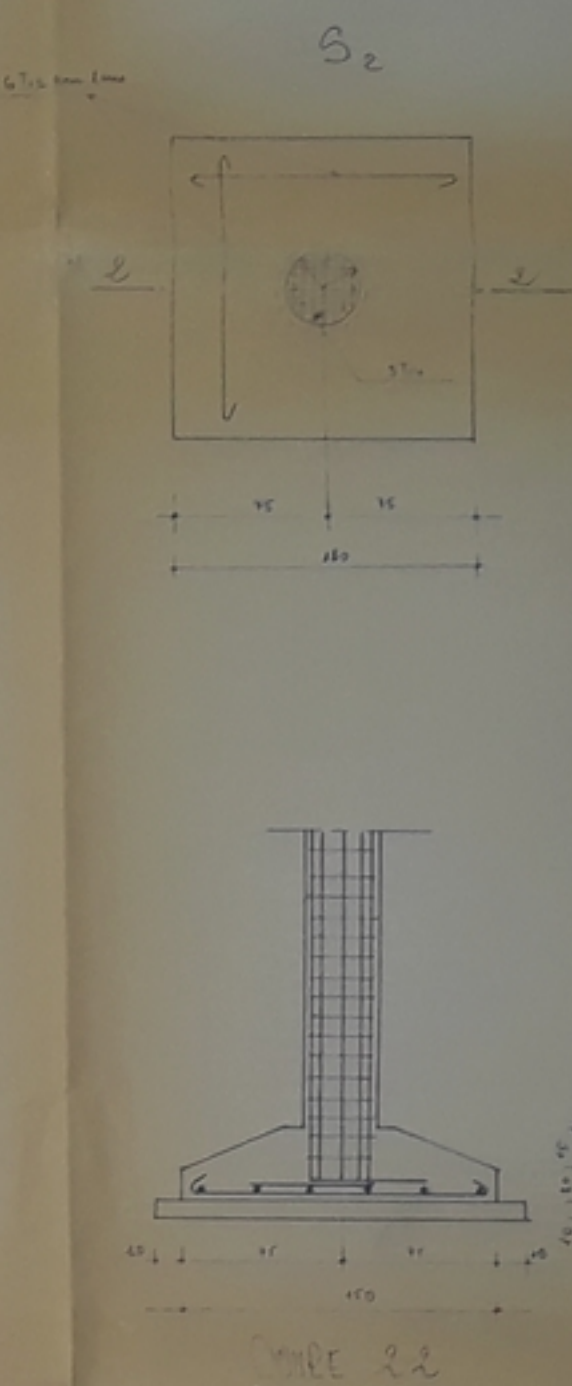
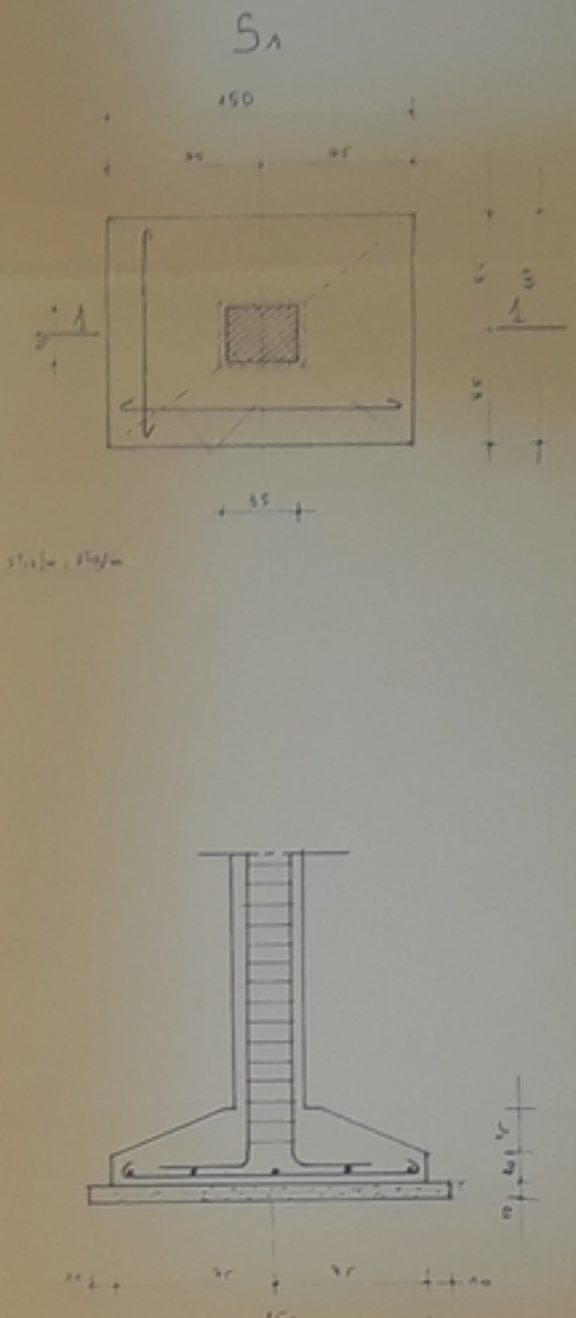
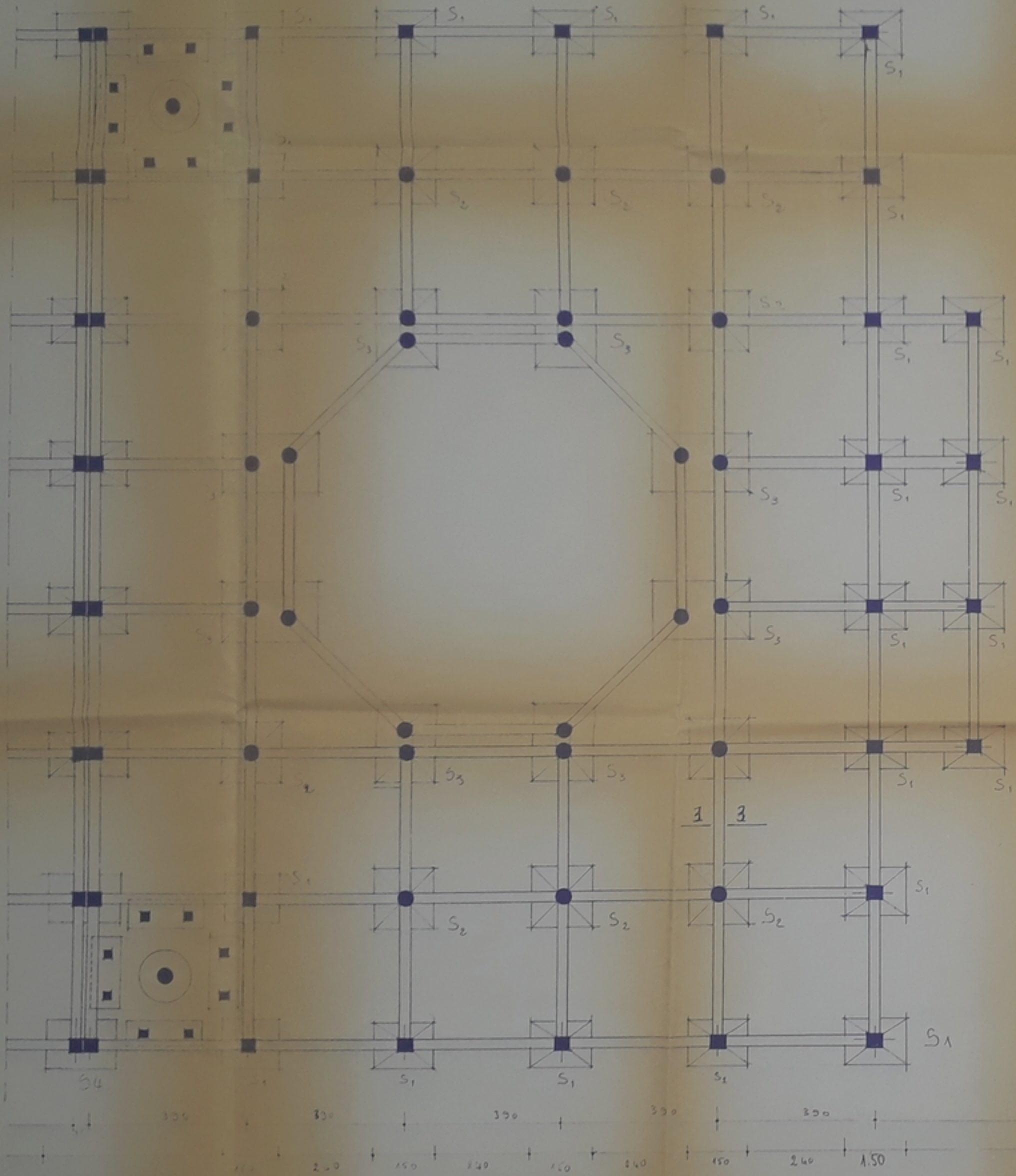
150

15

15

150

15



الجامعة المغربية الديمقراطية الشعبية

Ecole Nationale Polytechnique

Département Genie Civil

PROMOTION JUIN 87



PROJET DE FIN D'ÉTUDES

ETUDE D'UNE MOSQUEE

DESIGNATION	PROPOSÉ - SETAM	
FONDATIONS	Etudié Par	BENSALEM BENYAGOUS
Dirigé par M ^e GUIGOVA		
ECHELLE: 1/50 1/20		

